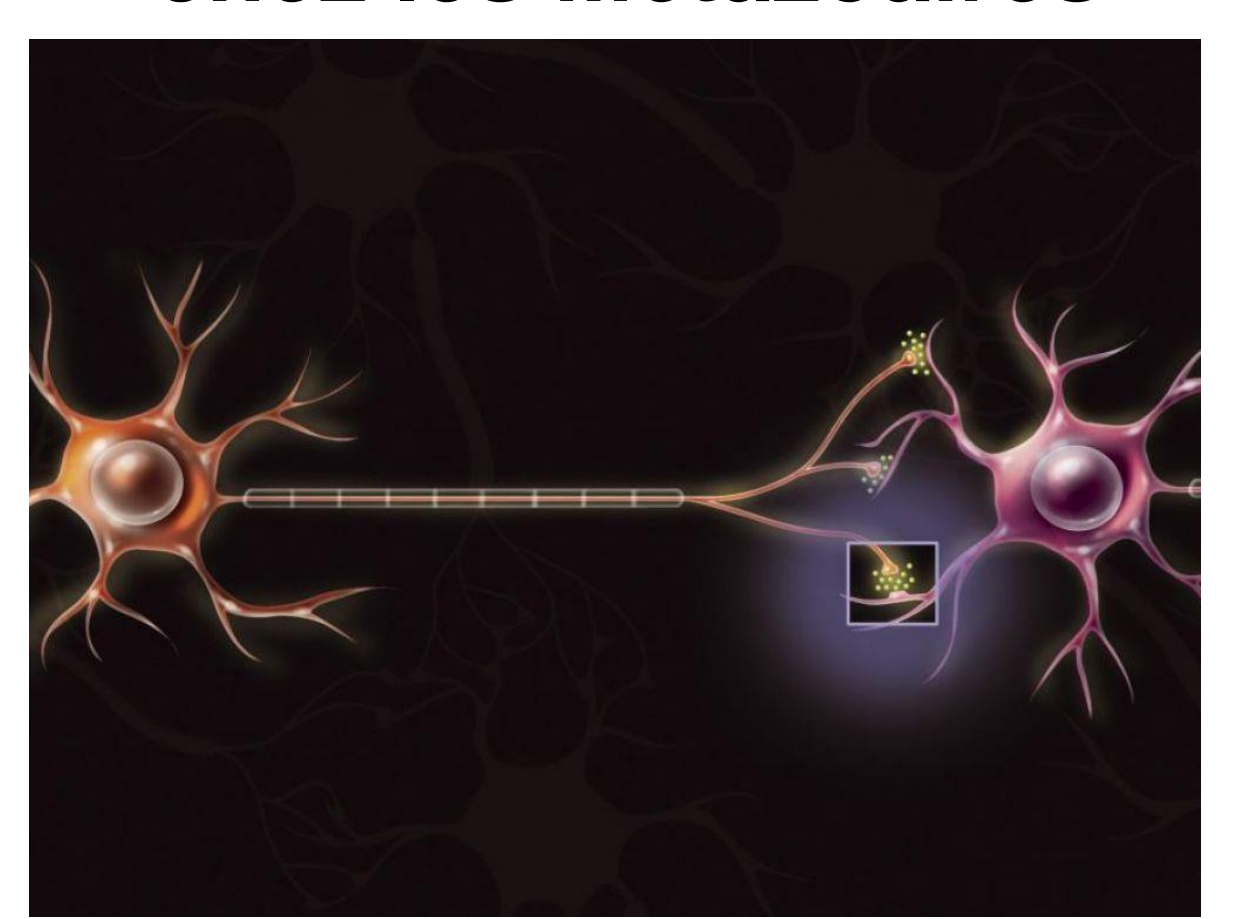
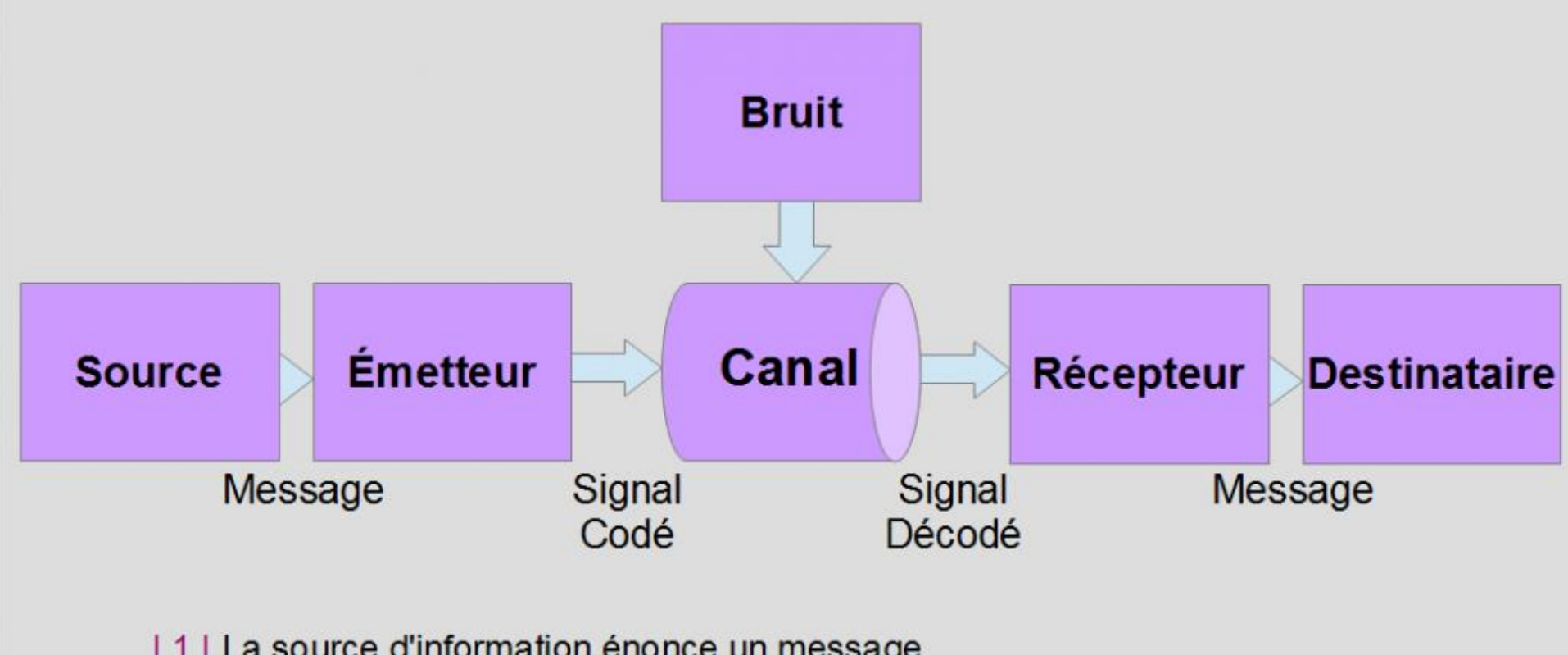
SV - I: Communication intercellulaires et intégration d'une fonction à l'organisme SV - I2:

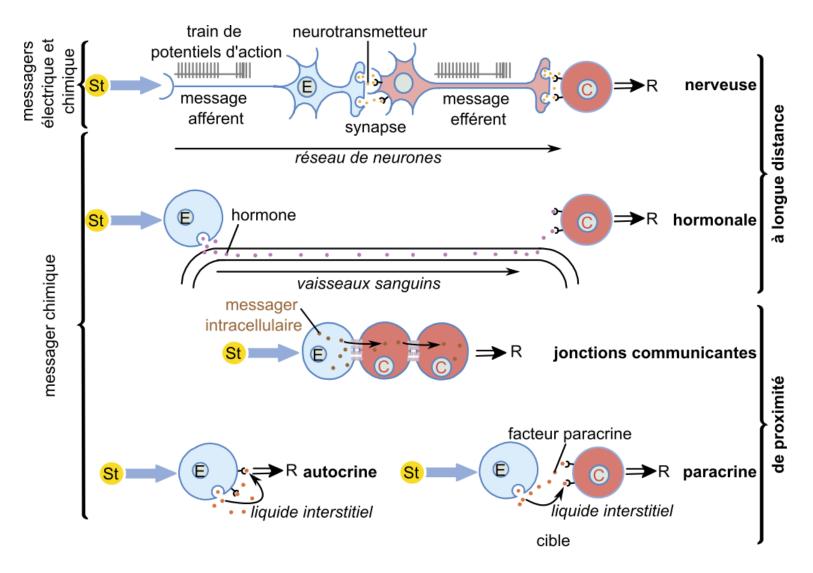
# Communications intercellulaires chez les Métazoaires



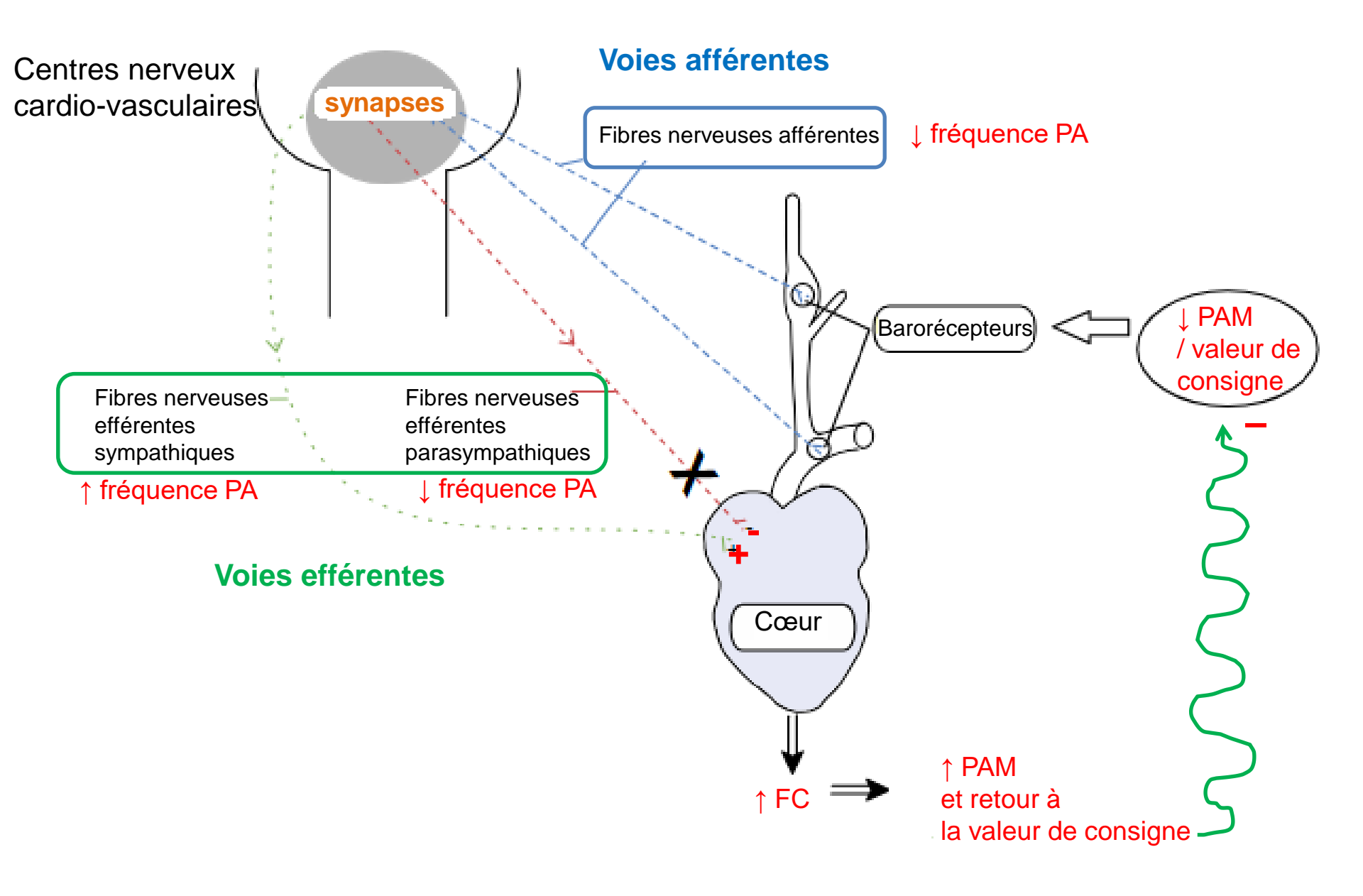
#### Théorie de la communication (Shannon et Weaver, 1949)



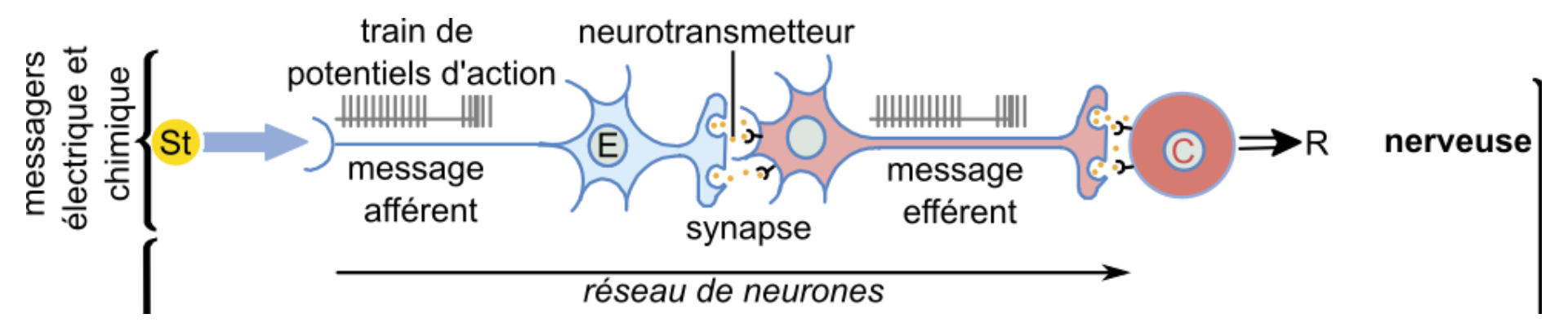
- 1 | La source d'information énonce un message...
- 2 ... que l'émetteur va coder et transformer en signal,
- | 3 | lequel va être acheminé par le canal qui peut être bruité,
- 4 puis décodé par le récepteur, qui reconstitue à partir du signal un message,
- | 5 | et le transmet au destinataire.

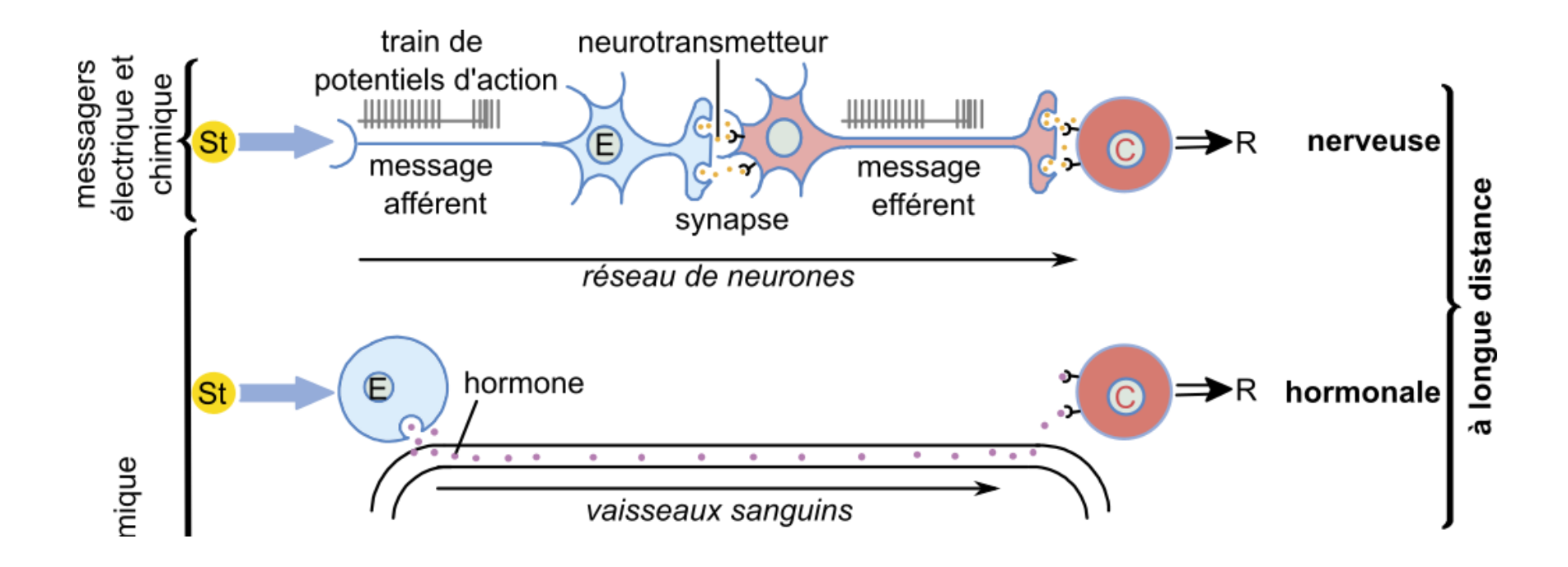


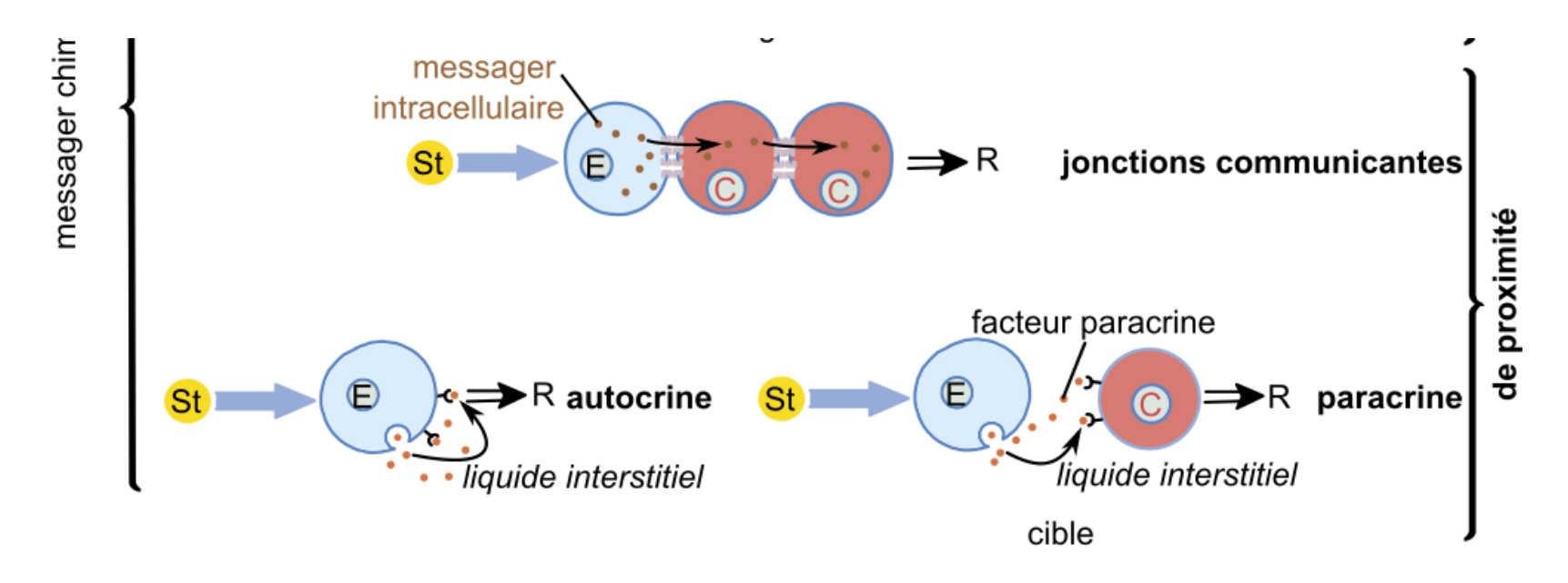
St : stimulus ; E : émetteur ; C : cible ; R : réponse



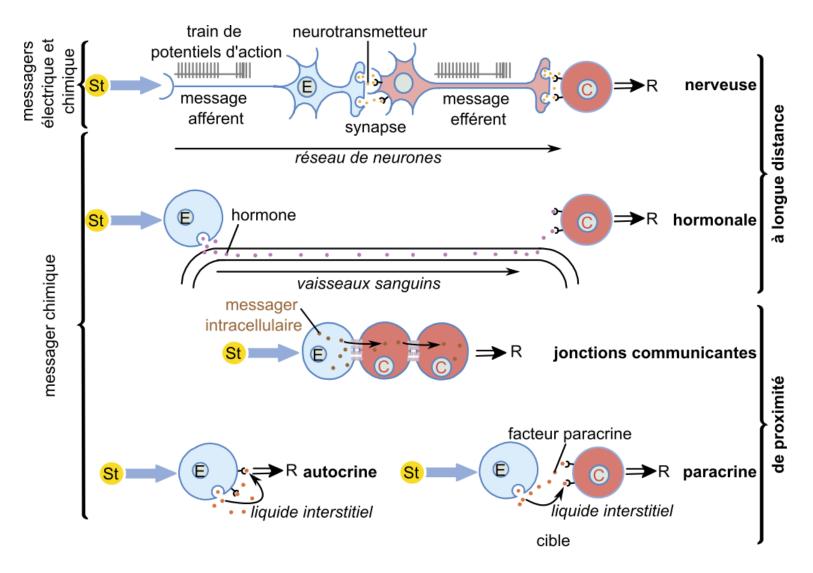
#### Le baroréflexe en réponse à une hypotension





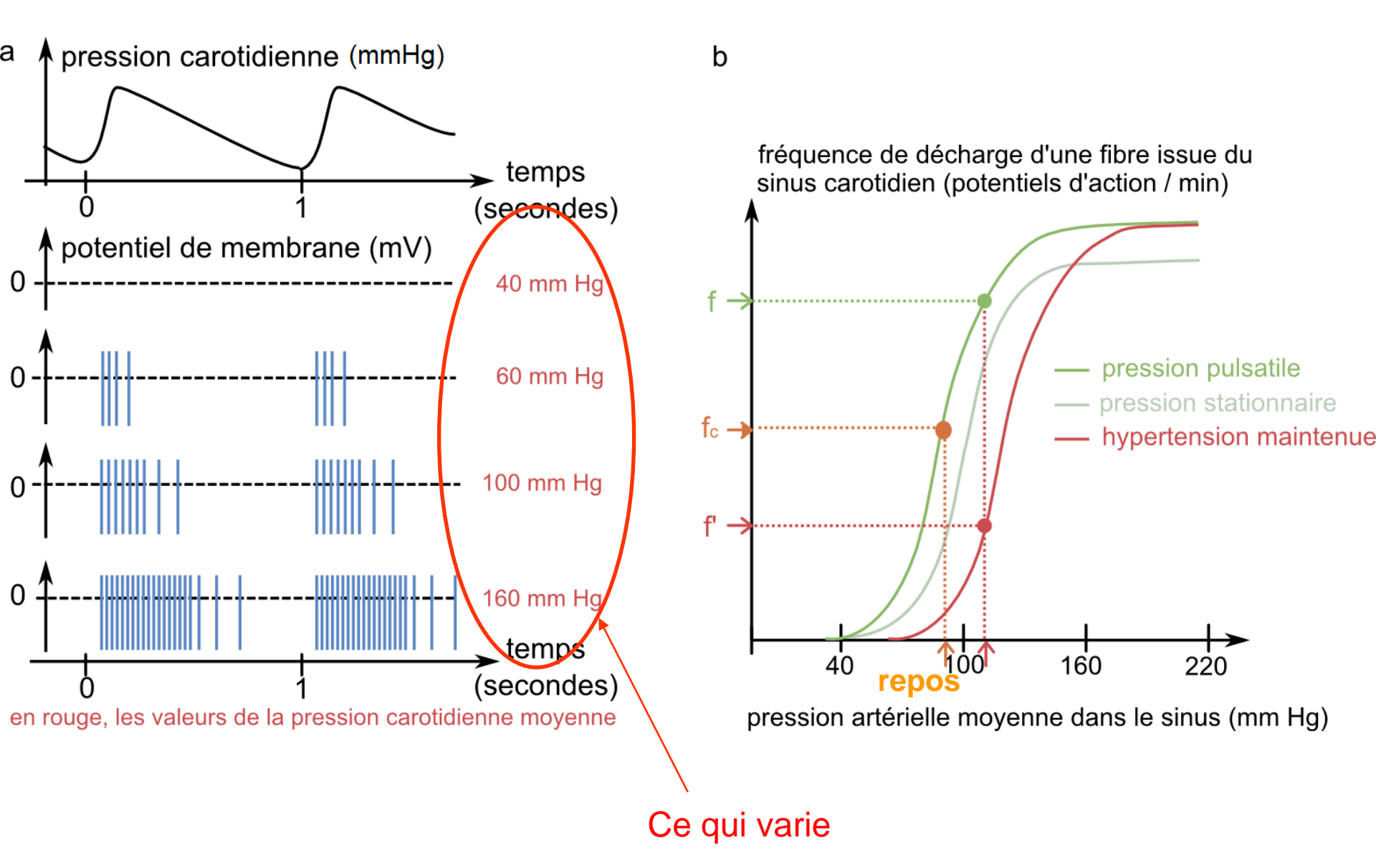


St : stimulus ; E : émetteur ; C : cible ; R : réponse



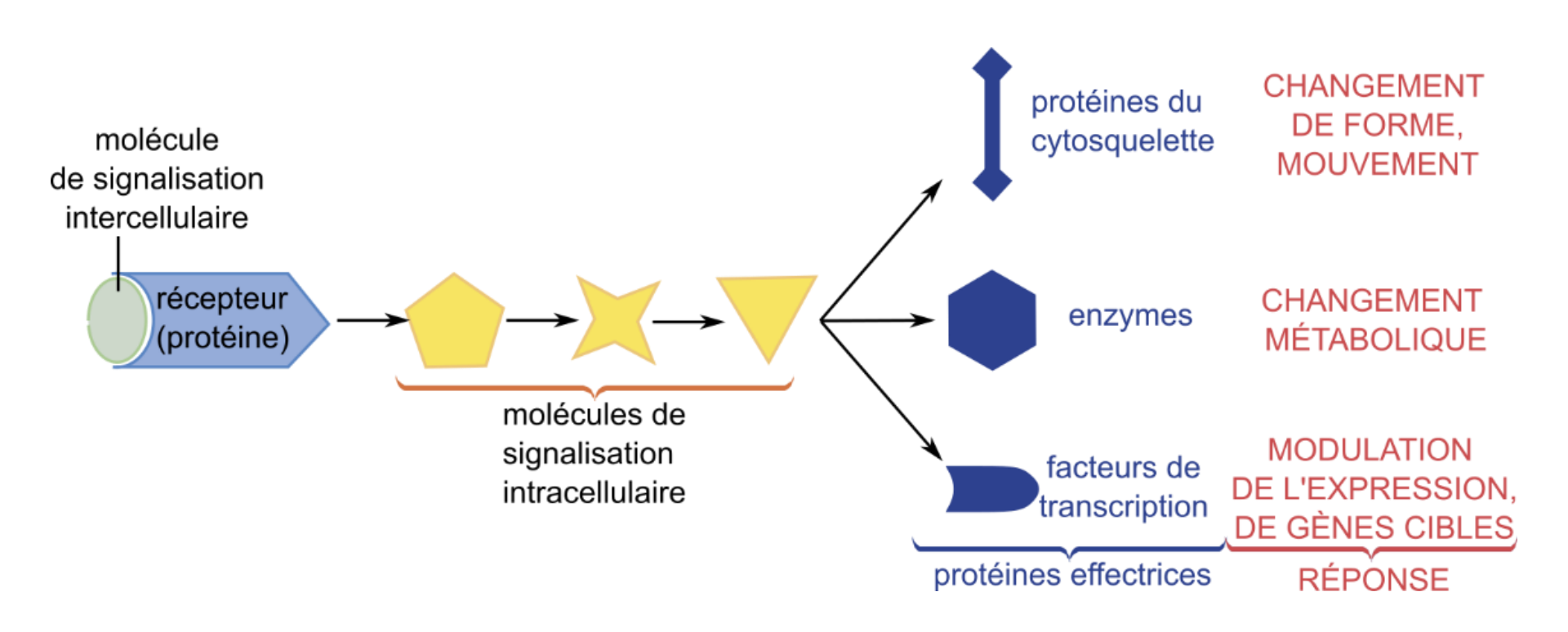
St : stimulus ; E : émetteur ; C : cible ; R : réponse

### Document 32. Activité des barorécepteurs en fonction de la pression artérielle moyenne à leur niveau.

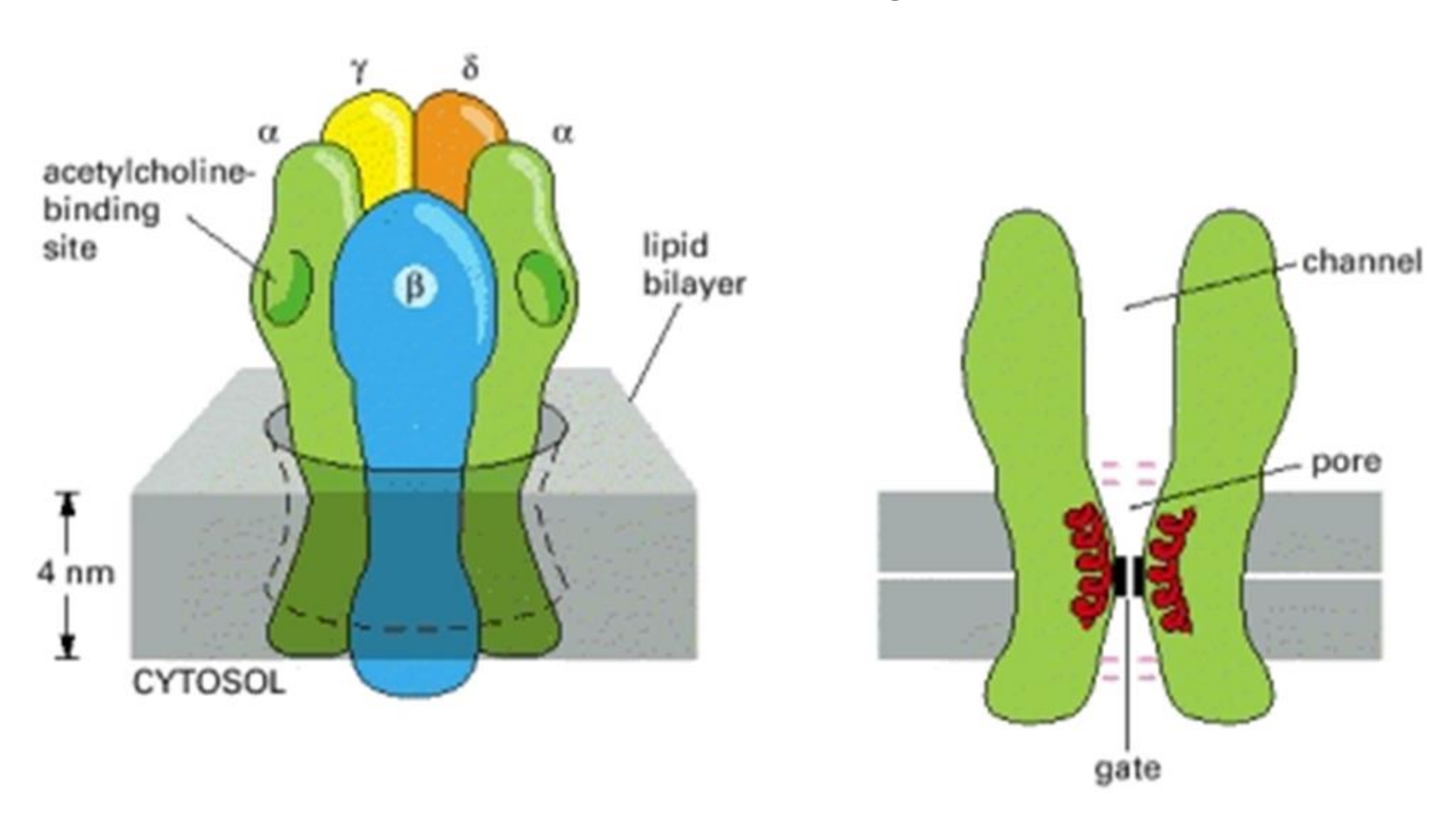


Peycru et coll. Biologie BCPST2 Dunod 2018

#### Document 2. Les étapes de la transduction.

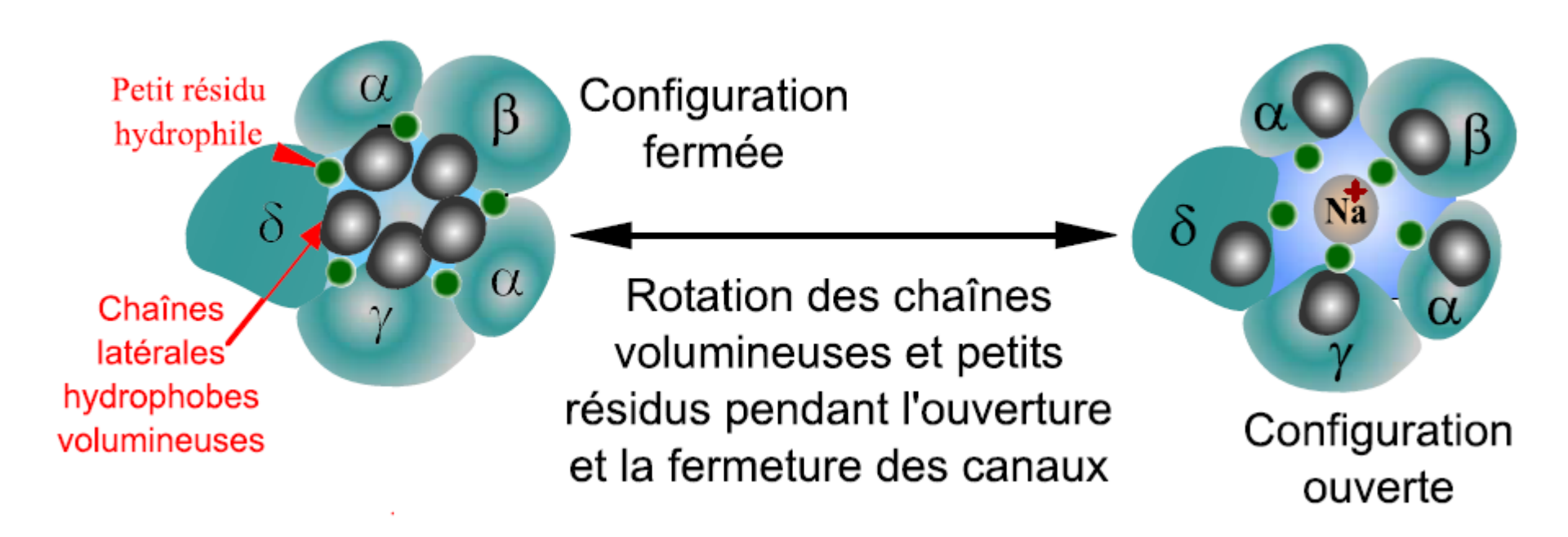


# Modèle structural du récepteur nicotinique de l'acétylcholine



Molecular Biology of the Cell. 4th edition. Alberts B, Johnson A, Lewis J, et al. New York: Garland Science; 2002

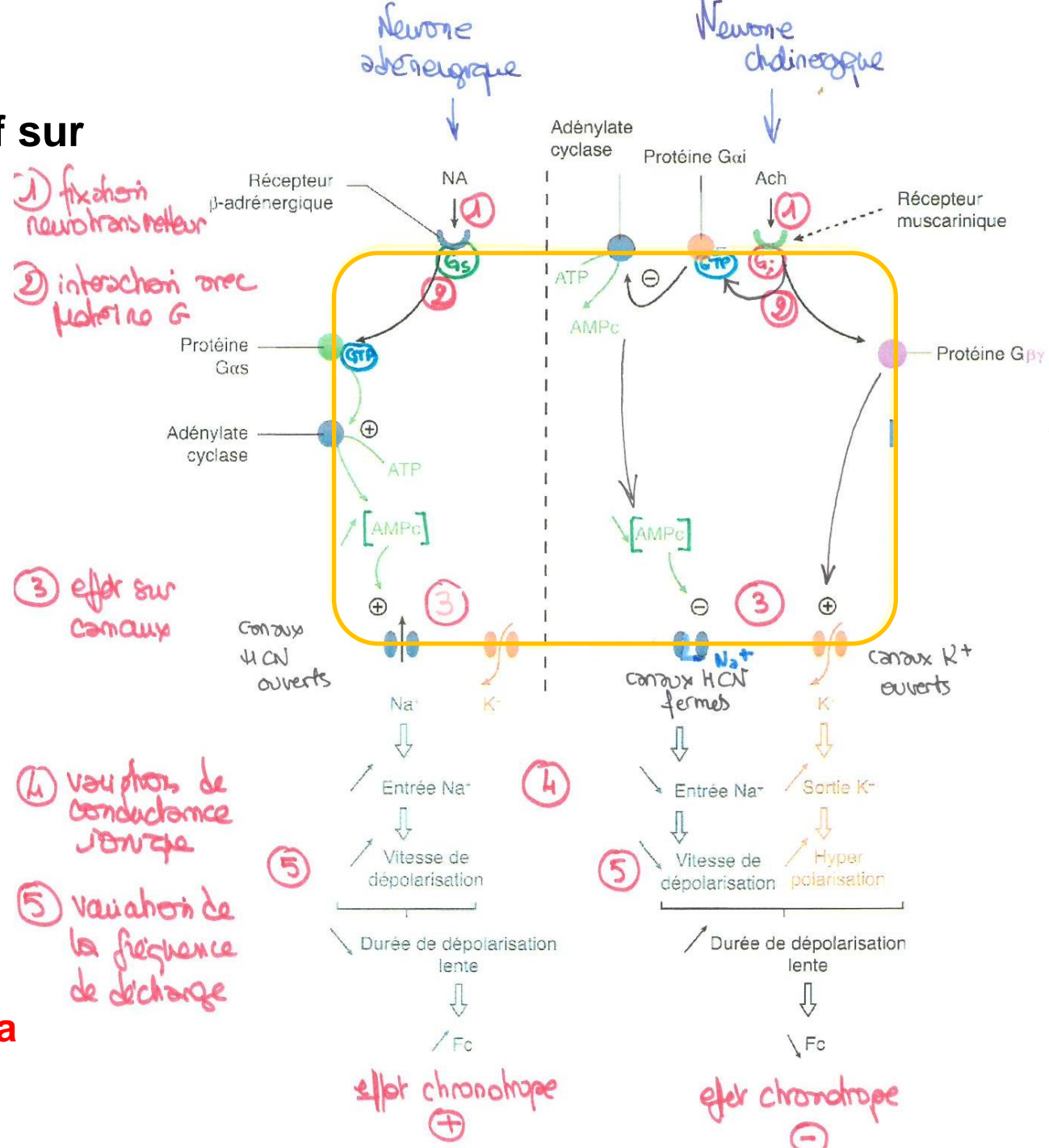
# Mécanisme d'ouverture – fermeture du récepteur nicotinique de l'acétylcholine.



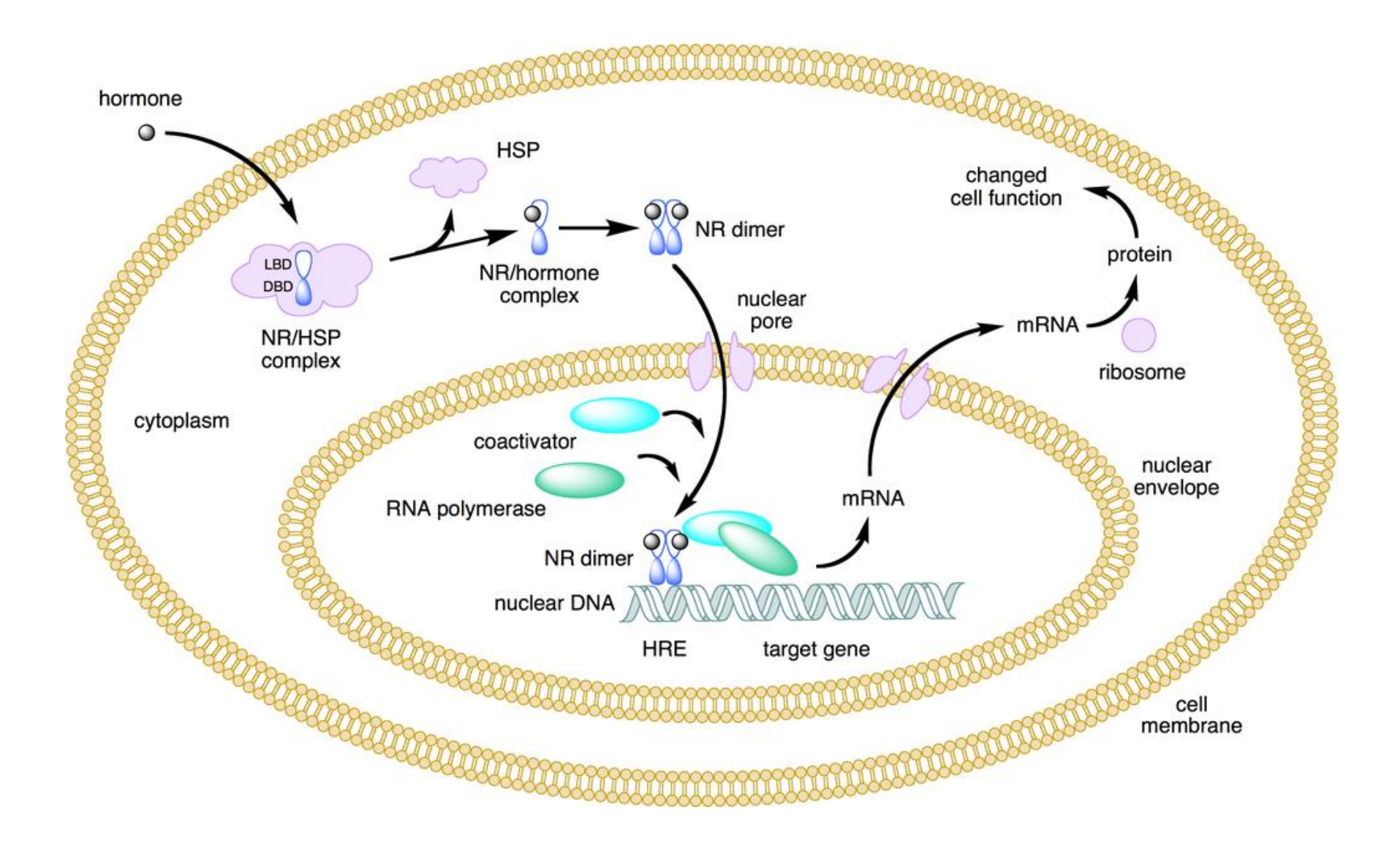
A l'état fermé, les résidus hydrophobes volumineux obstruent le pore. La transition vers l'état ouvert s'explique par une rotation des hélices bordant le pore et un déplacement des gros résidus hydrophobes vers l'extérieur du canal. Mode d'action des neurotransmetteurs du système neurovégétatif sur les cellules nodales



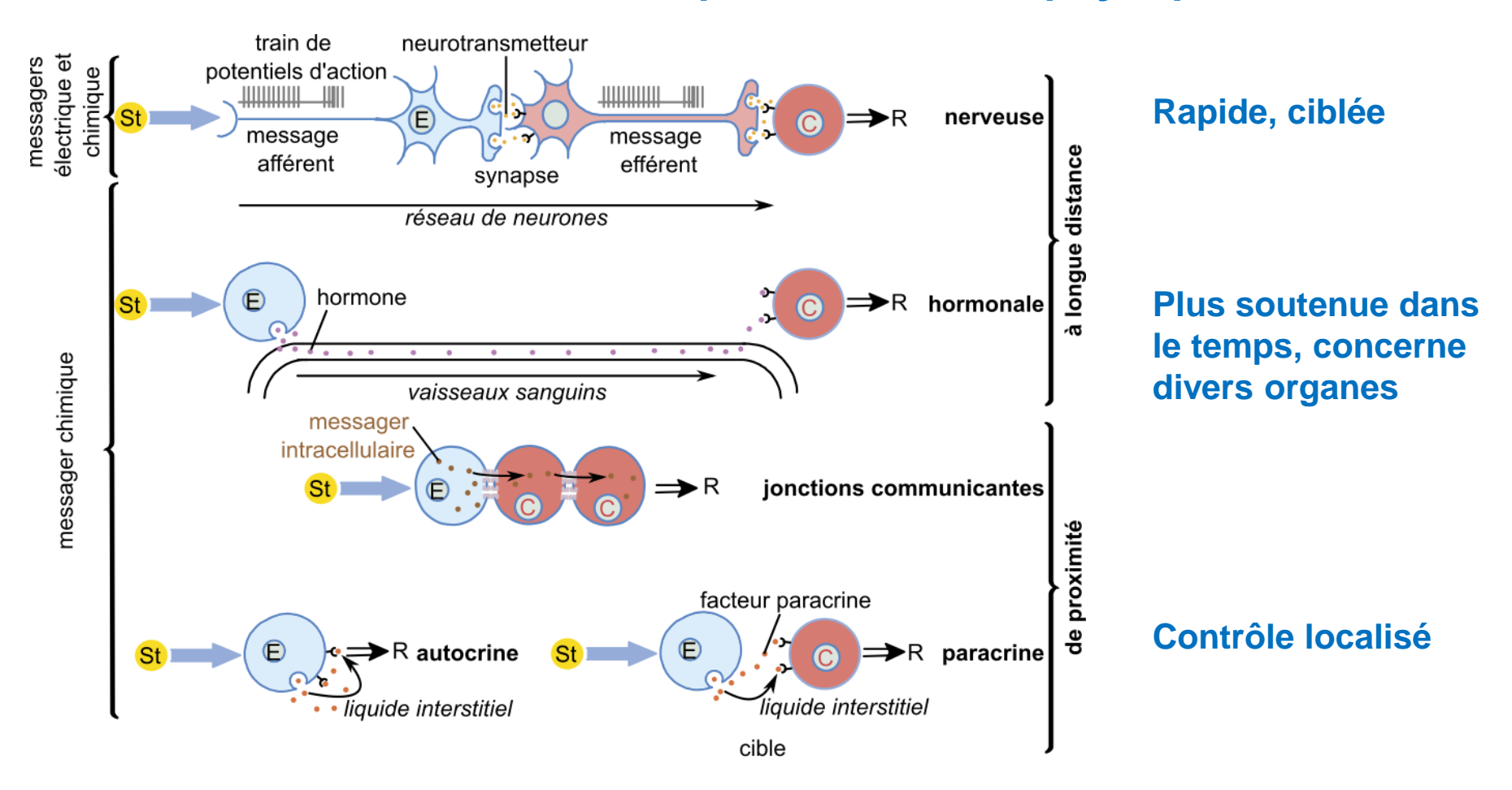
- Récepteurs β1adrénergiques
- Récepteurs muscariniques à Ach
- Récepteurs α et β2adrénergiques des myocytes lisses de la média des vaisseaux sanguins



### Voie de transduction avec récepteur intracellulaire, cas des hormones stéroïdiennes



Des modalités de communications intercellulaires complémentaires en interaction : exemple de l'exercice physique



St : stimulus ; E : émetteur ; C : cible ; R : réponse

#### Un bon matériel d'étude : l'axone géant de Calmar

Andrew Fielding Huxley (1917) Alan Hodgkin (1914 - 1998)

Nobel 1963

Expériences sur les neurones géants de calmar à la fin des années 30 et dans les années 40.

Ø 0,5 mm

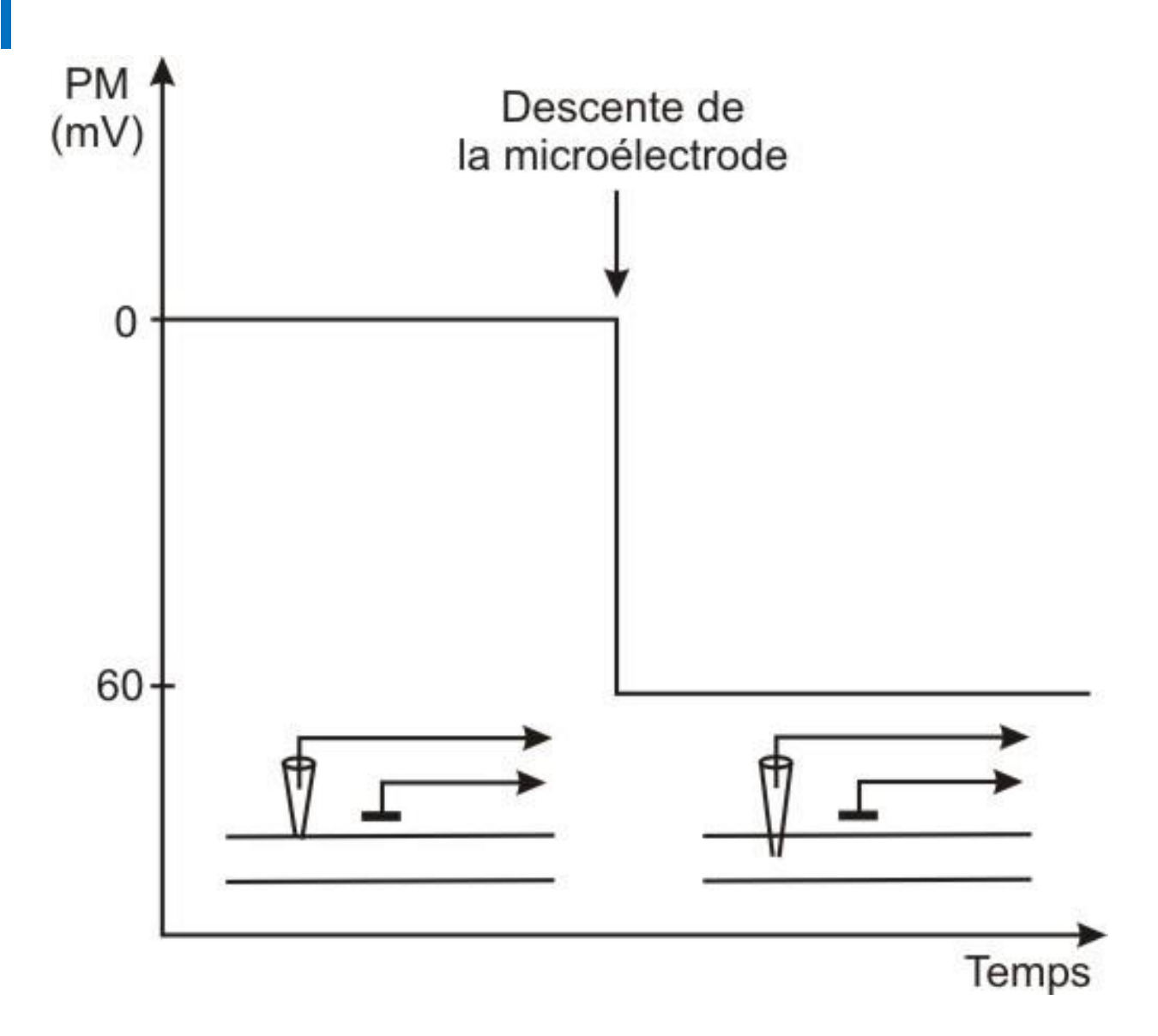


Ganglion contenant les corps cellulaires



Modalités d'enregistrement du potentiel de repos dans une fibre nerveuse

Rappel



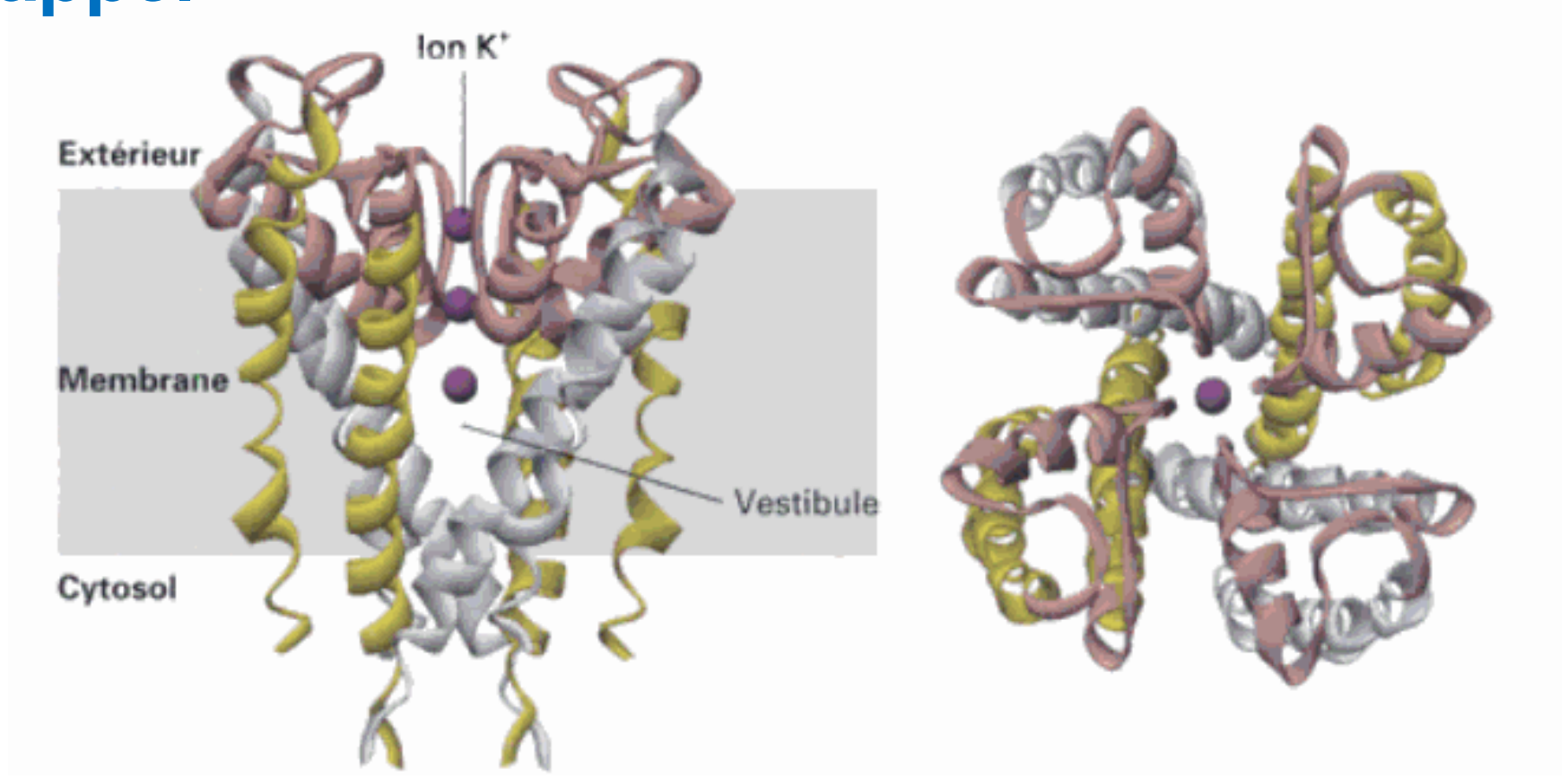
# Concentrations extracellulaire et intracellulaire des principaux ions minéraux Pour l'axone de Calmar

Rappel

ion	Concentration intracellulaire (mM/L)	Concentration extracellulaire (mM/L)
Na+	50	440
CI-	50	560
K+	400	20

#### Canaux de fuite à K+

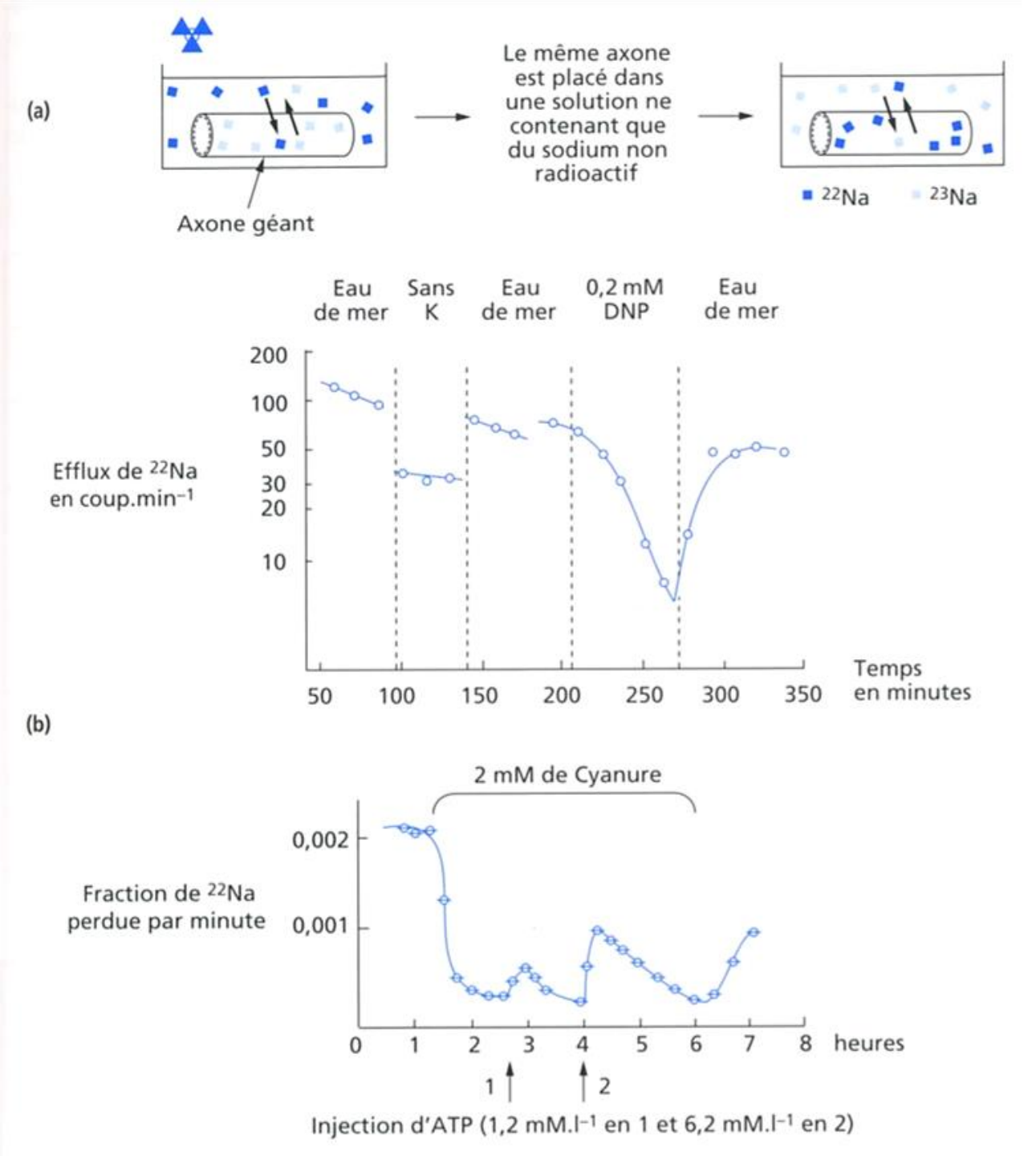
Rappel



Structure d'un canal de fuite à K<sup>+</sup> provenant de la bactérie *Streptomyces lividans*.

Tous ces canaux sont des tétramères à 4 sous-unités identiques. Leur forme en entonnoir contribue à leur sélectivité.

Lodish et coll., « Biologie moléculaire de la cellule », De Boeck, 3e éd.



#### Rappel

Mise en évidence expérimentale du transport actif du sodium et du potassium. a.Protocole expérimental, **b**.Résultats expérimentaux : efflux du sodium dans différentes conditions expérimentales. (PEYCRU P. et coll., "Biologie 1ère année BCPST, Dunod Ed., 2007).

# Organisation fonctionnelle de la pompe Na+/K+

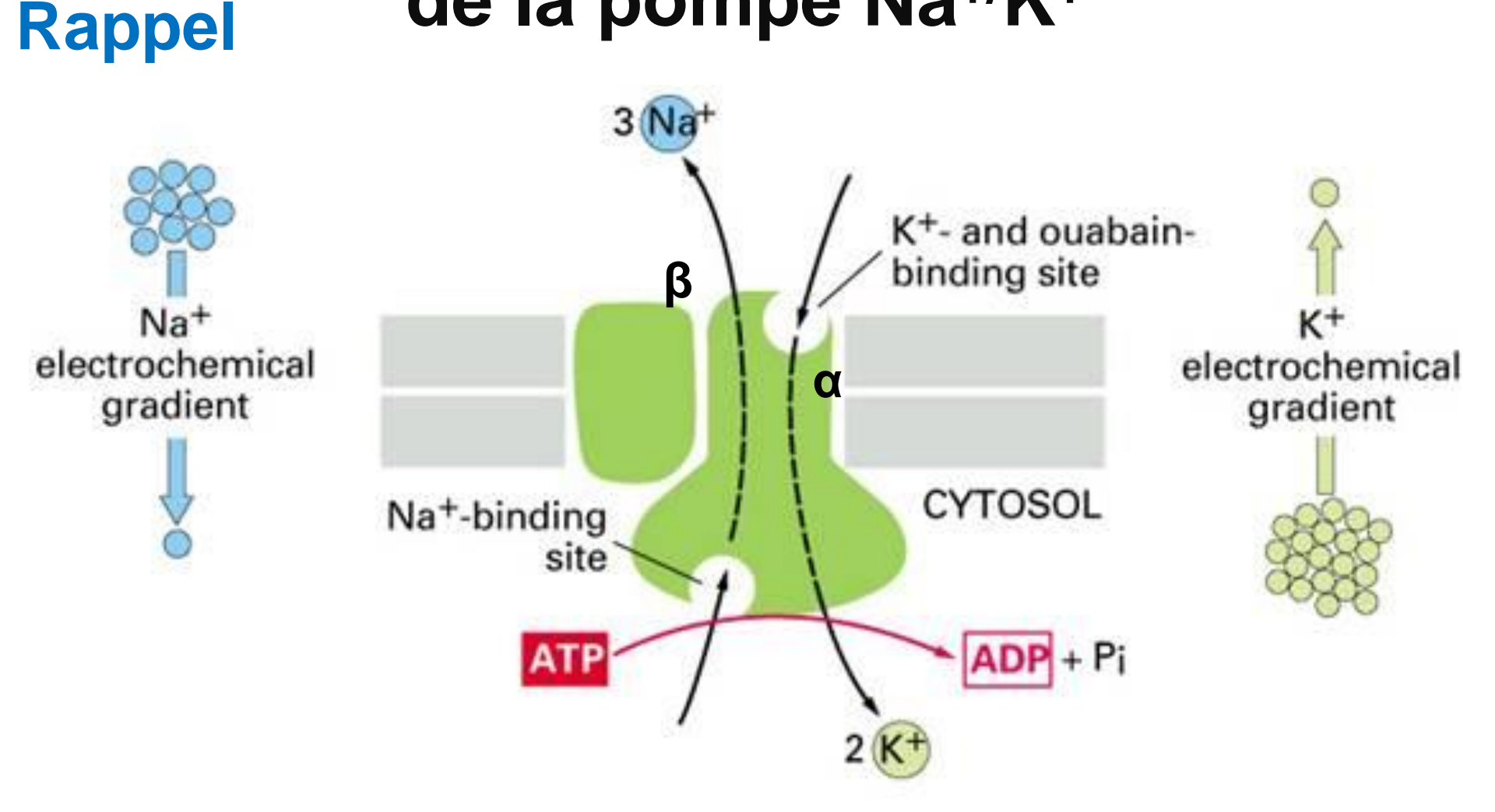
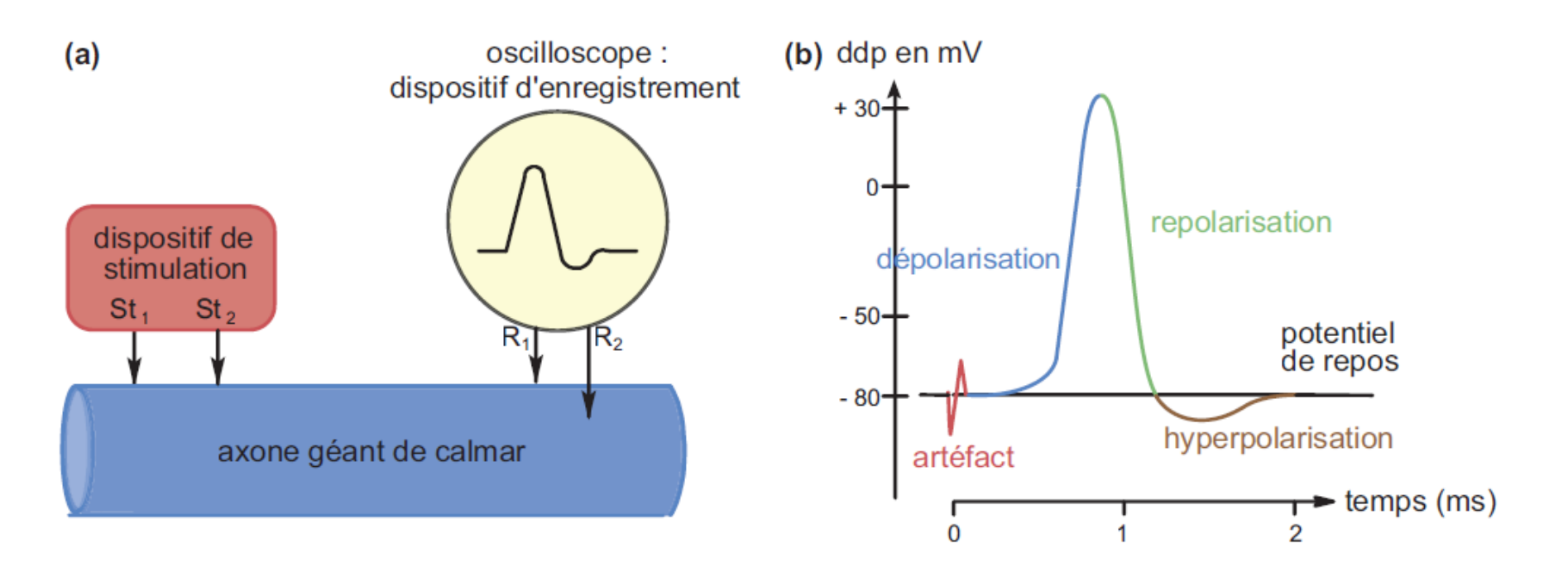
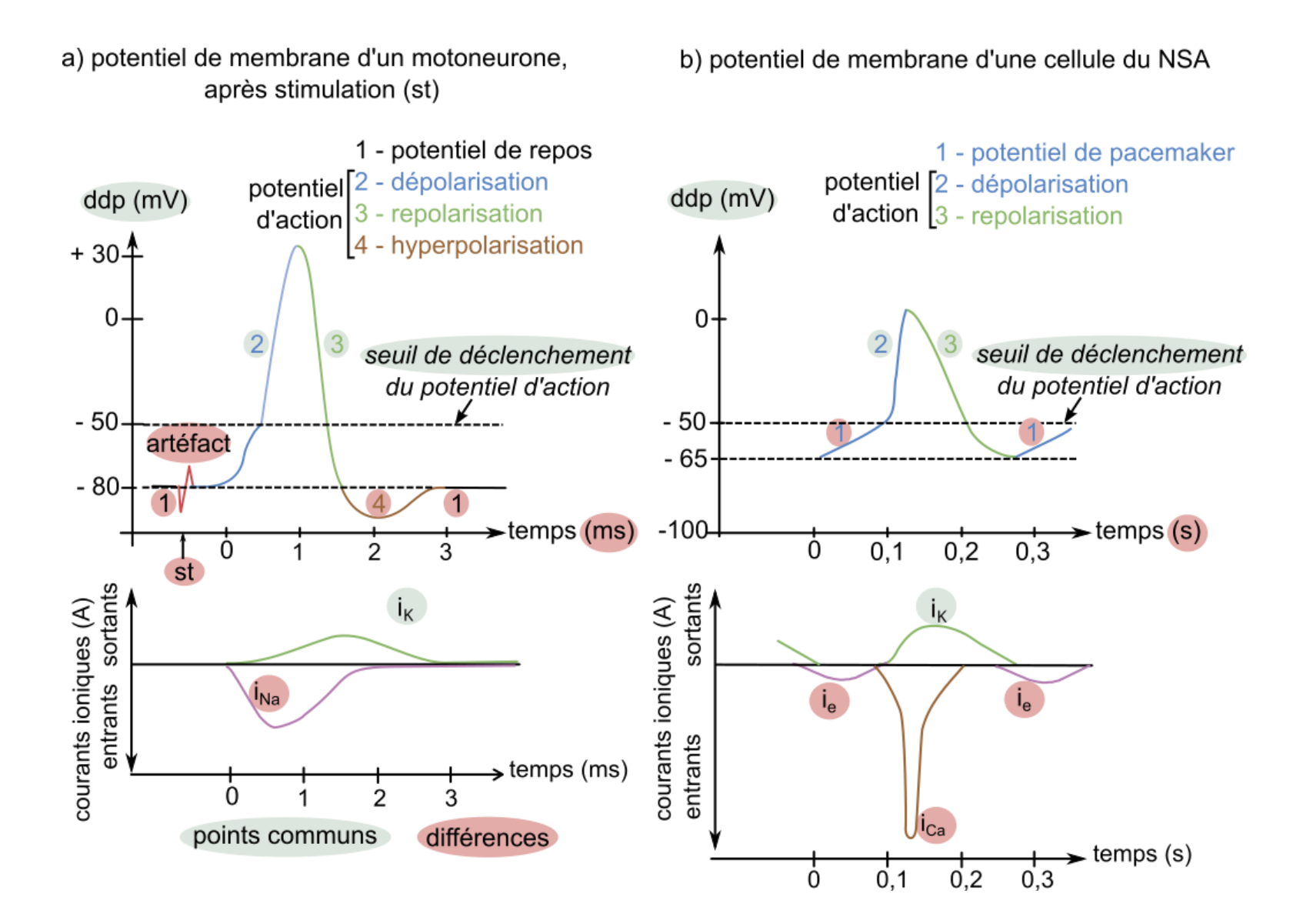


Figure 11–13. Molecular Biology of the Cell, 4th Edition.

## **Document 3. Les caractéristiques du potentiel d'action neuronal.**

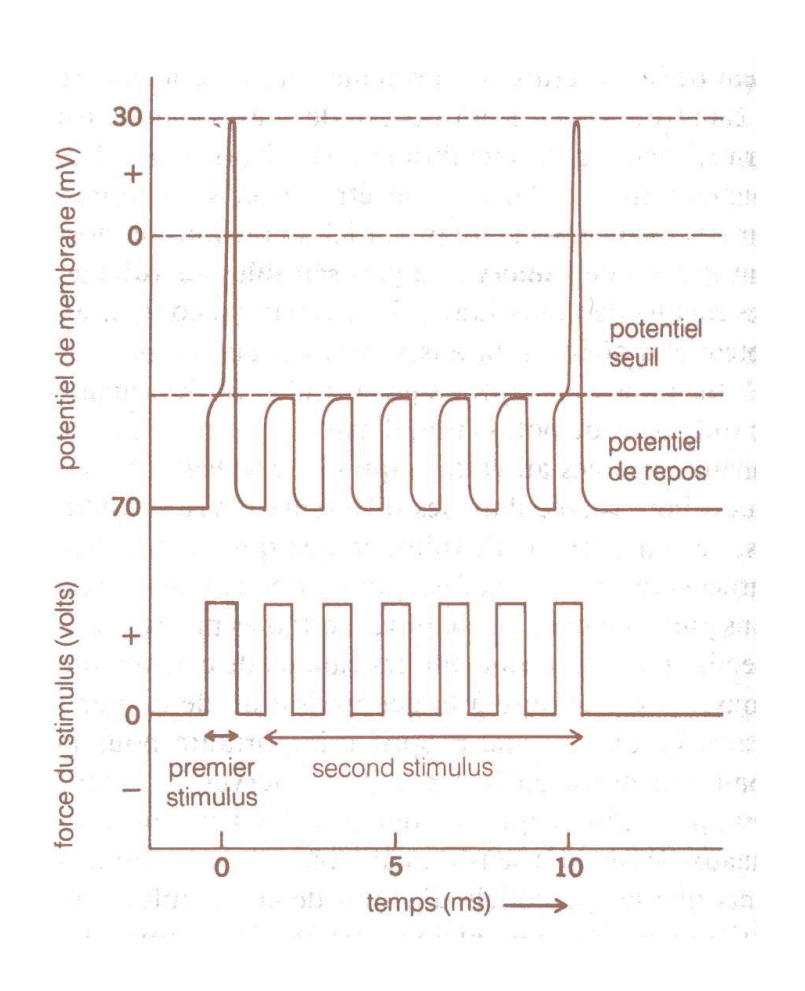


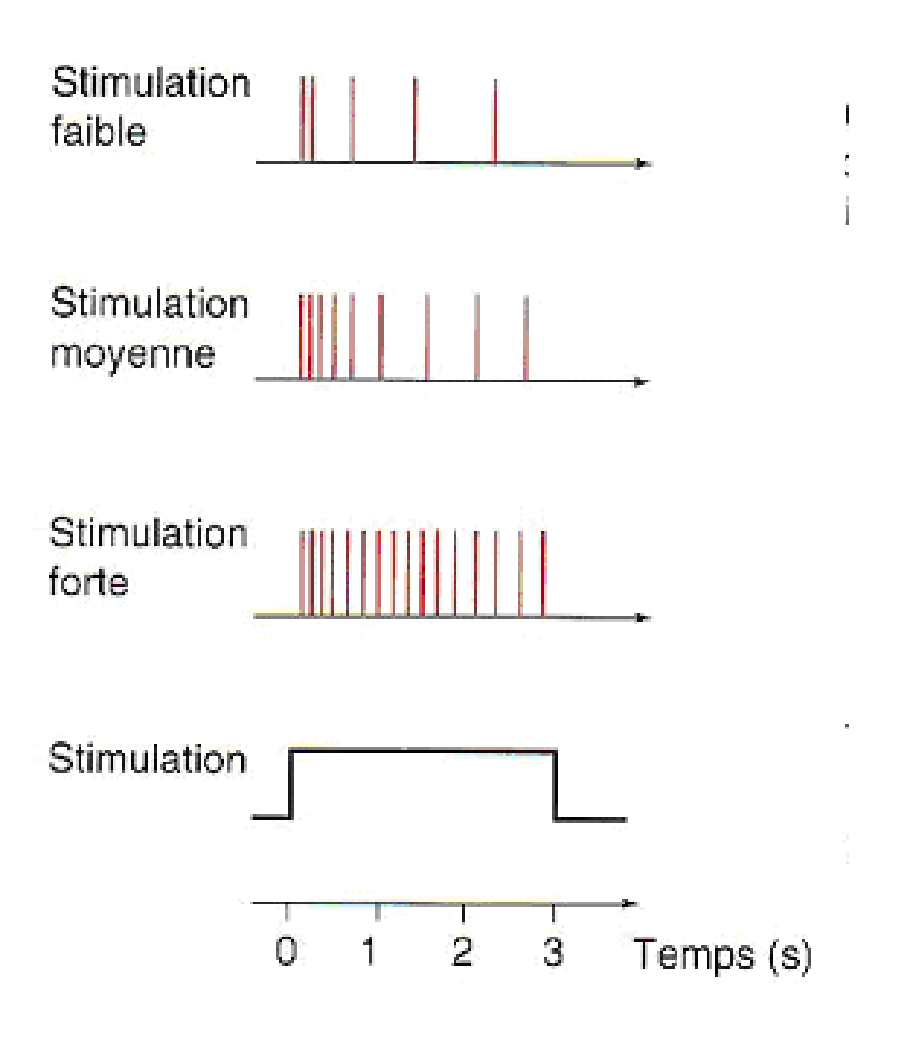
### Document 4. Comparaison des potentiels d'un motoneurone et d'une cellule du nœud sino-auriculaire.



Perrier et al. Biologie - Géologie BCPST2, Dunod, 2022

#### Les caractéristiques du potentiel d'action



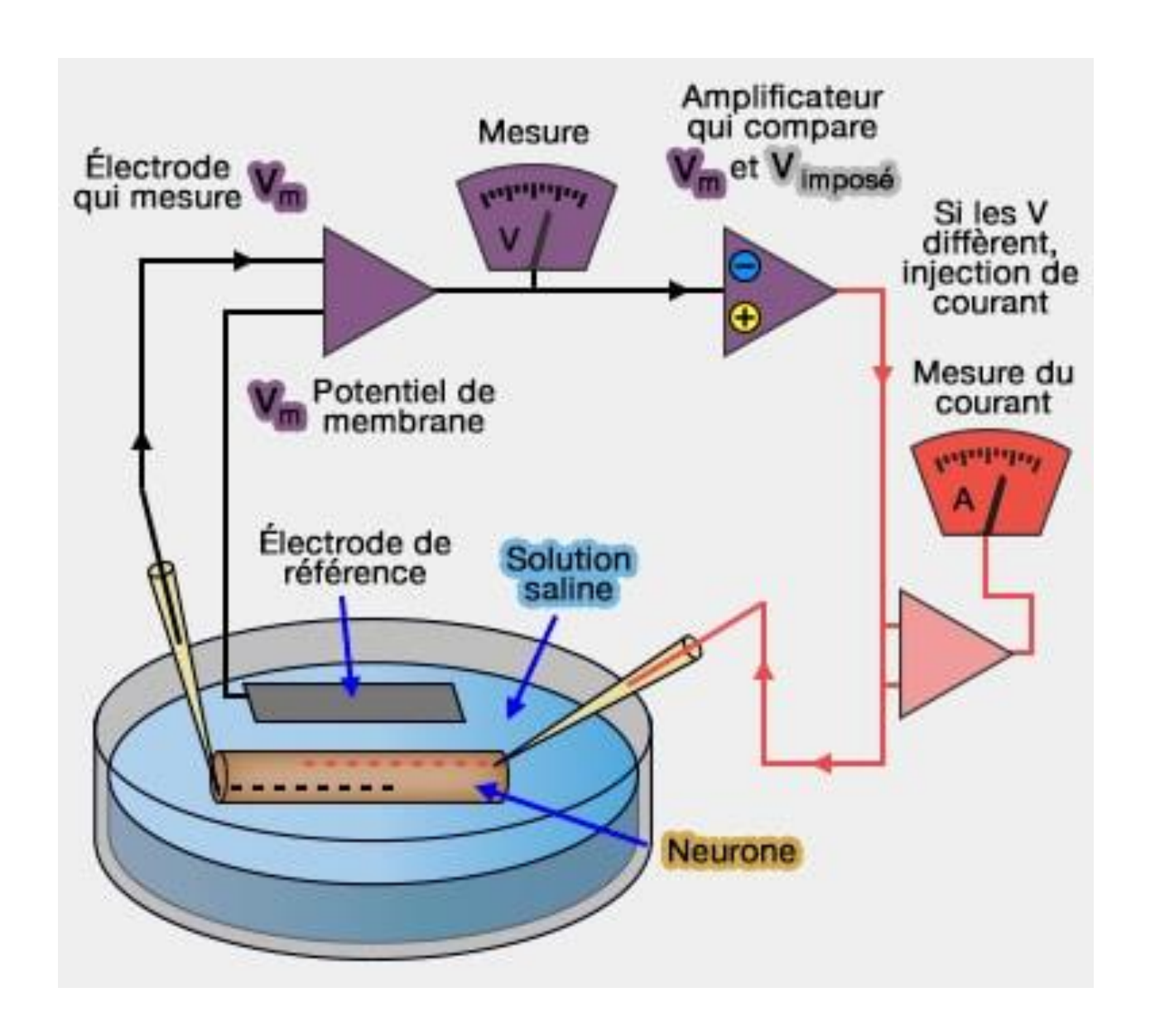


Mise en évidence d'une période réfractaire et loi du tout ou rien.

Fréquence des potentiels d'action en fonction de l'intensité de la stimulation.

(Vander, « Physiologie humaine », Mac GrawHill).

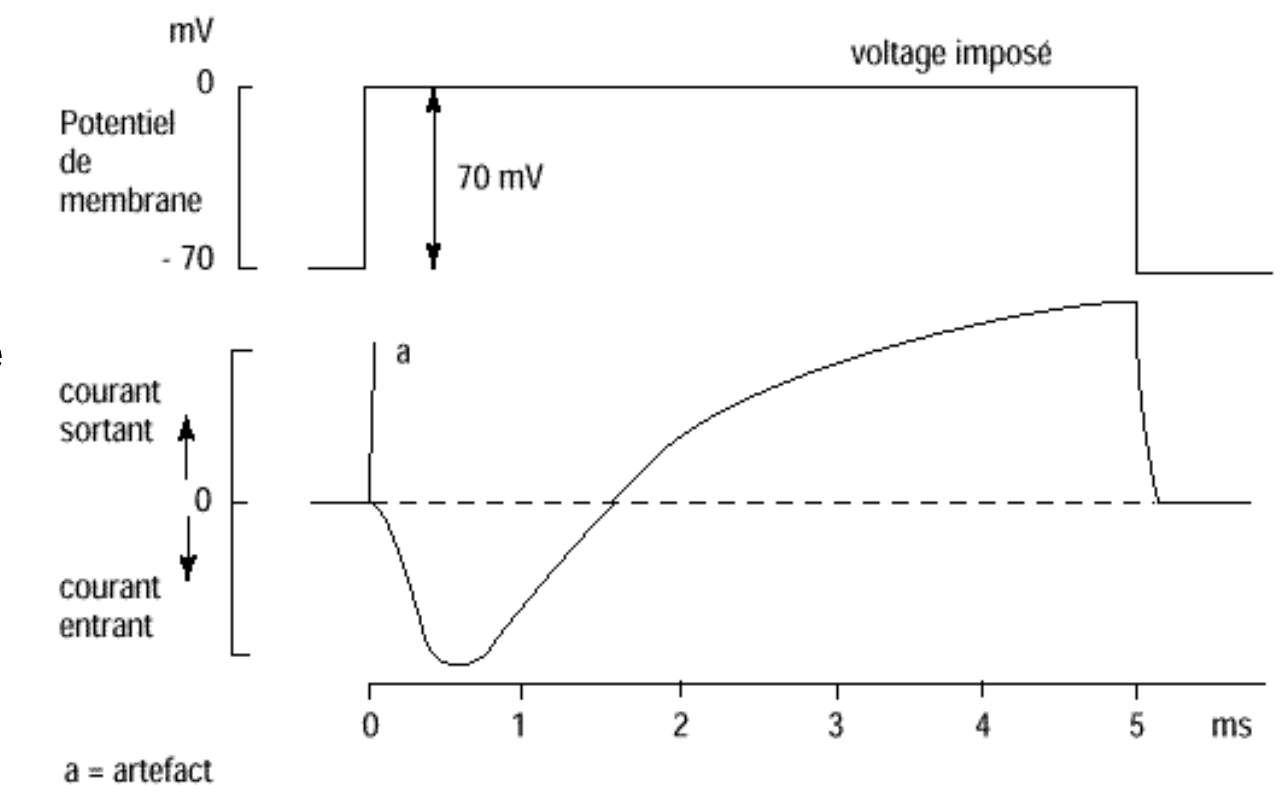
#### Document 5. Technique du voltage imposé.

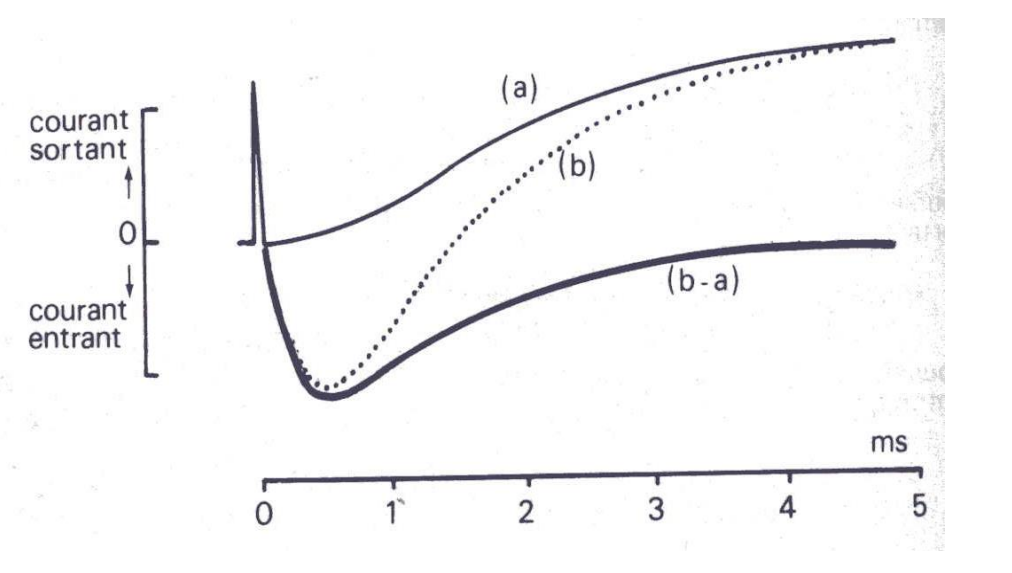


#### **Document 6.**

# Enregistrements en voltage imposé sur un axone.

Le potentiel imposé est de 0 mV.



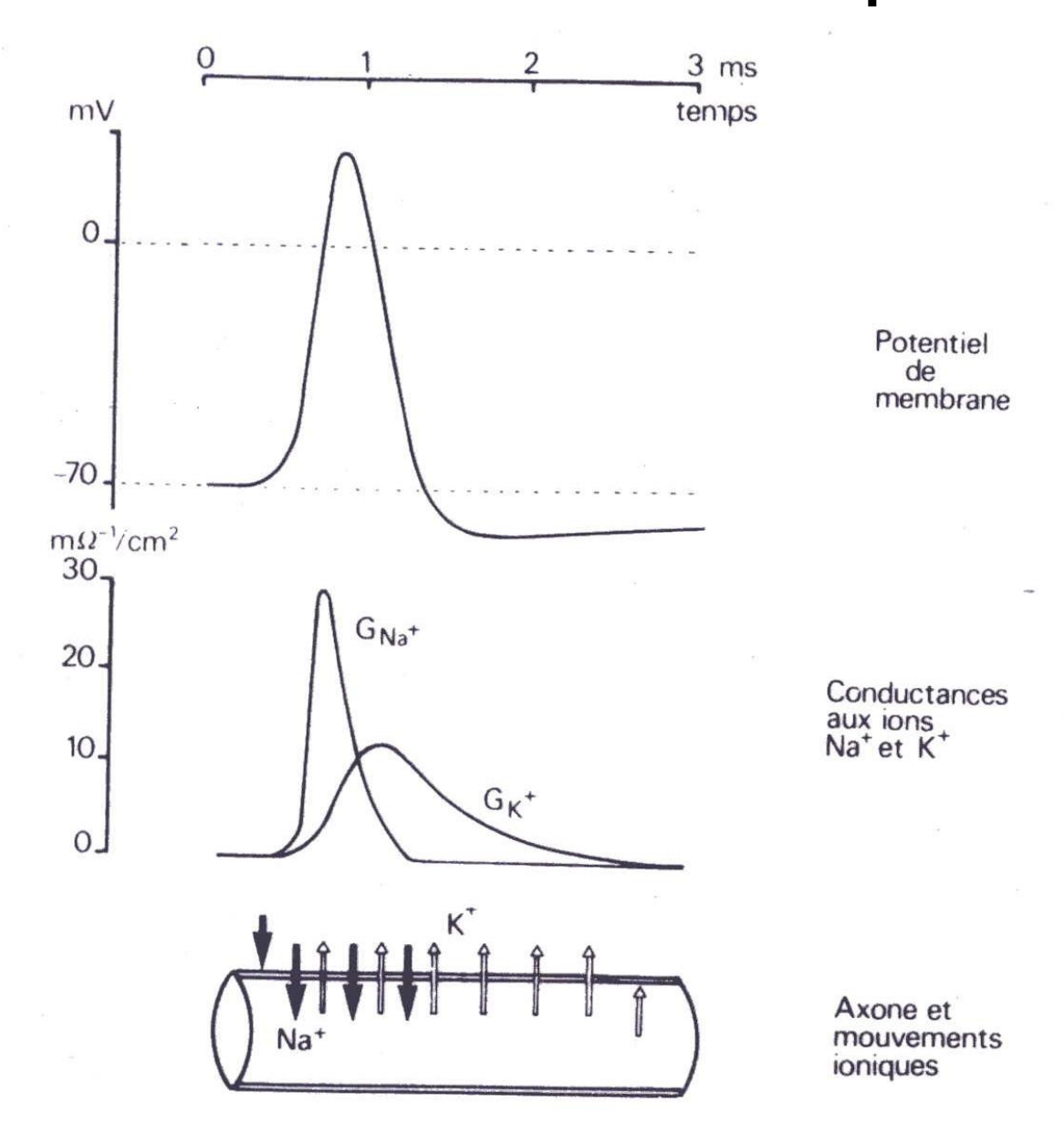


#### Résultats obtenus :

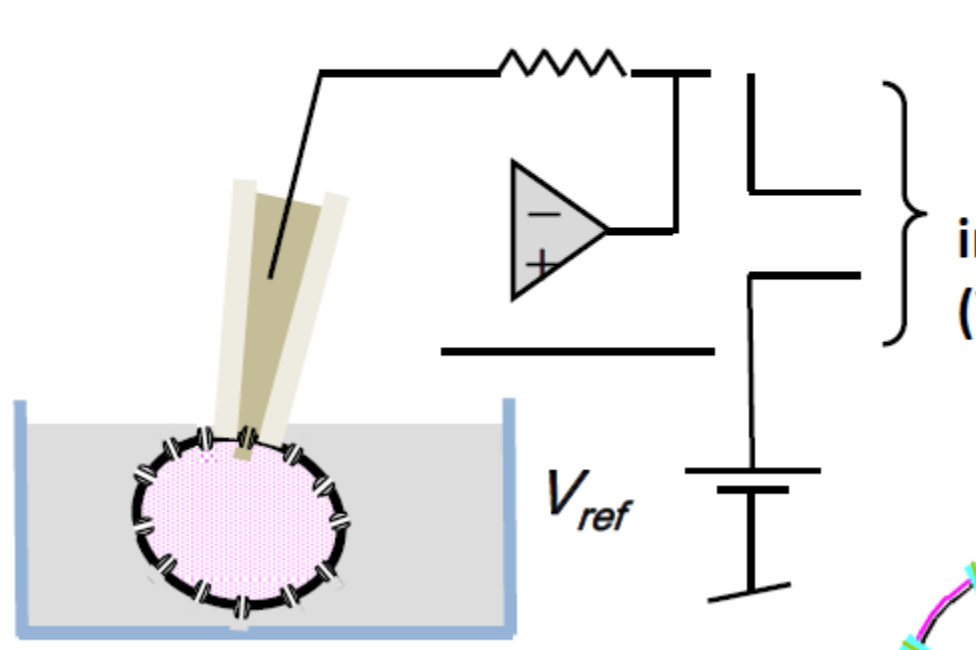
- (a) En absence de Na+
- (b) Situation normale
- (b-a) Courbe calculée à partir des deux précédentes, elle représente la variation liée au seul flux de Na+

Rieutord, « Physiologie animale t1 », Masson

### <u>Document 7.</u> Modifications du potentiel de membrane d'un axone et des conductances au sodium et au potassium.



#### Le patch-clamp, une technique d'étude des canaux ioniques



http://abiens.snv.jussieu.fr/AHA/docs/LV207/Patch-clamp%201213.pdf

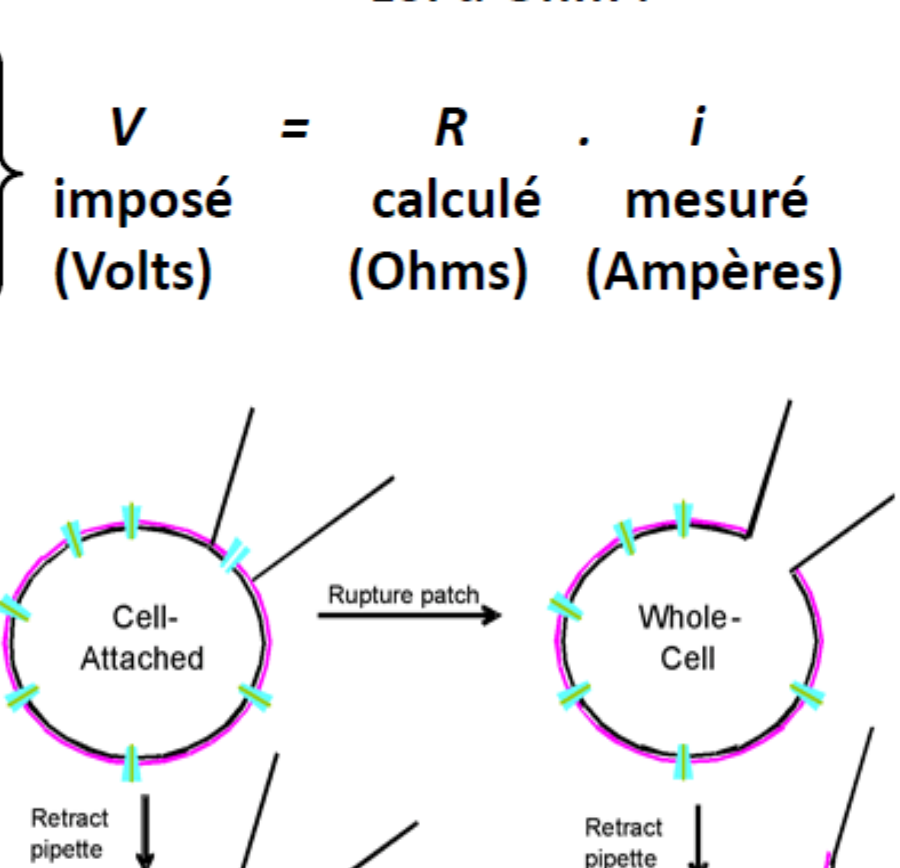
### Différentes configurations possibles

www2.massgeneral.org

Inside-out

Excised

Patch



Outside-out

Excised

Patch

Loi d'Ohm:

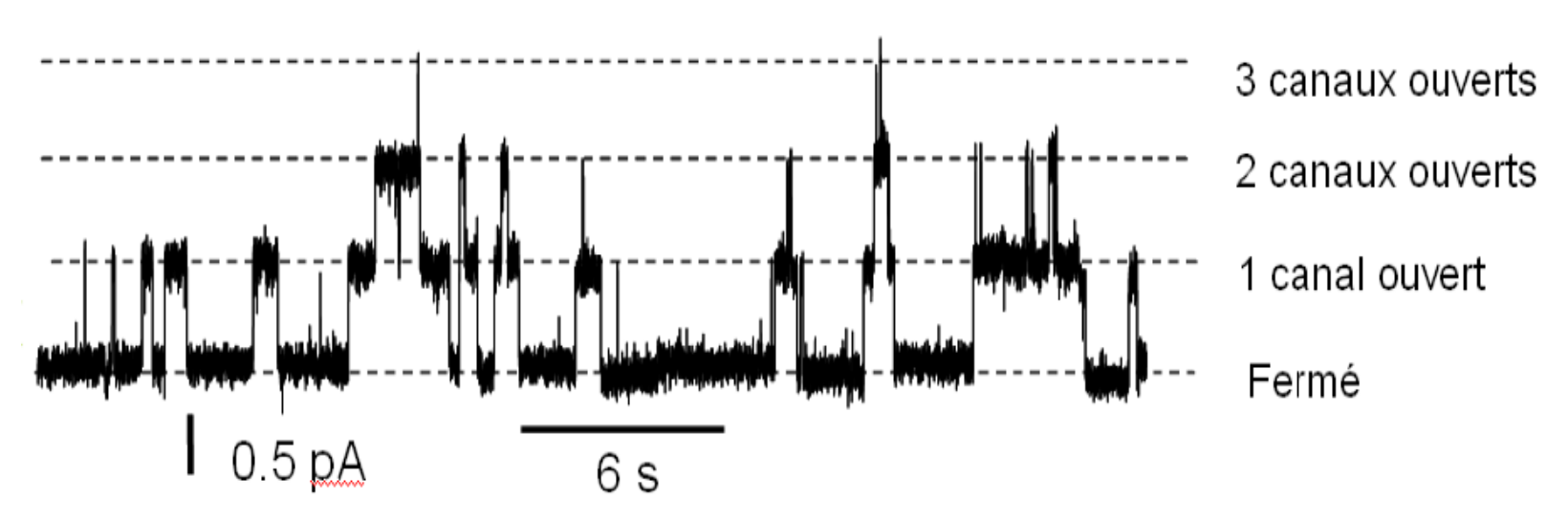
#### Résultats de patch-clamp



### Exemple d'enregistrement de patch clamp en voltage imposé

En haut : canaux fermés. En bas : canaux ouverts.

On enregistre ici un courant entrant de Na+.



#### Un autre exemple d'enregistrement

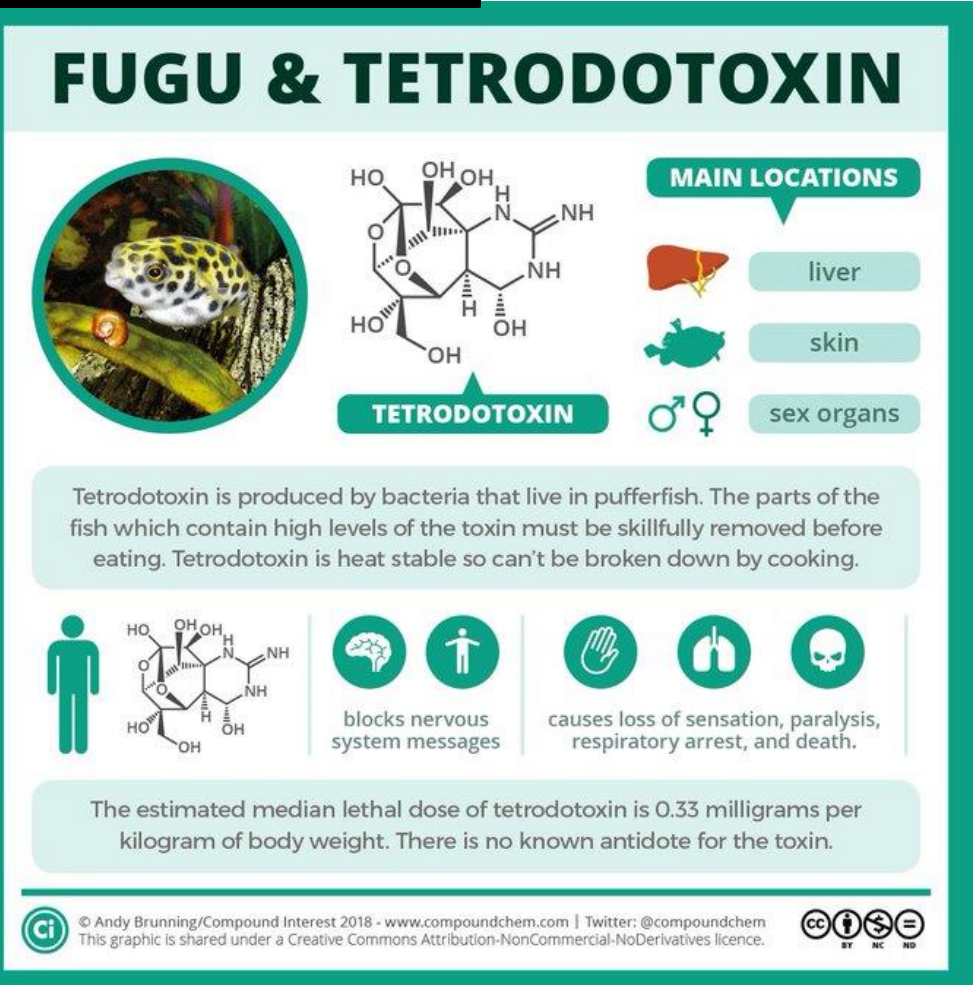
En haut : canaux ouverts. En bas : canaux fermés.

On enregistre ici un courant sortant, et plusieurs canaux peuvent être ouverts.

Créneaux de courant de même amplitude → 3 canaux identiques.



# Blocage pharmacologique des canaux ioniques



tétrodotoxine (TTX) :
 Blocage des canaux Na<sup>+</sup>
 voltage dépendants

• ion TEA (tetraéthyl-ammonium) :

Blocage des canaux K+ voltage dépendants

# Les canaux ioniques voltage-dépendants, acteurs moléculaires du potentiel d'action

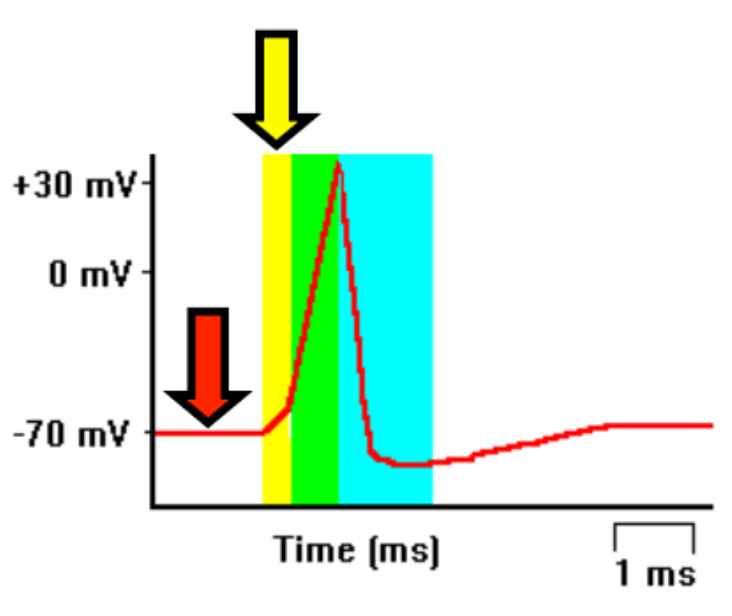
au départ, potentiel de repos

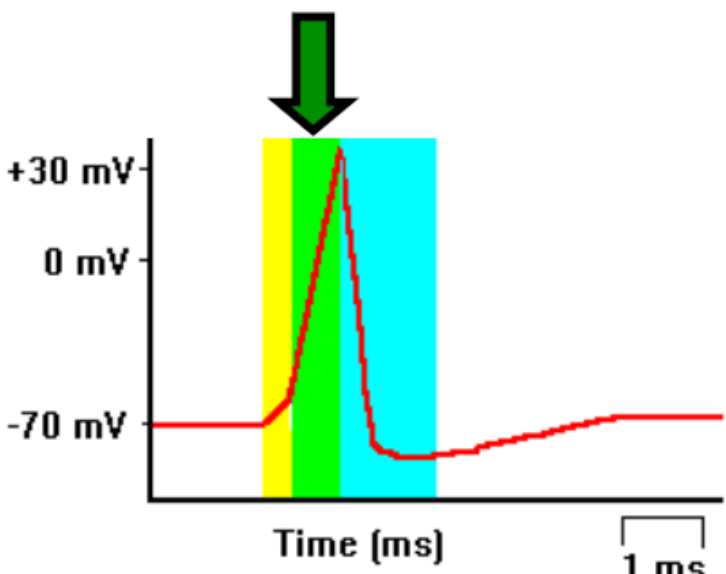
légère dépolarisation (d'origine inconnue, pour le moment)

ouverture de quelques canaux Na<sup>+</sup>...

... suivie de l'ouverture de nombreux canaux Na+ supplémentaires

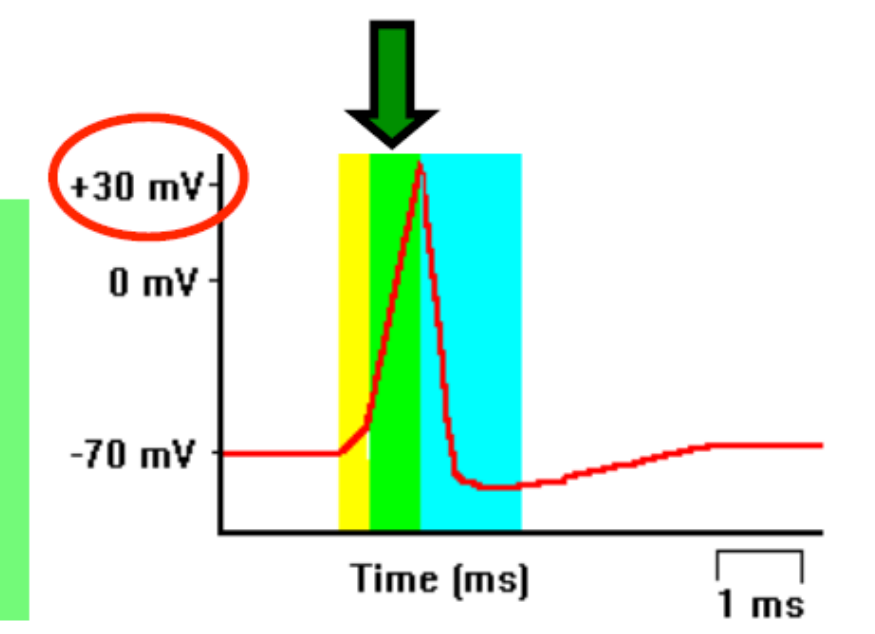
dépolarisation rapide





Suite à l'entrée des ions Na+

surplus de charges positives à l'intérieur de la membrane le potentiel de membrane devient positif

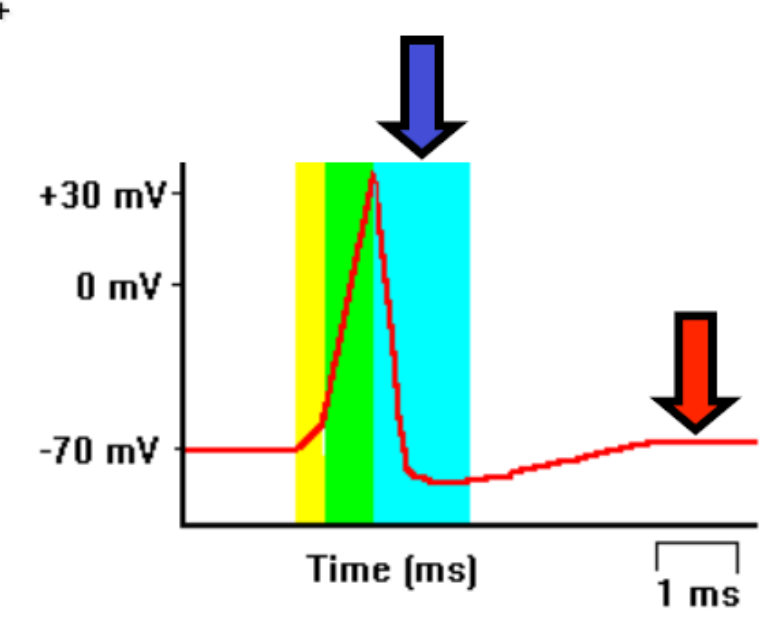


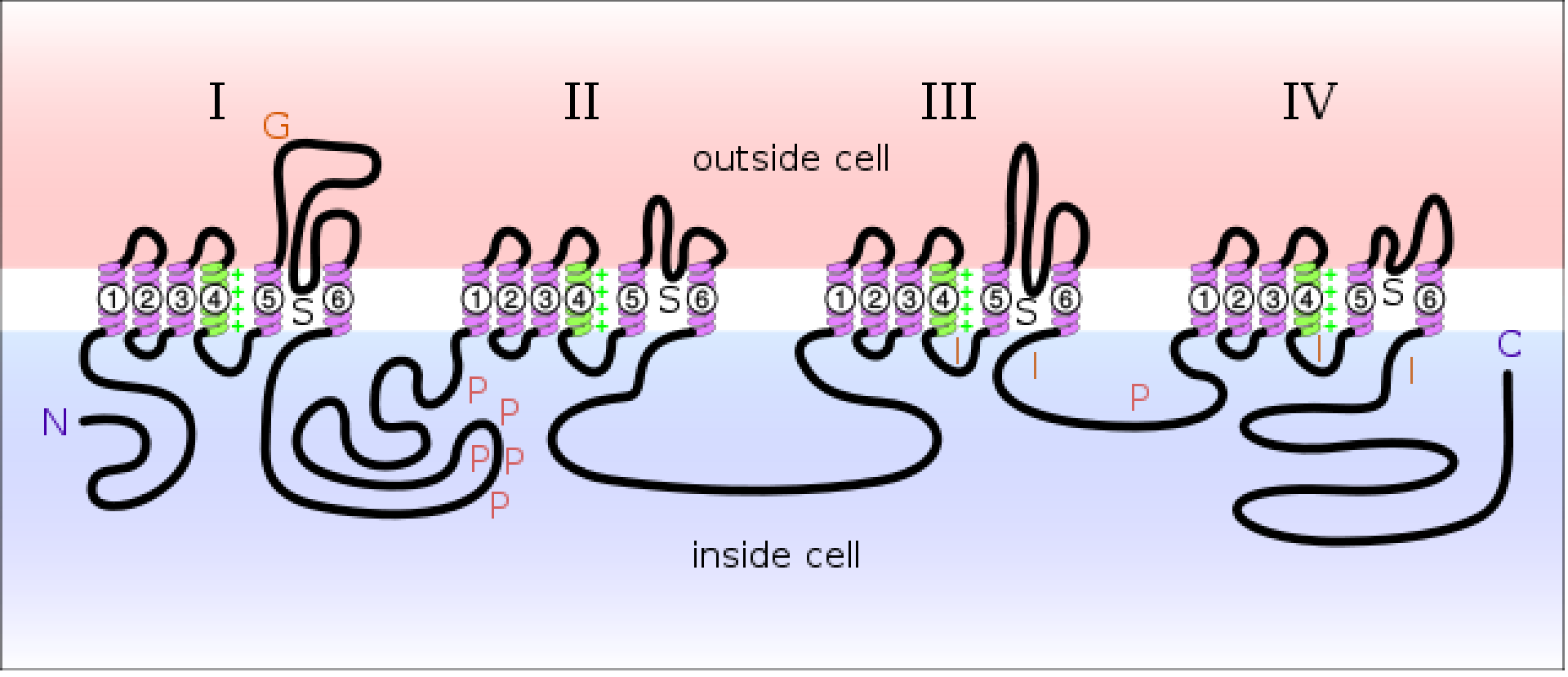
Fermeture des canaux Na<sup>+</sup>

ouverture de canaux K<sup>+</sup> surnuméraires

### La membrane repolarise

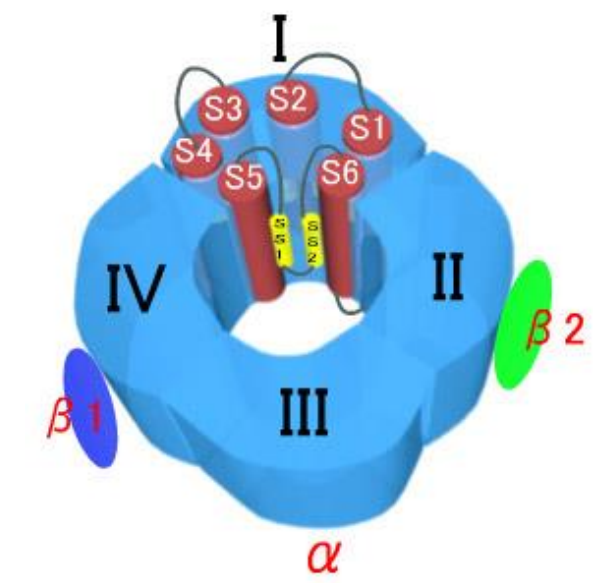
et revient vers son potentiel de repos



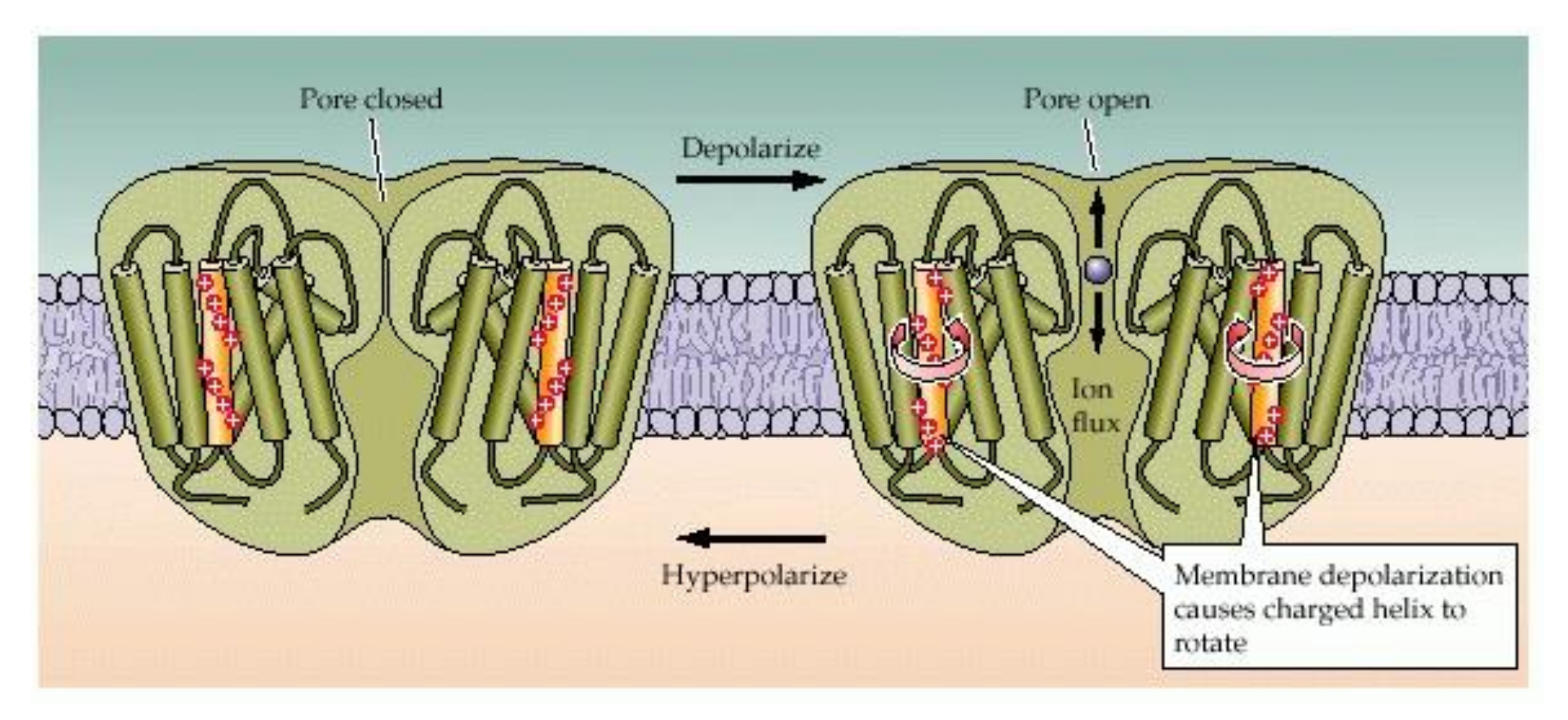


#### Structure du canal à Na+ voltage-dépendant

Segment S4 (en vert ci-dessus) :
 détecteur de tension
 segment « S » ci-dessus et en
jaune ci-contre : sélectivité des ions



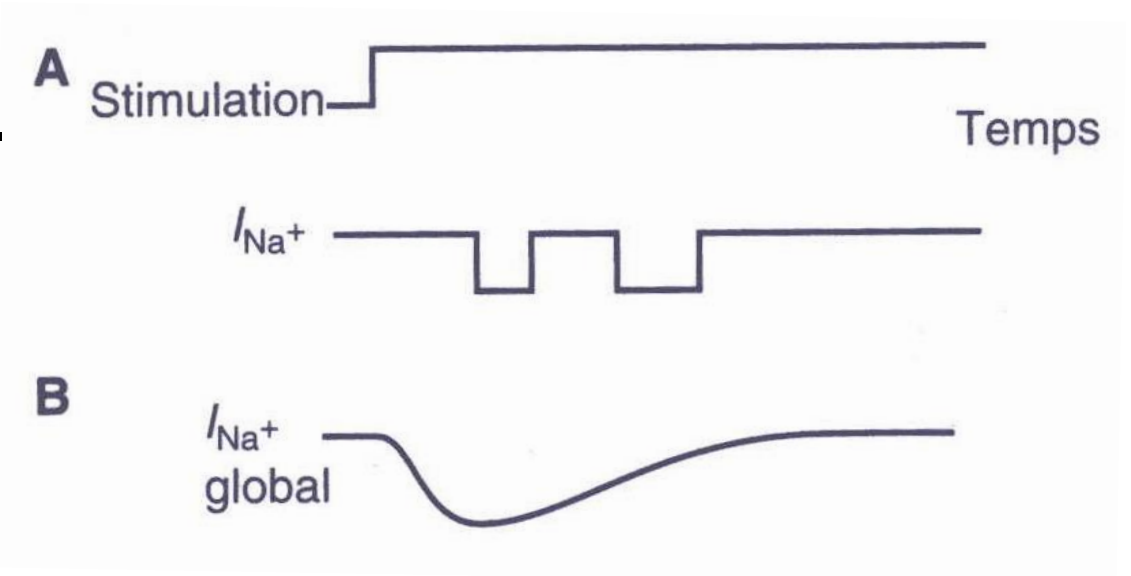
# Fonctionnement du canal à Nativoltage-dépendant

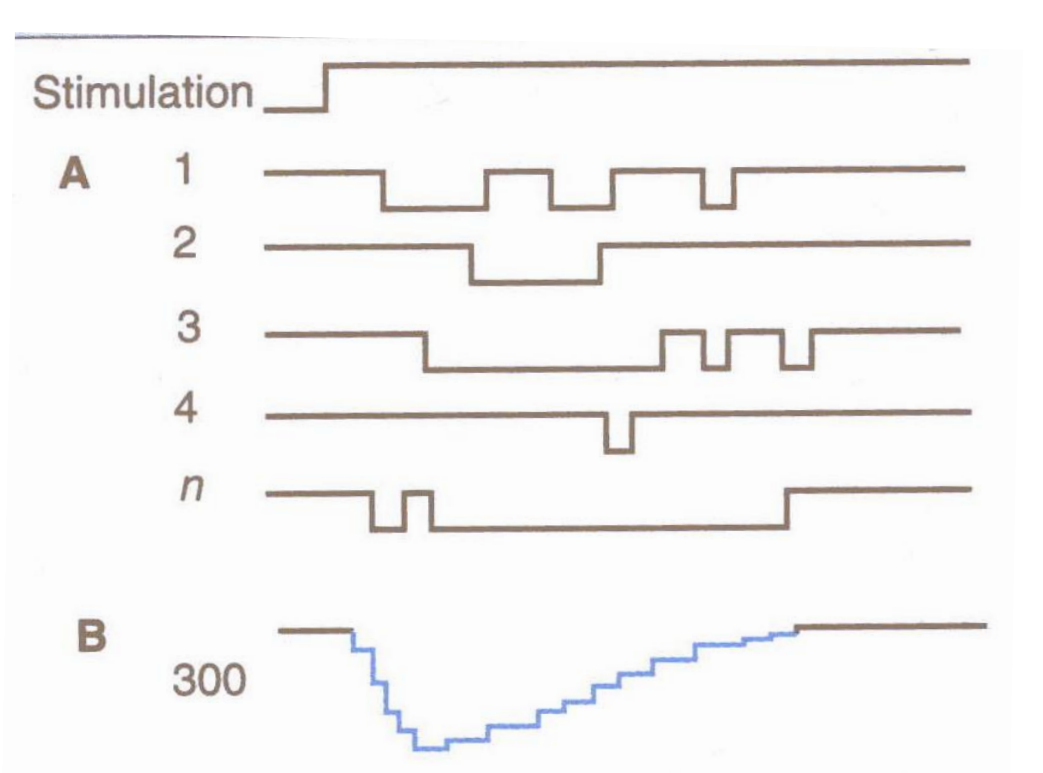


Le segment S4 (en jaune ici) est chargé + en raison de la présence de résidus LYS et ARG. En conséquence, une dépolarisation de la membrane entraîne la rotation de ce domaine, et le changement de conformation de la protéine, d'où une ouverture du canal.

# Document 8. Enregistrement en patchclamp d'un canal Na+ (A) comparé à un enregistrement

intracellulaire (B).



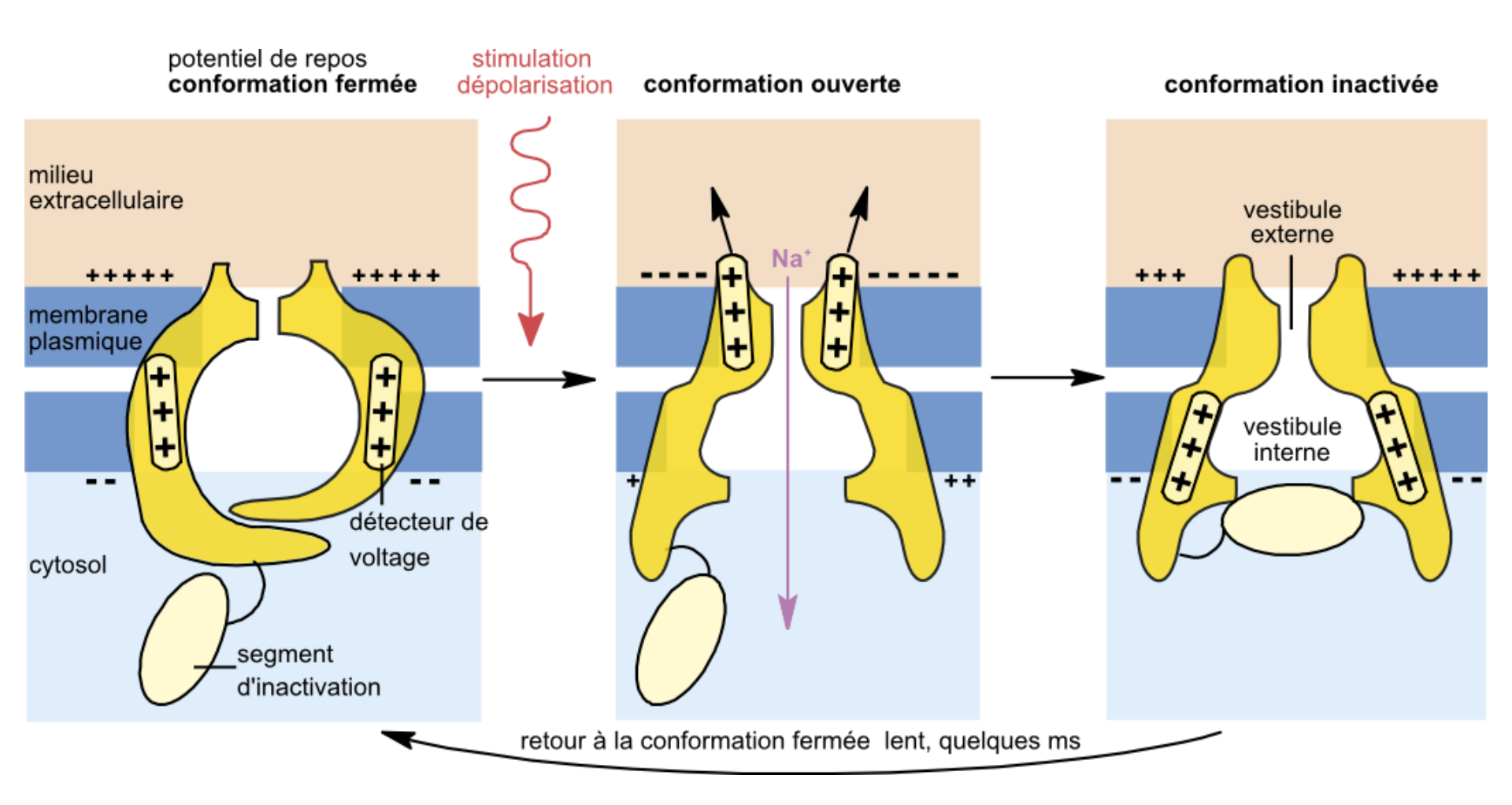


#### Document 9.

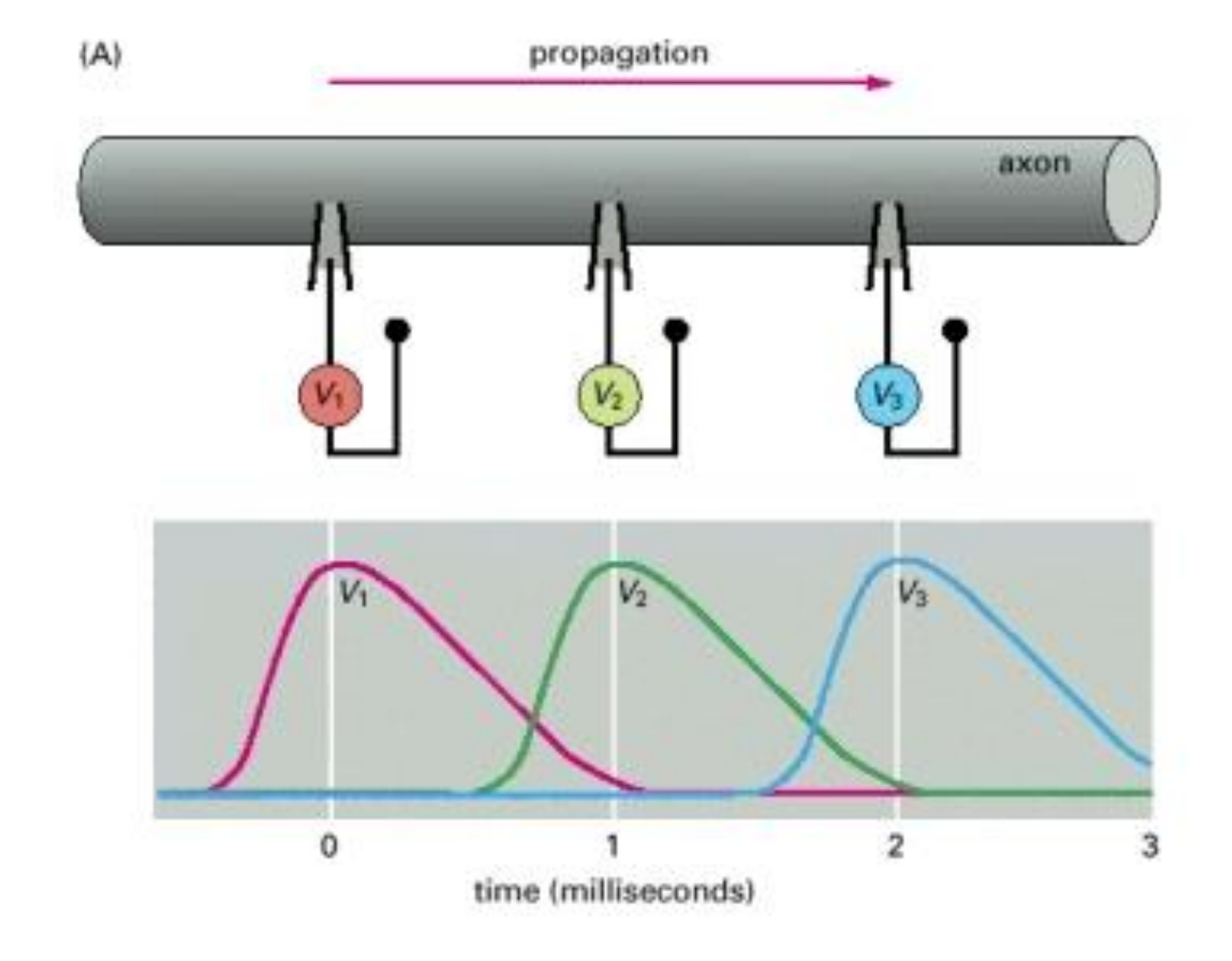
Enregistrement lors de n stimulations d'un même canal ionique.

Le moment et la durée d'ouverture du canal sont généralement différents d'une expérience à l'autre.

### **Document 10.** Modèle de fonctionnement d'un canal Natvoltage-dépendant.



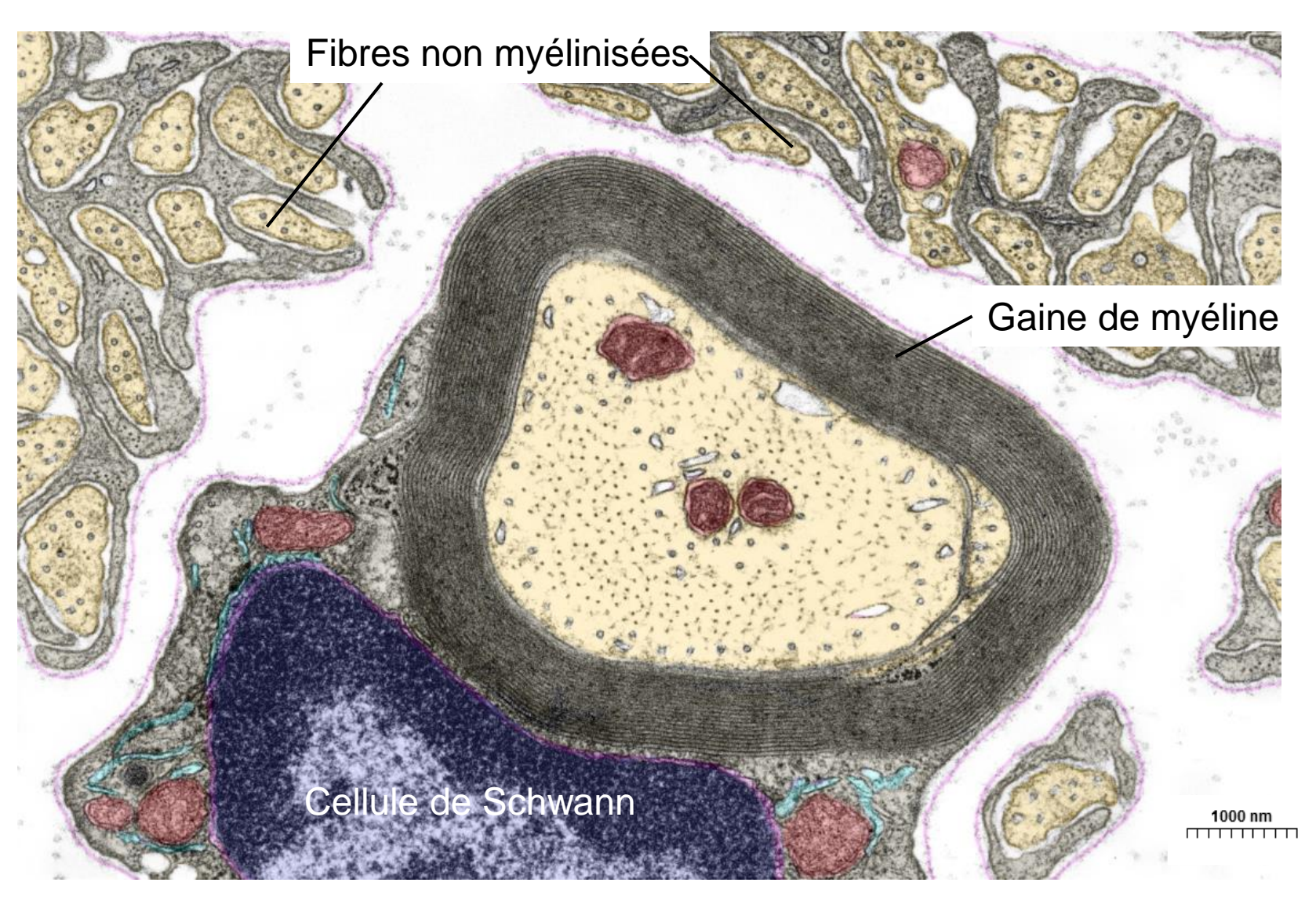
# Enregistrement de la propagation d'un potentiel d'action le long d'un axone



Exemple de fibre nerveuse	Diamètre (µm)	Vitesse (m/s)
Afférences des fuseaux neuromusculaires	15	100
Afférences des récepteurs cutanés de pression	8	50
Fibres motrices des fuseaux neuromusculaires	5	20
Afférences des récepteurs cutanés de douleur	3	15
Fibres sympathiques efférentes préganglionnaires	3	7
Fibres sympathiques efférentes postganglionnaires (amyélinisées)	0,5	1
Axone géant de Calmar (amyélinisé)	700	25

# Quelques exemples de vitesse de propagation du message nerveux

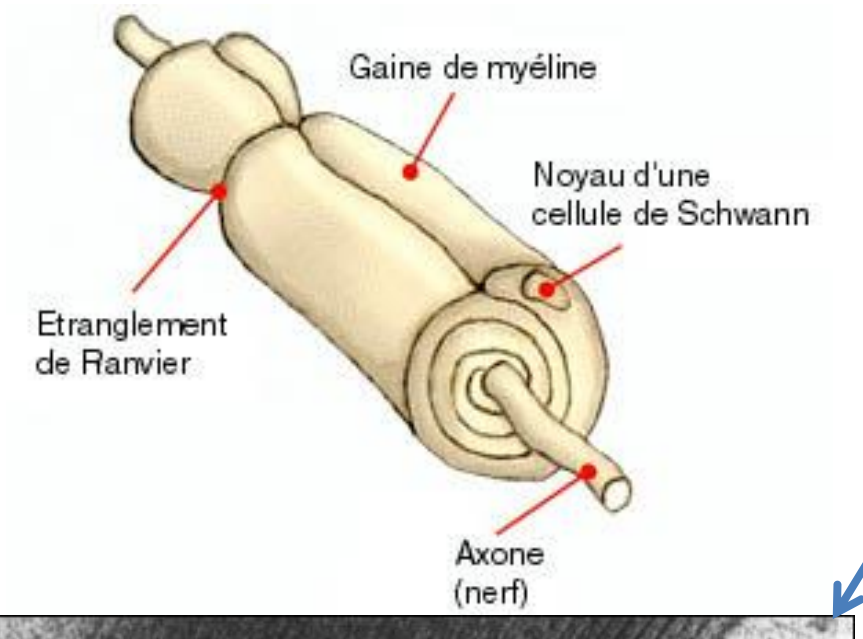
## Coupe transversale d'un nerf

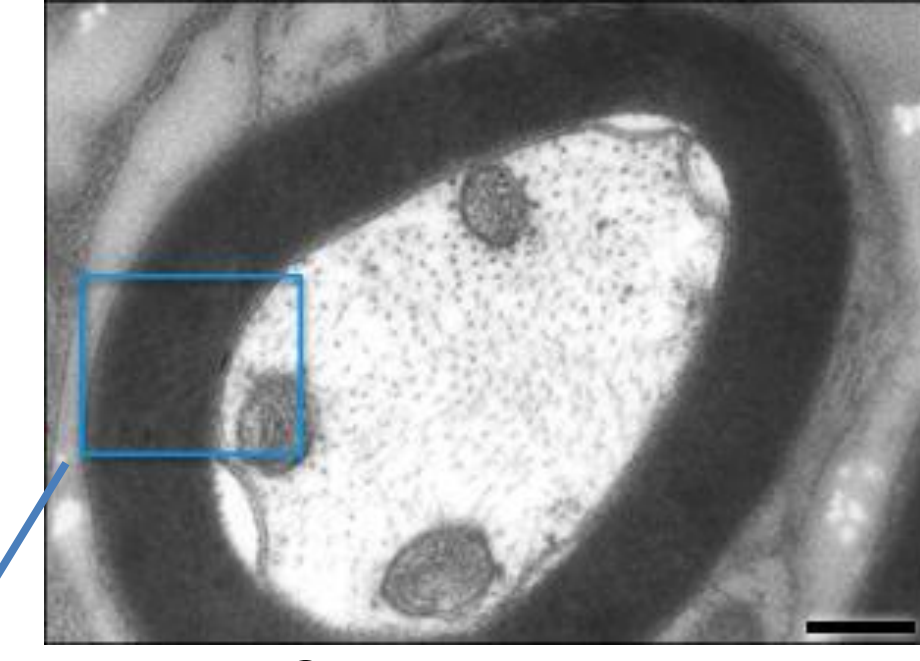


Jaune : cytoplasme des neurones

http://www.histologyguide.com/EM-view/EM-152-peripheral-nerve/06-photo-1.html

## Une fibre nerveuse myélinisée





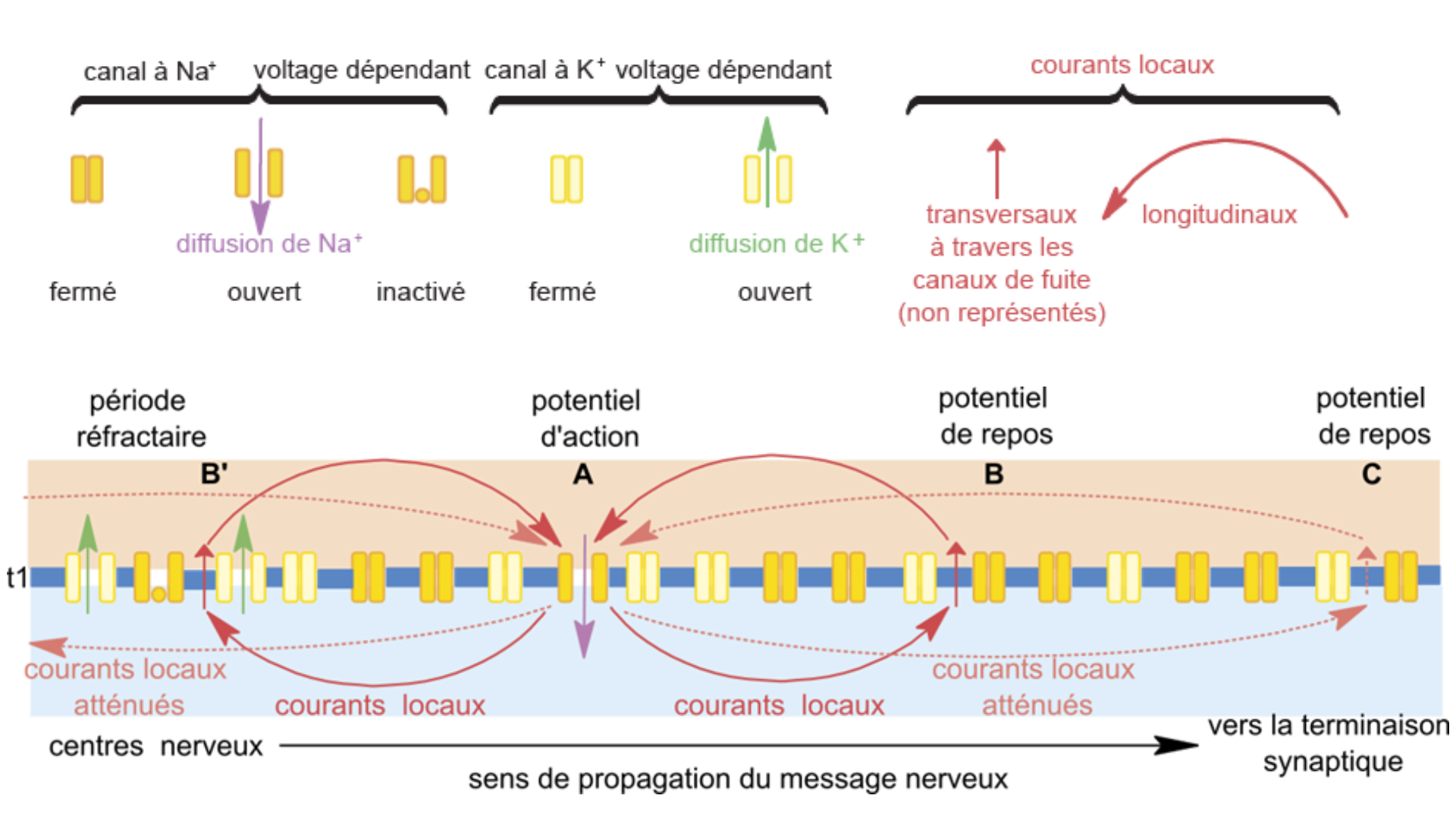
Vue en CT (échelle : 150 nm).

Dans l'axone : trois
mitochondries, de nombreux
microtubules et
neurofilaments.

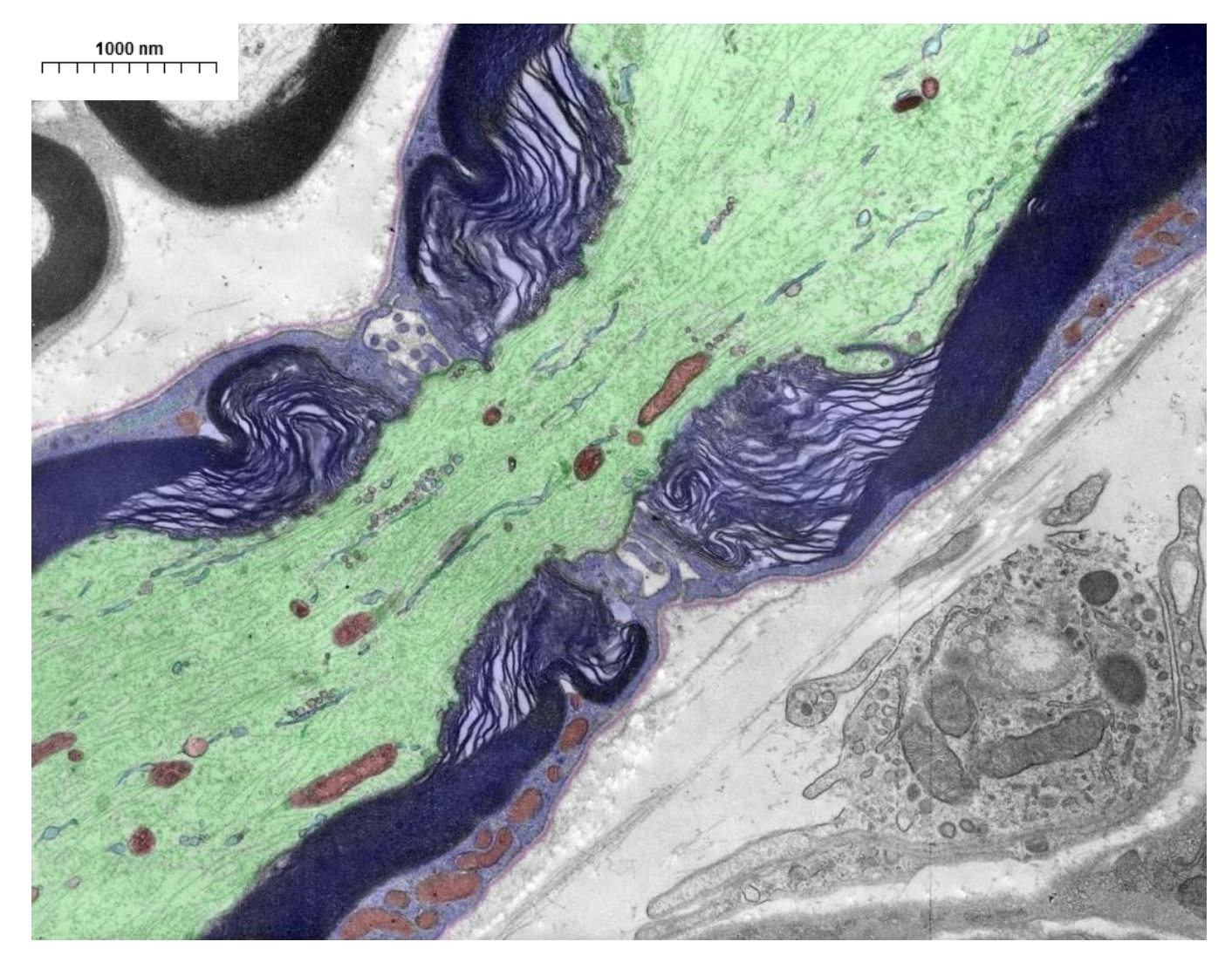
Vue en CT : détail (échelle : 70 nm). La gaine comprend ici 35 tours de membrane.

http://www.cochlea.eu/cochlee/organe-de-corti/organe-de-corti-innervation

# Document 11. Propagation de l'influx nerveux par courants locaux dans le cas de la fibre amyélinisée.



# Coupe longitudinale d'une fibre myélinisée au niveau d'un nœud de Ranvier

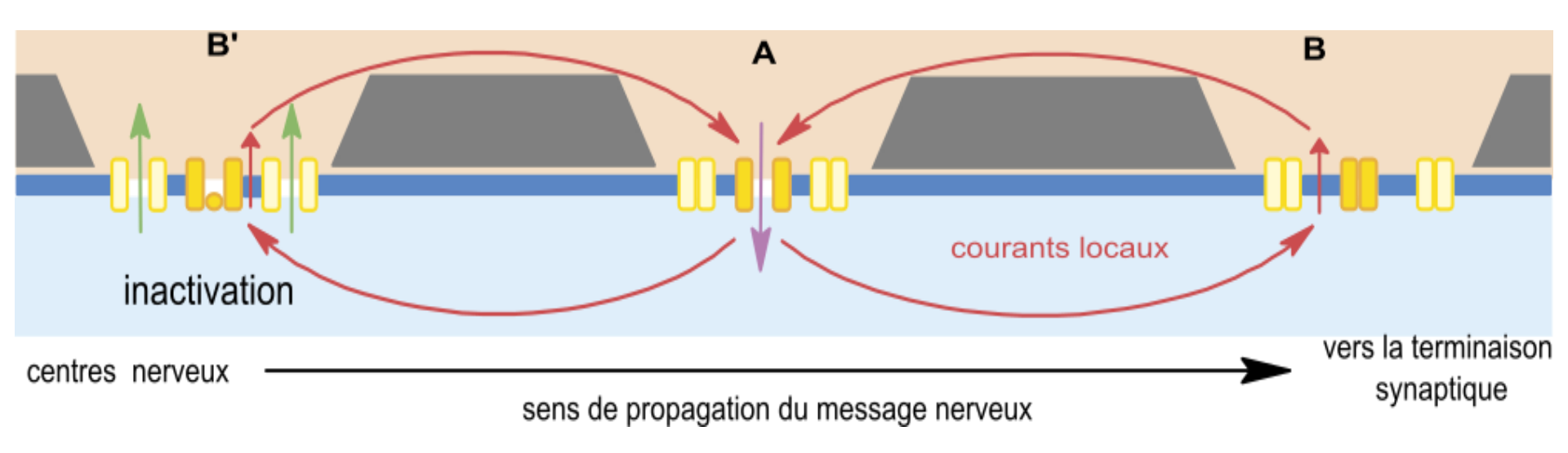


Vert : cytoplasme de l'axone avec mitochondries en rouge

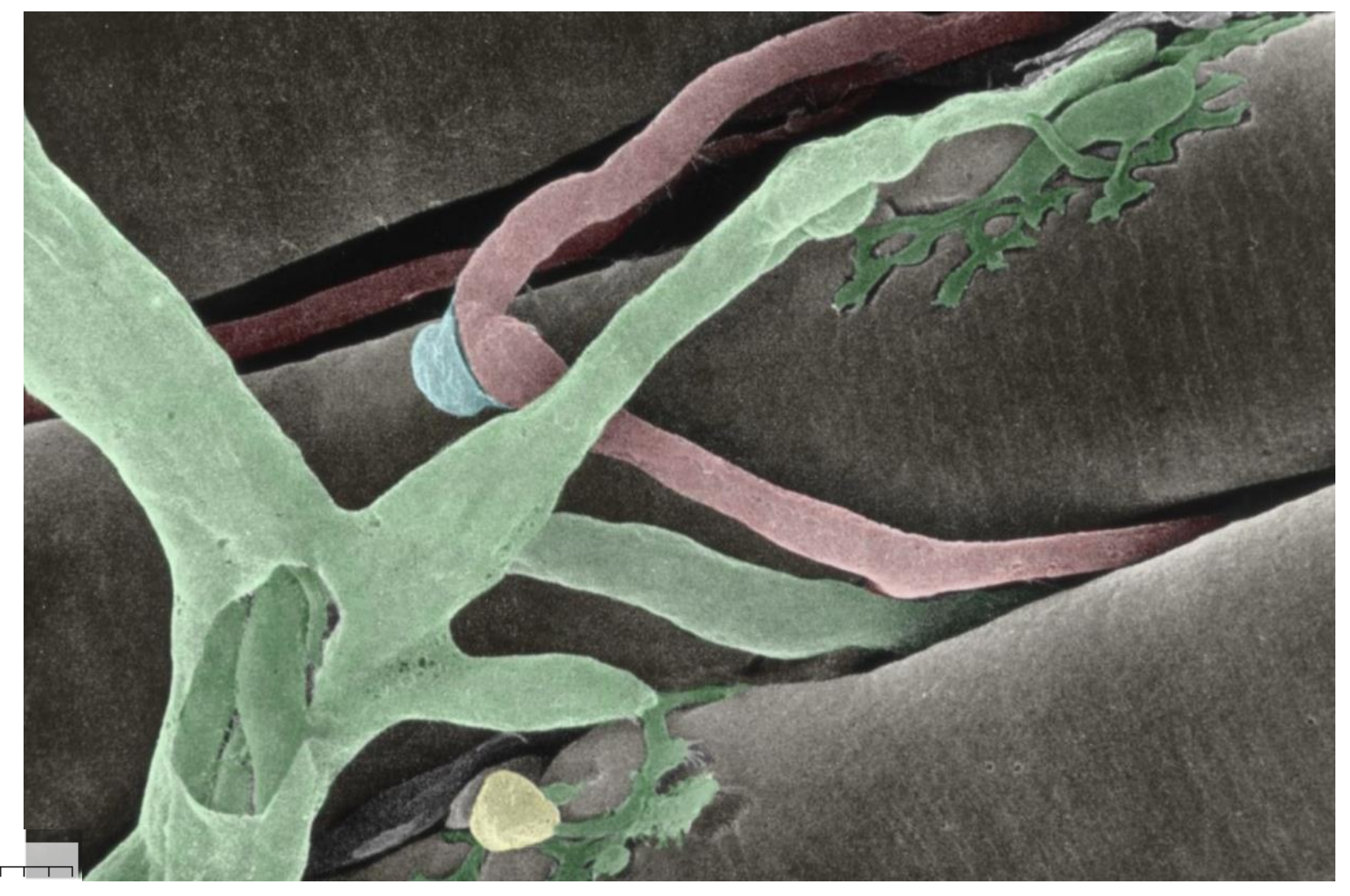
Bleu : gaine de myéline

http://www.histologyguide.com/EM-view/EM-288-node-of-ranvier/06-photo-1.html

# Document 12. Propagation saltatoire de l'influx nerveux le long d'une fibre myélinisée.

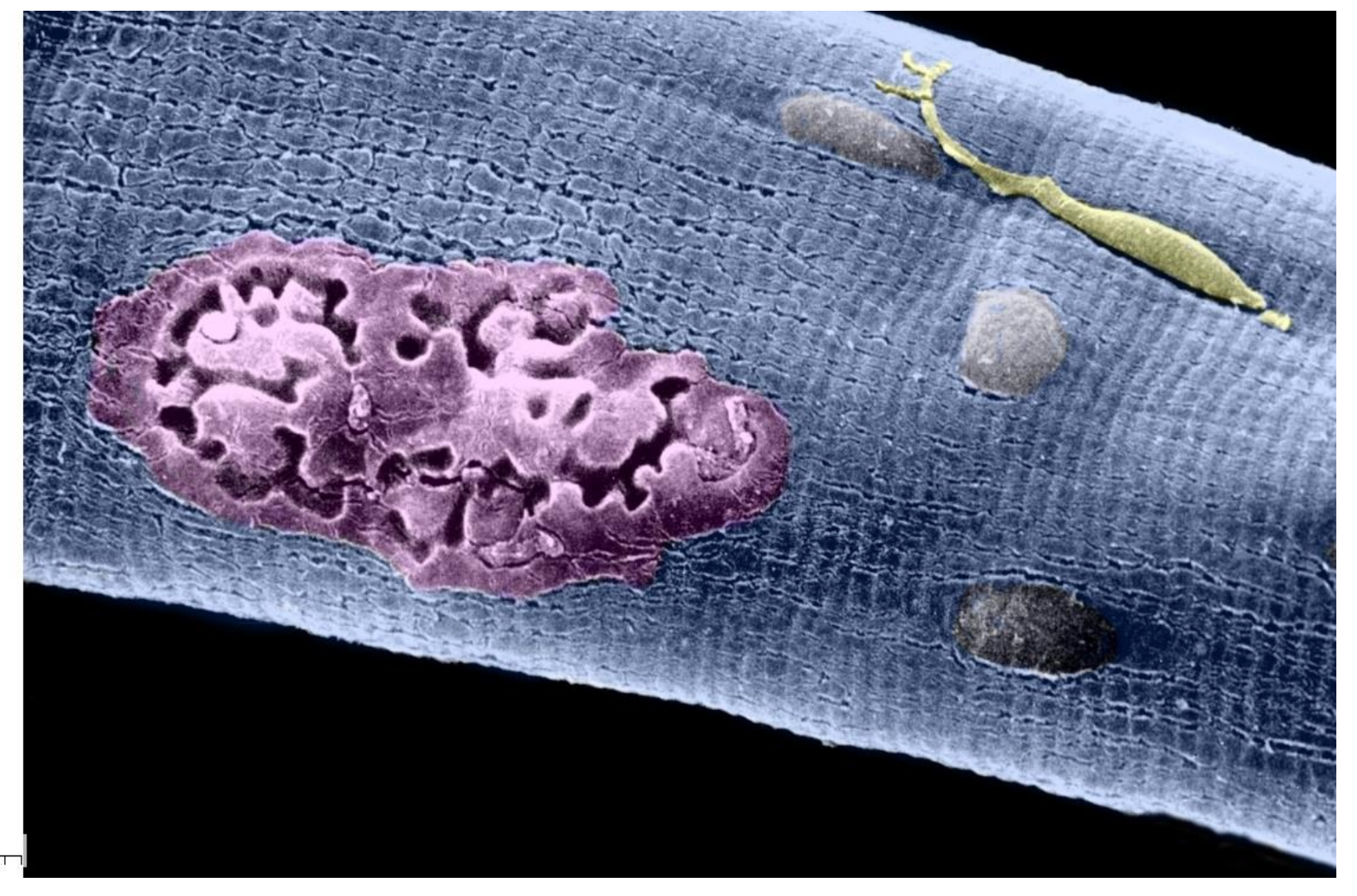


## Jonction neuromusculaire (MEB)



Vert clair : nerf moteur ; vert foncé : fibres nerveuses ; jaune : cellules de Schwann rouge : capillaires ; bleu : péricyte

## Jonction neuromusculaire (MEB)

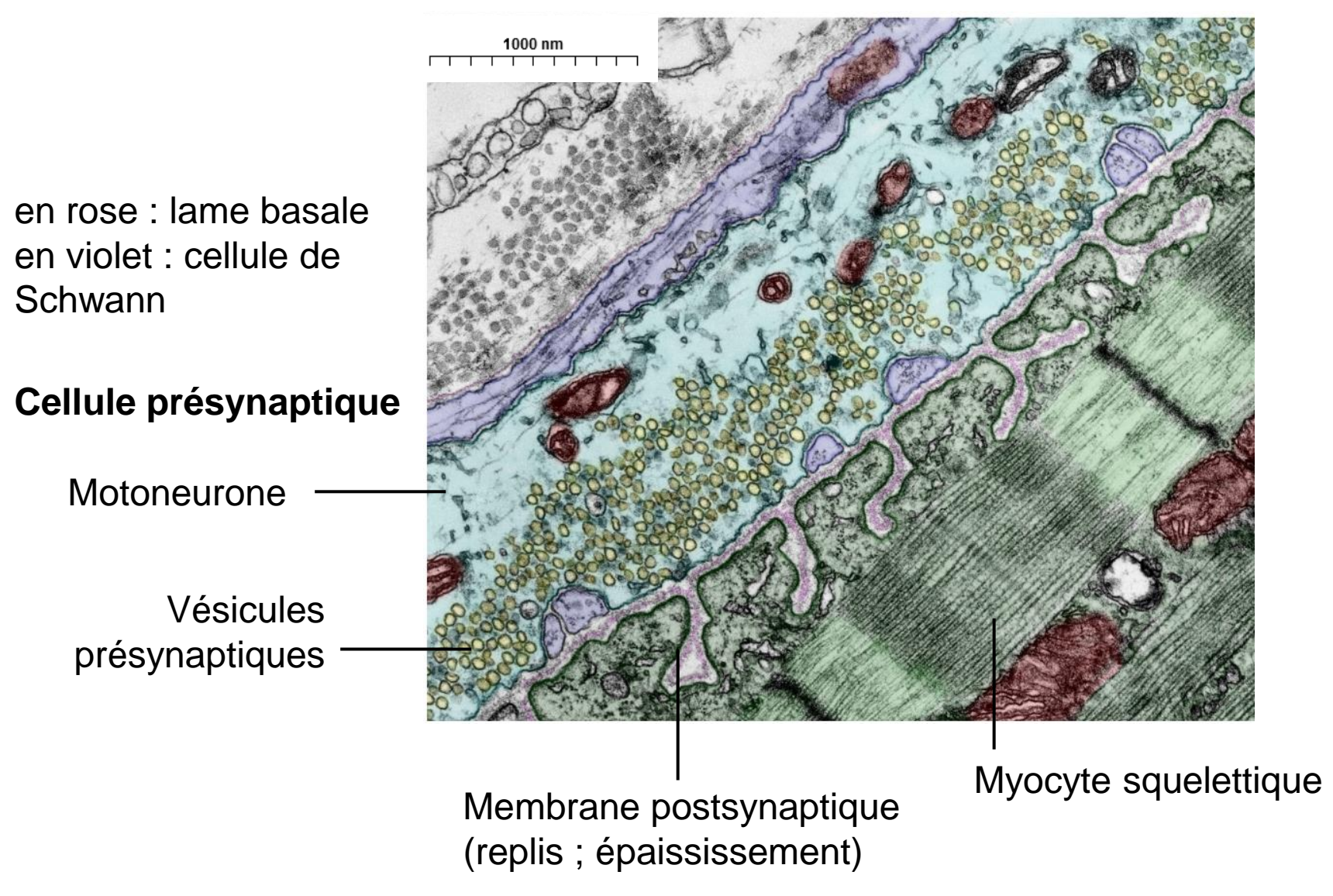


En rose : plaque motrice après ablation des fibres nerveuse motrices

## **Document 13.** La jonction neuro-musculaire (MET)

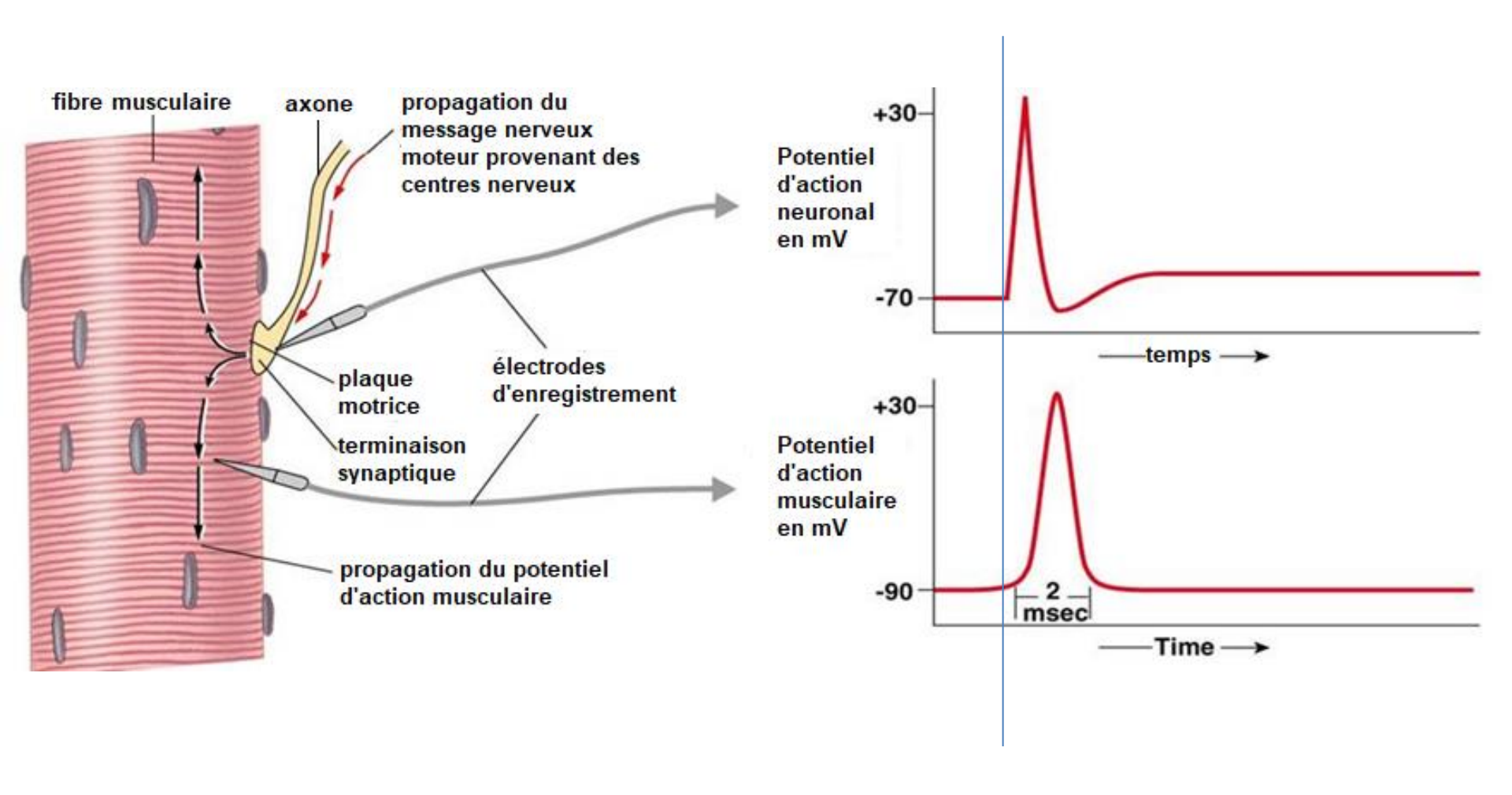


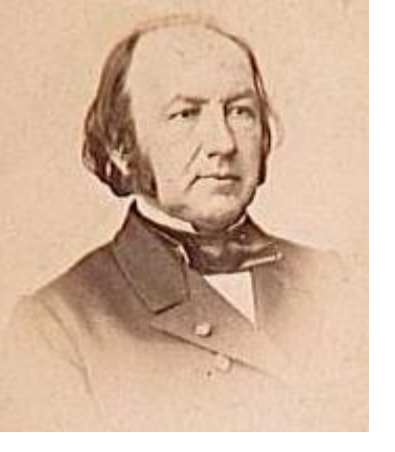
## Jonction neuromusculaire (MET)



**Cellule postsynaptique** 

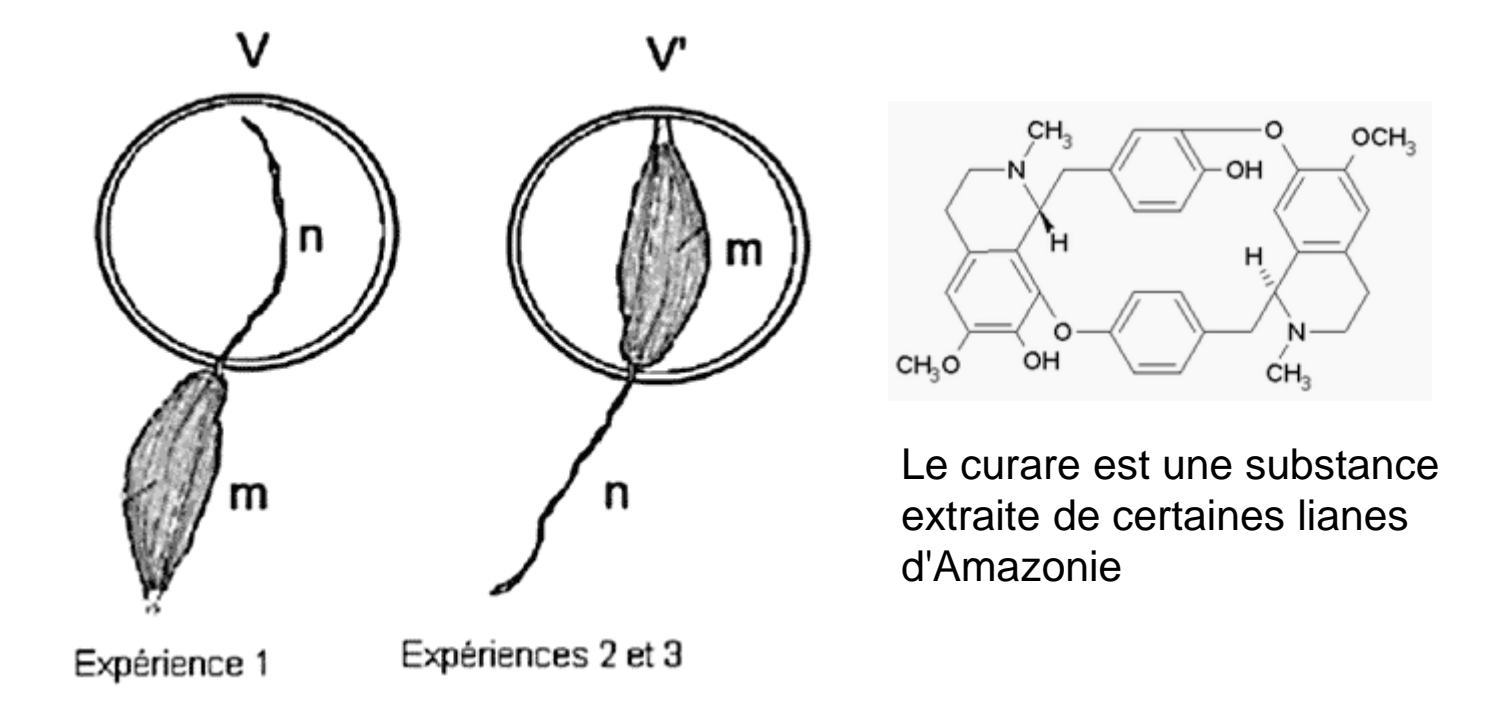
# Du potentiel d'action neuronal au potentiel d'action musculaire : mise en évidence d'un délai synaptique





Claude Bernard (1813-1878)

# Mise en évidence d'un intermédiaire chimique (expérience de C. Bernard, 1840)



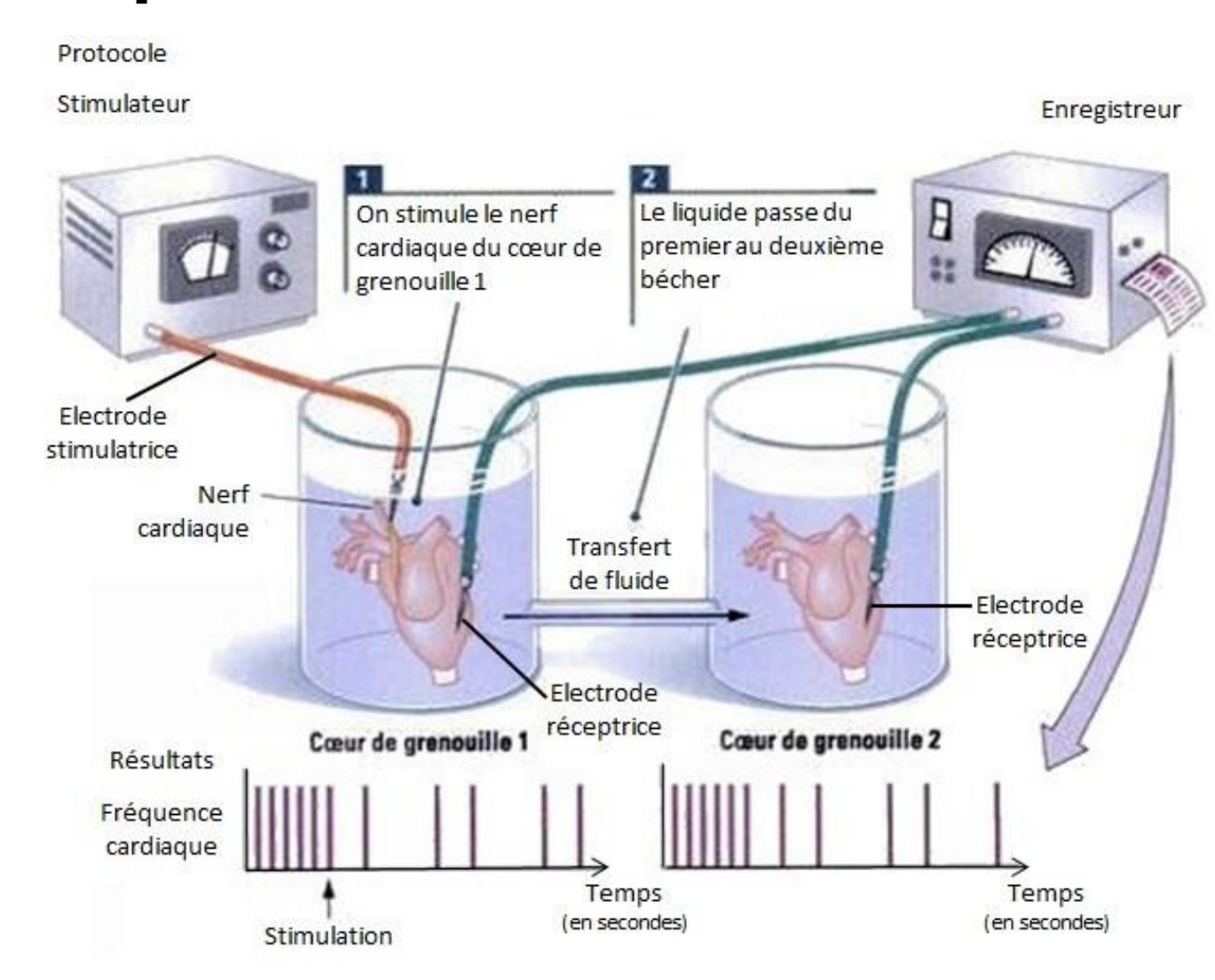
**Expérience 1 :** nerf placé dans le curare du verre de montre V. L'excitation du nerf provoque la contraction du muscle.

**Expérience 2 :** muscle plongé dans le curare du verre de montre V'. L'excitation du nerf ne provoque plus la contraction du muscle.

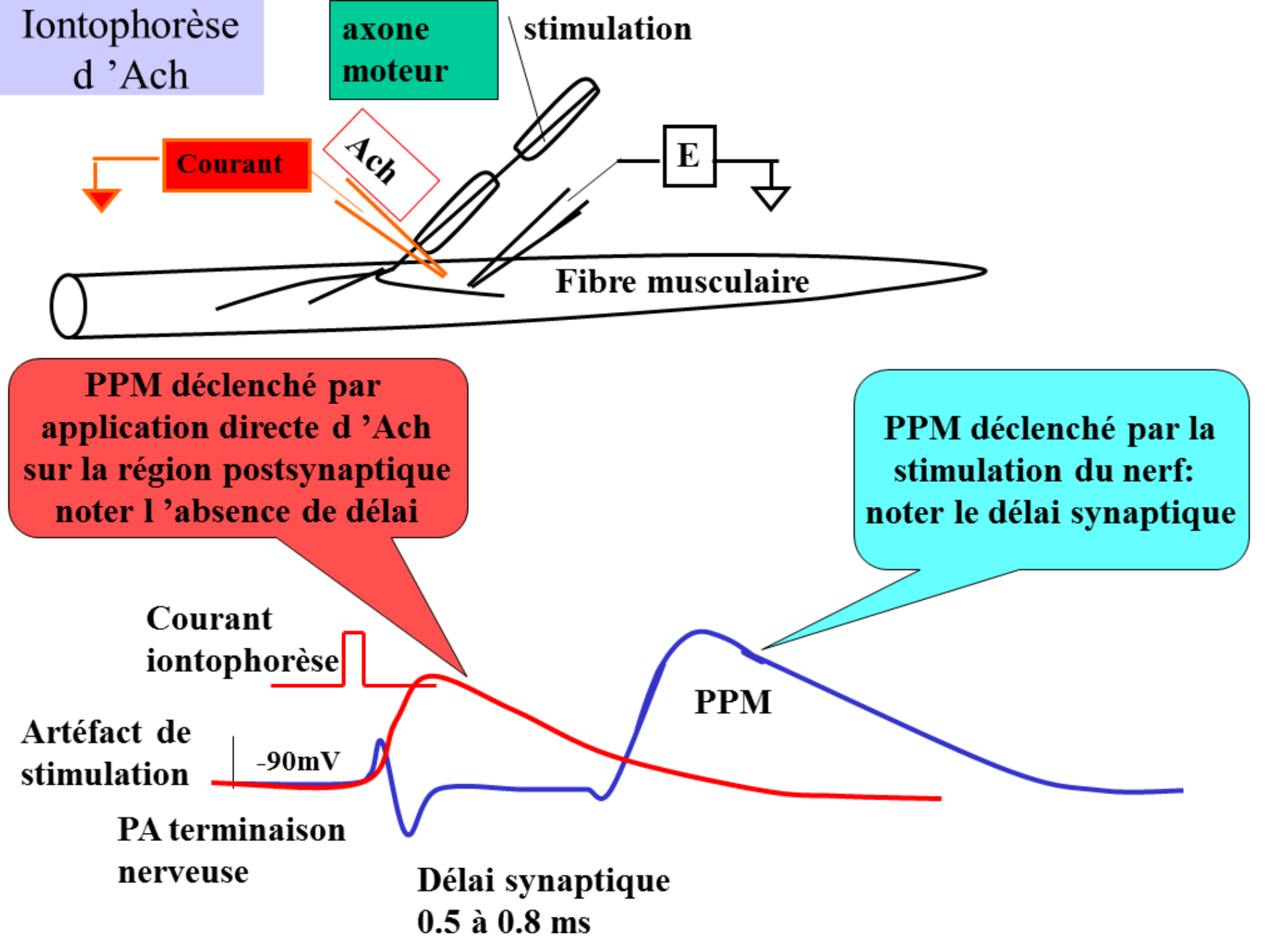
**Expérience 3 :** seul le muscle est plongé dans le curare du verre de montre. La stimulation directe du muscle dans le verre de montre V' provoque sa contraction.

## Les expériences de Loewi

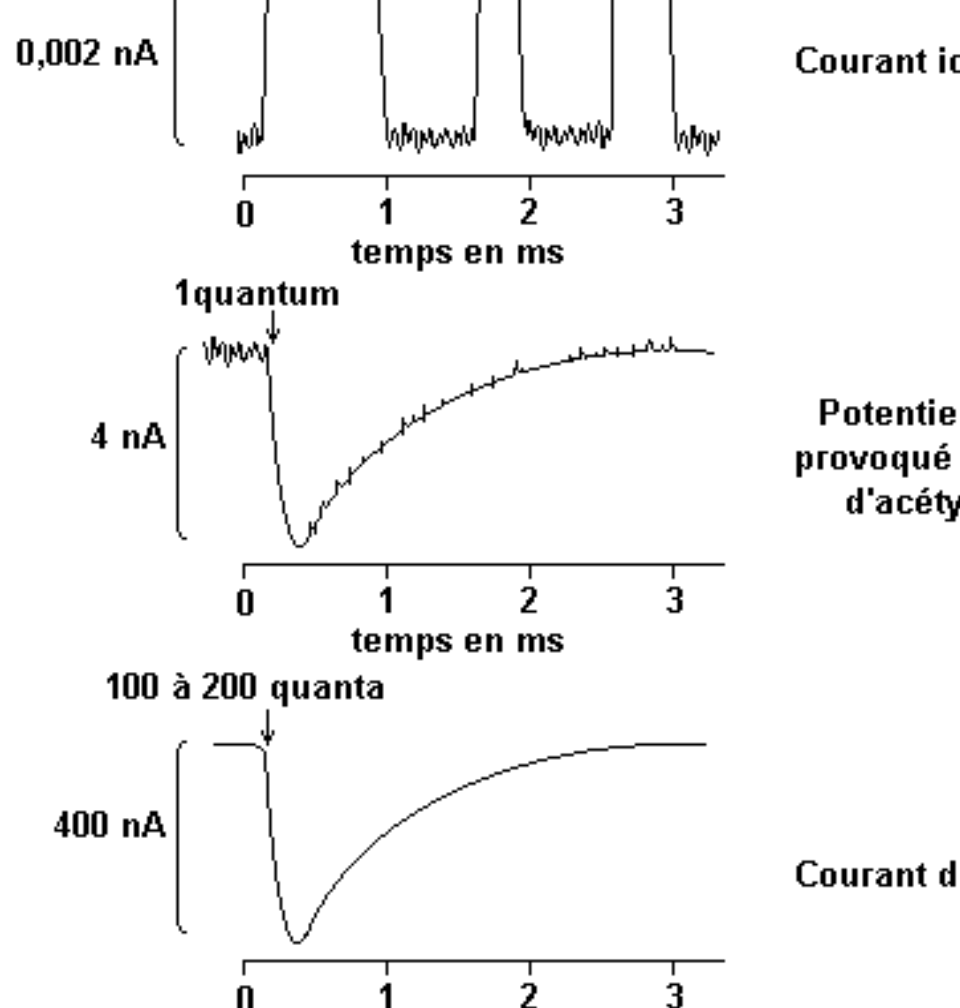
- 1. Un cœur de Grenouille toujours innervé est placé dans une solution de Ringer. Le cœur continue à battre.
- 2. La stimulation électrique des fibres nerveuses du nerf vague est suivie de diminution de la fréquence cardiaque.



**3.** Le liquide de Ringer ayant baigné le premier cœur est transféré dans une enceinte contenant un second cœur dénervé : sa fréquence de battement diminue, comme celle du premier cœur.



## Document 14. Effet de différentes doses d'Ach sur la dépolarisation de la membrane post-synaptique de la plaque motrice.



temps en ms

MWh

(MANAANAN)A

Courant ionique d'un canal

Potentiel de plaque provoqué par 1 quantum d'acétylcholine

Courant de plaque

Dépolarisation spontanée due à l'ouverture d'un unique canal ionique.

Dépolarisation provoquée par l'exocytose d'une unique vésicule d'acétylcholine (un quantum d'Ach). Le potentiel de plaque est insuffisant pour déclencher la contraction.

Dépolarisation provoquée par l'arrivée d'un potentiel d'action au niveau de la plaque motrice. 100 à 200 quanta sont émis et le courant de plaque déclenche la contraction.

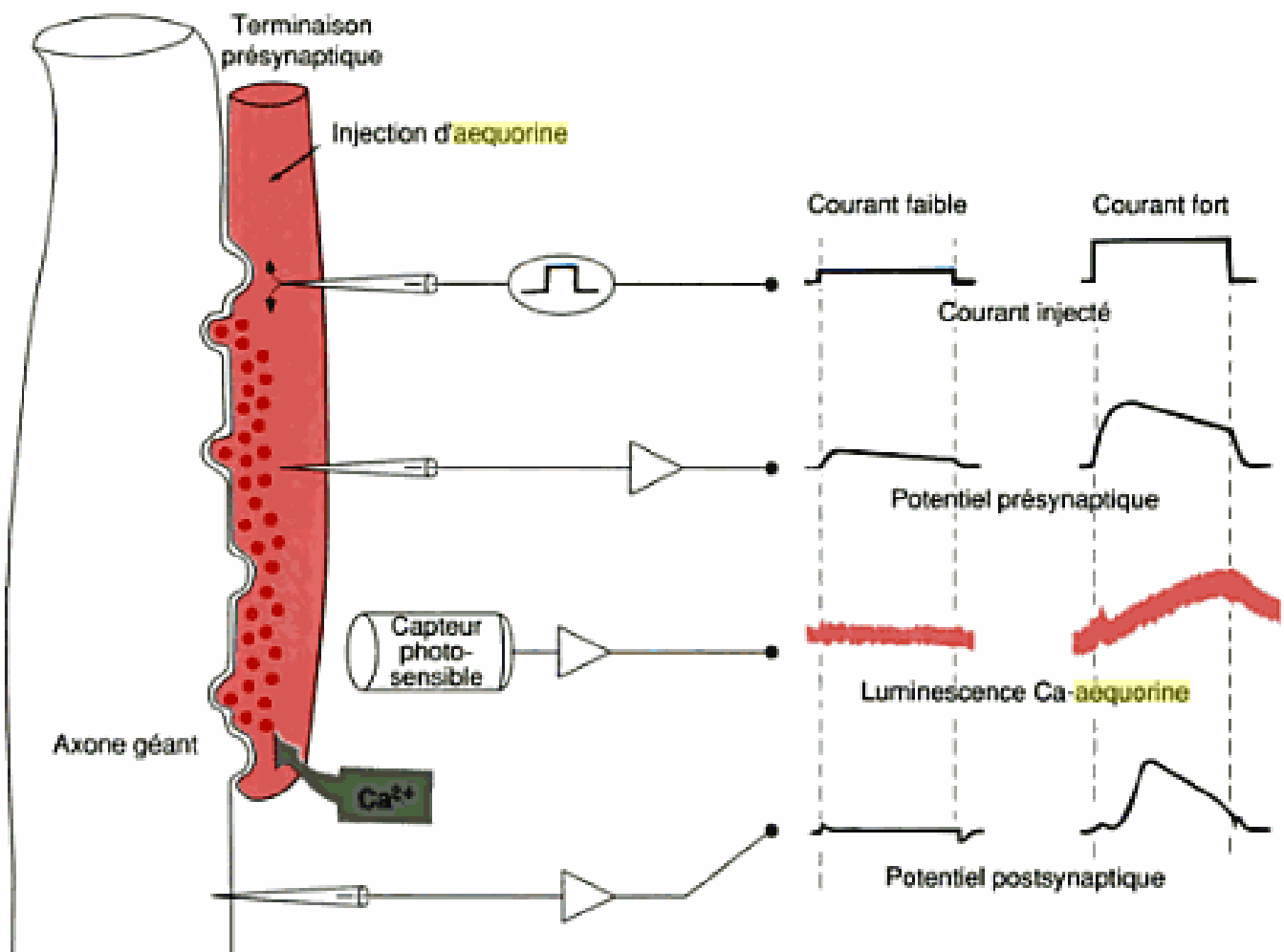
http://public.iutenligne.net/fondements\_GB/bio/sciences\_bio/physio/pages/muscles/Nivplmot.htm



# Aequorea victoria

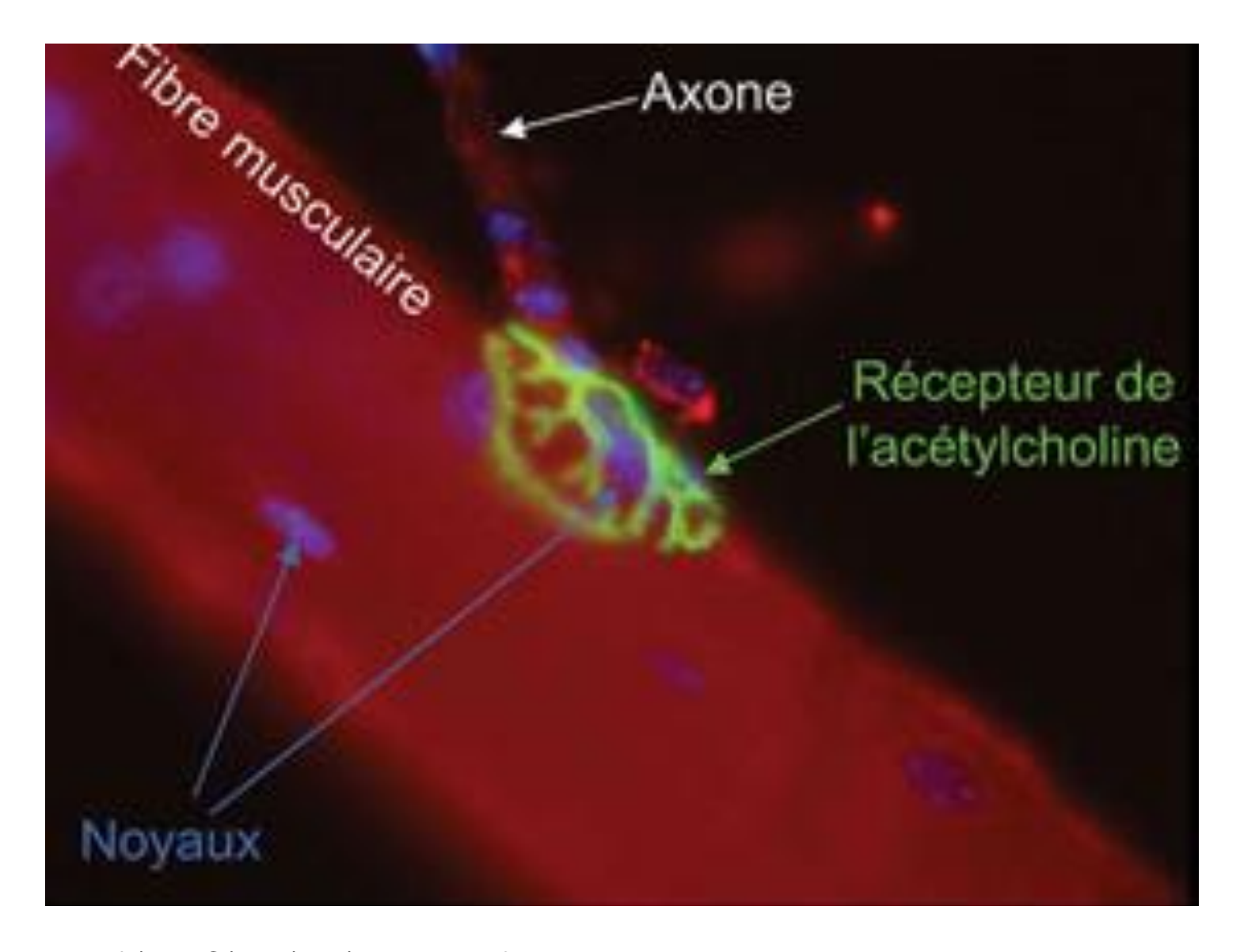
Après injection d'aequorine, on stimule une terminaison présynaptique (courant injecté). (Les canaux à Na+ et K + on été bloqués par le TTX et le TEA). On enregistre les potentiels pré- et postsynaptiques, ainsi que l'émission de lumière.

# Mise en évidence de l'intervention du Ca<sup>2+</sup> extracellulaire dans la libération de neurotransmetteurs



Roger Eckert, Physiologie animale : mécanismes et adaptations, De Boeck

## Localisation des récepteurs à l'acétylcholine



#### Elucidation de la structure du récepteur nicotinique à l'Ach

**Années 70 :** 1<sup>er</sup> isolement par JP Changeux (Institut Pasteur) à partir de l'organe électrique de Poisson Torpille

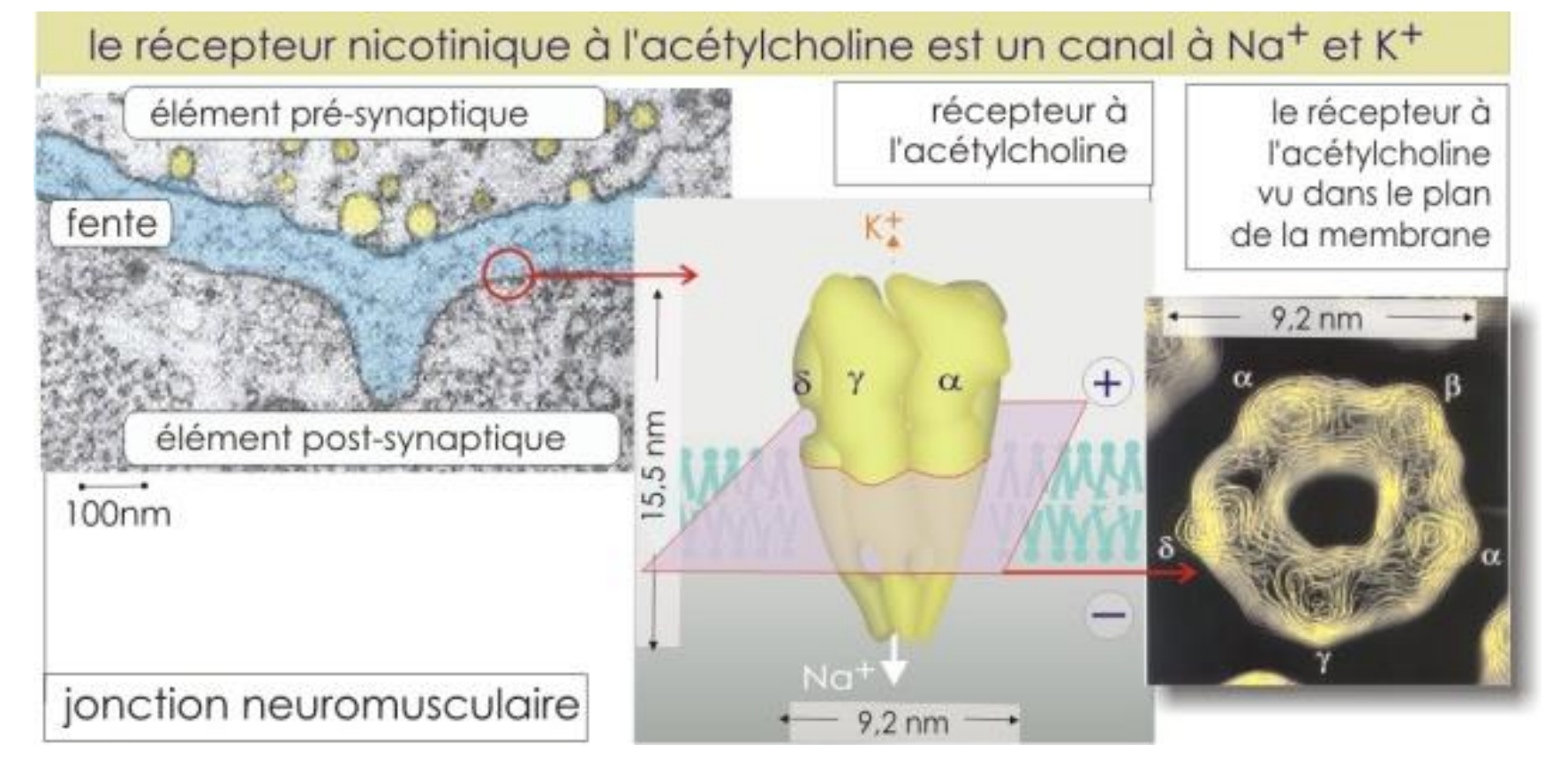
Années 80 : localisation du canal ionique (Institut Pasteur)

2016 : cristallographie aux rayons X : 1<sup>er</sup> modèle structural du récepteur

humain

**2021 :** 1<sup>er</sup> modèle structural du récepteur du poisson-torpille obtenu par cryo-microscopie électronique.

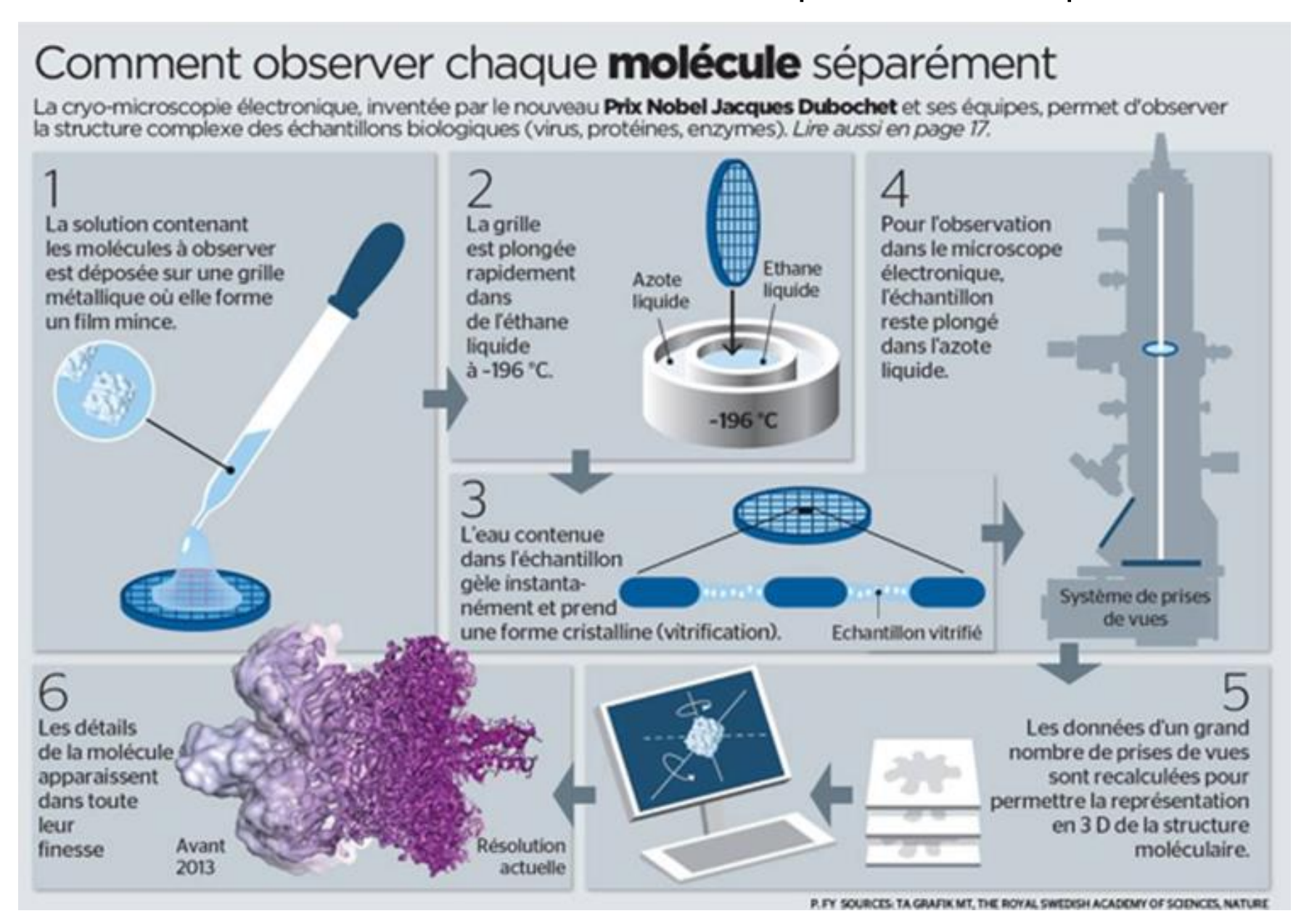




https://ressources.unisciel.fr/biocell/chap2/co/module\_Chap2\_9.html

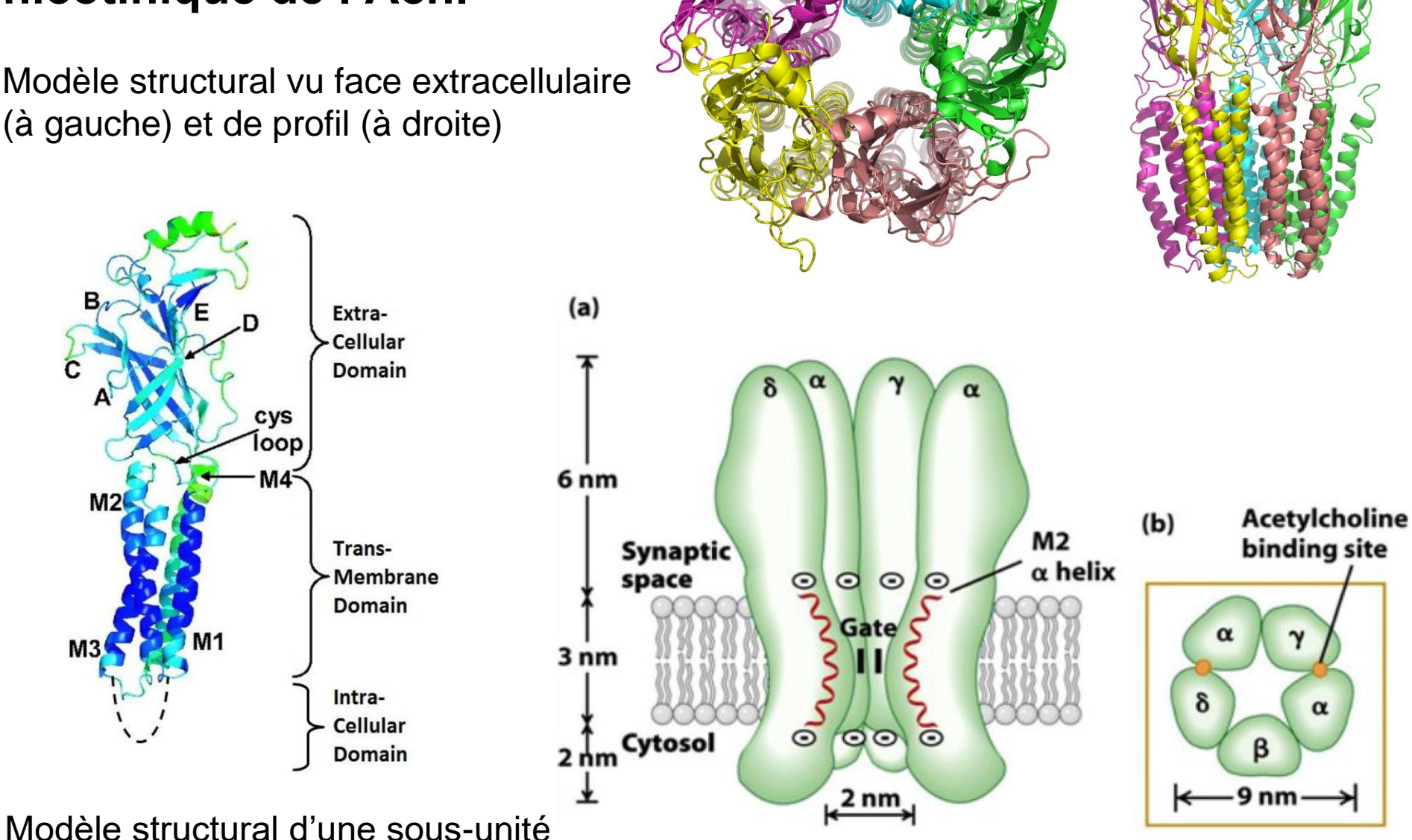
### La cryo-microscopie électronique

Jacques Dubochet, prix Nobel 2017

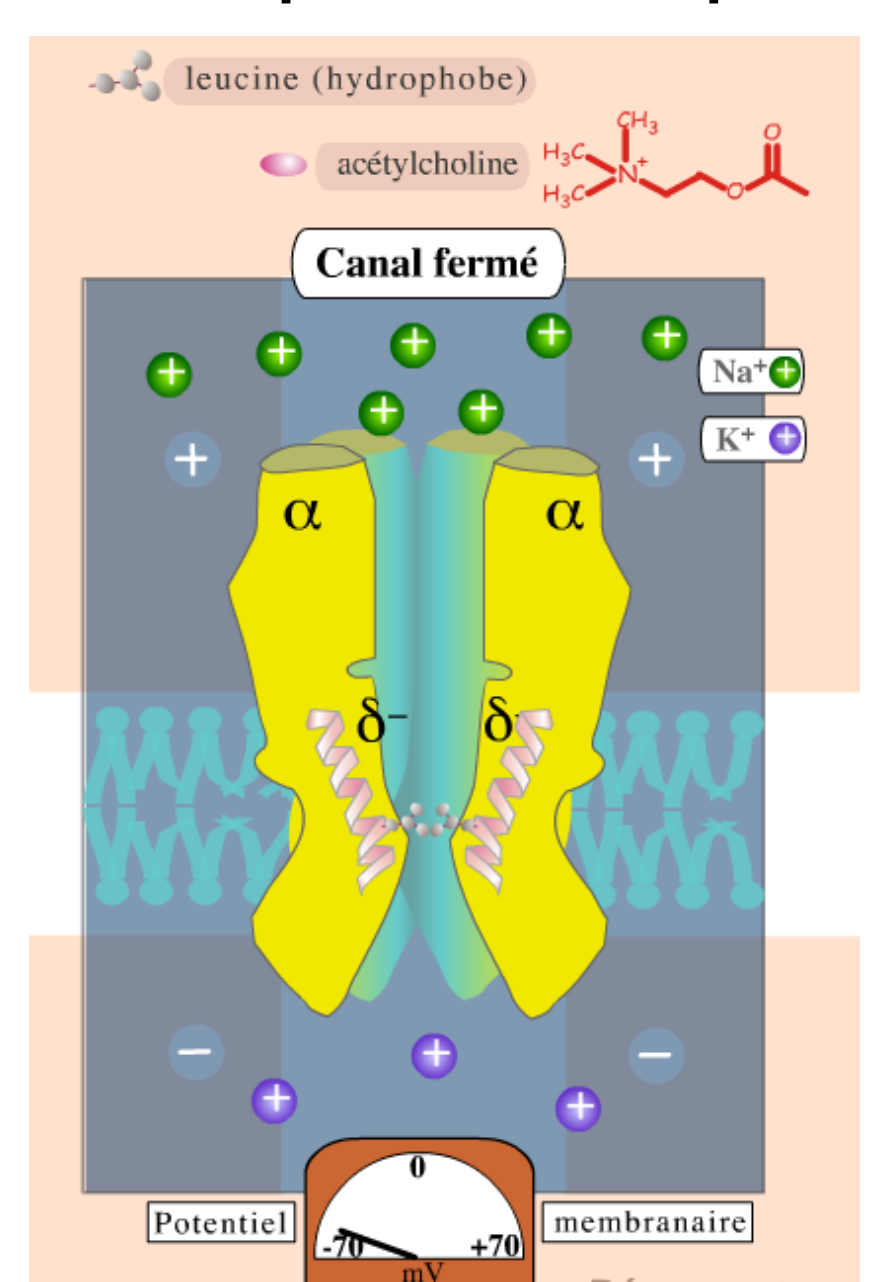


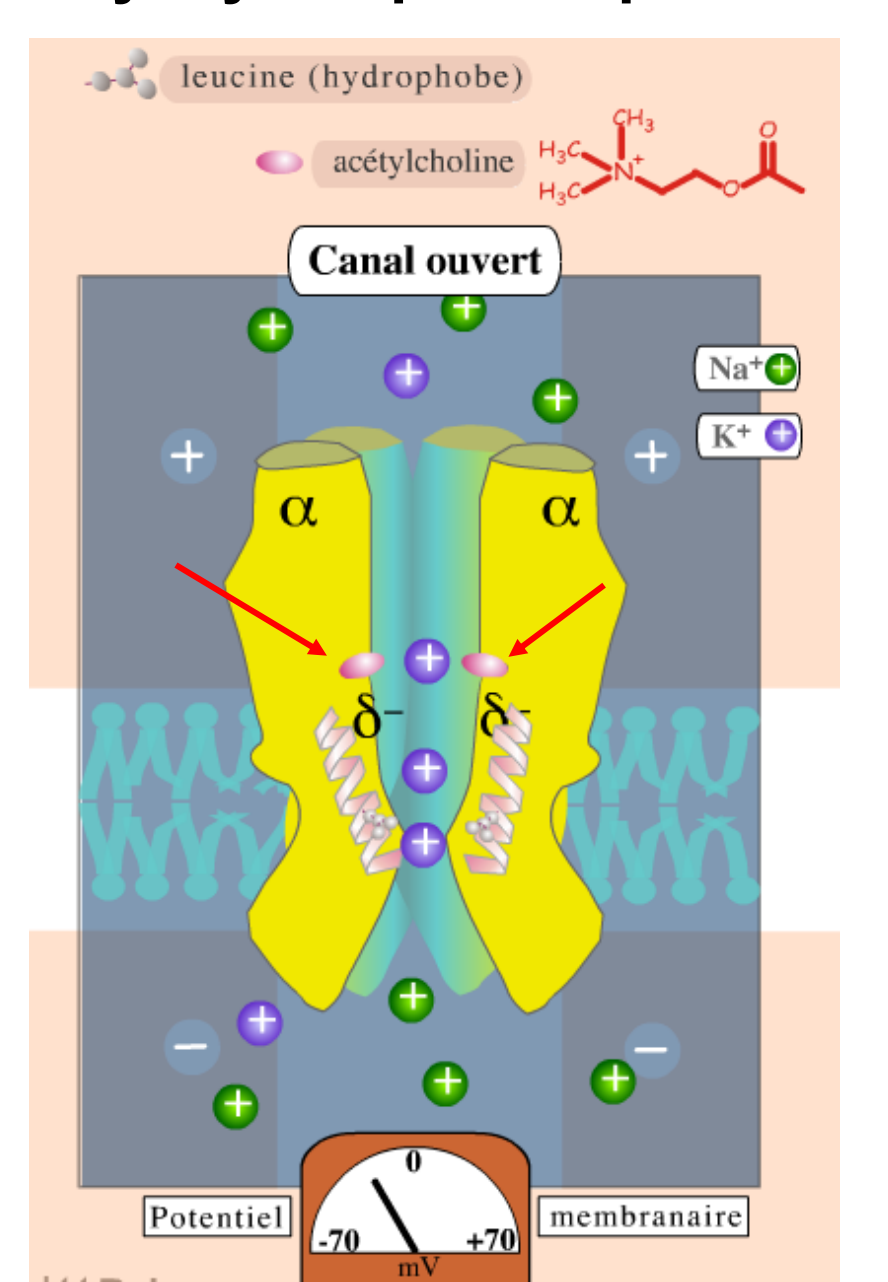
## Document 15. Modèle structural du récepteur nicotinique de l'Ach.

Modèle structural vu face extracellulaire (à gauche) et de profil (à droite)

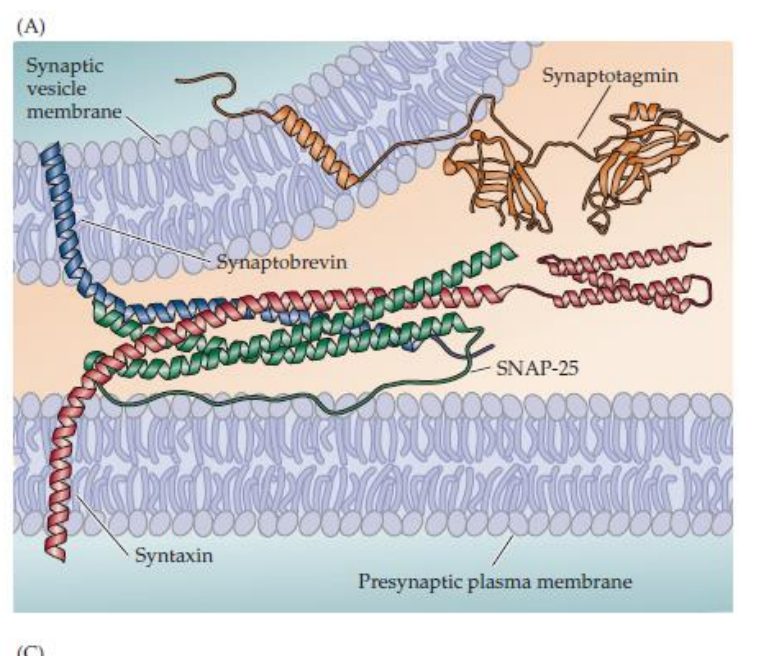


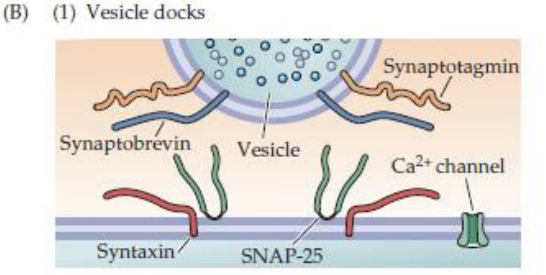
# Document 16. Mode d'action de l'acétylcholine sur le récepteur nicotinique d'un myocyte squelettique.



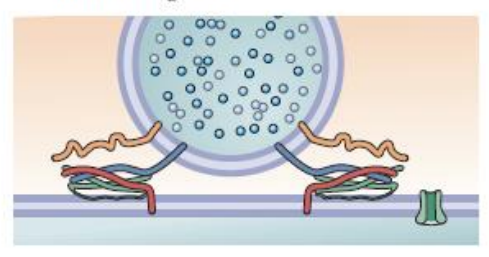


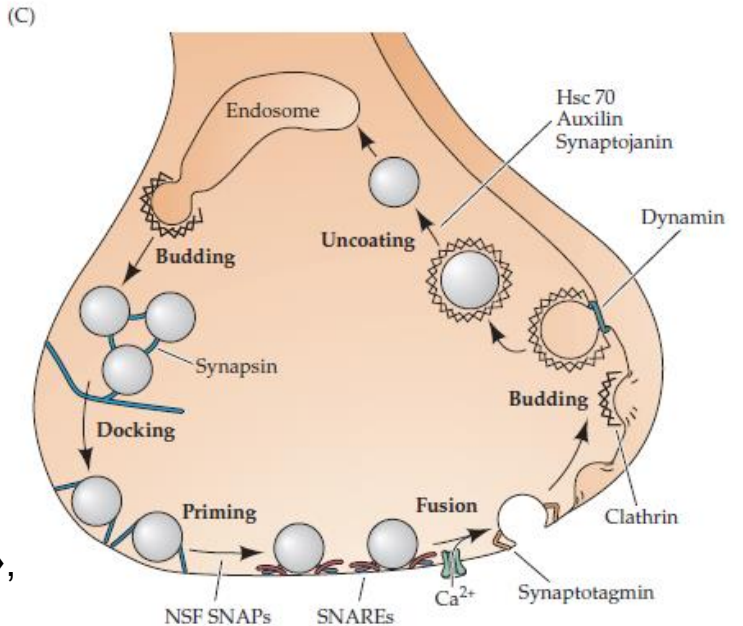
# Mécanisme moléculaire de libération de neurotransmetteurs par exocytose

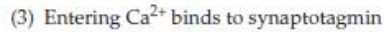


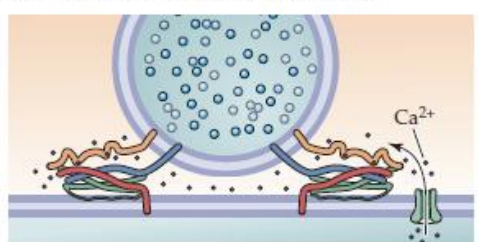


(2) SNARE complexes form to pull membranes together

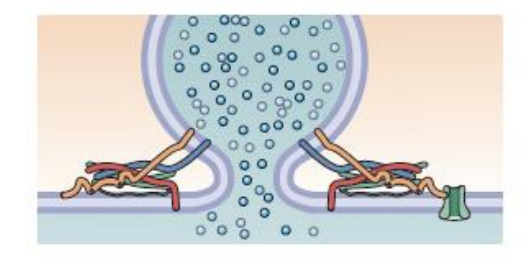




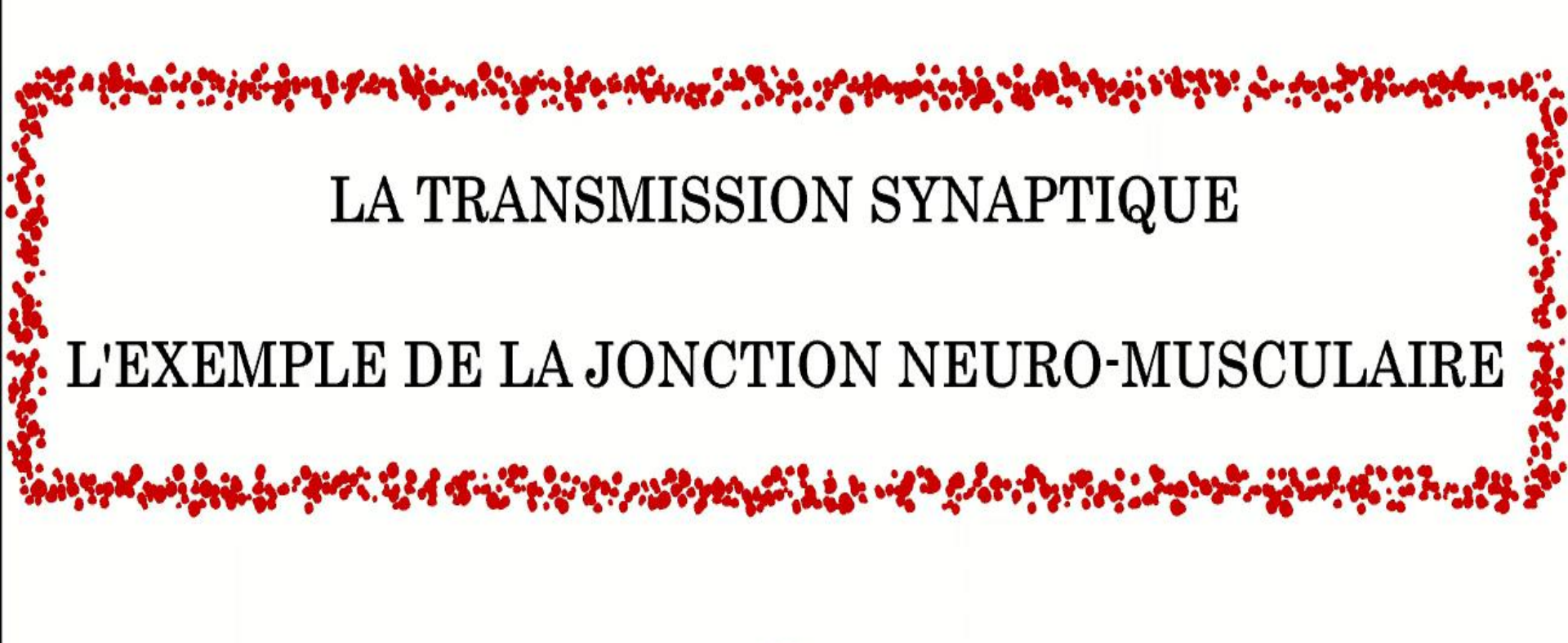




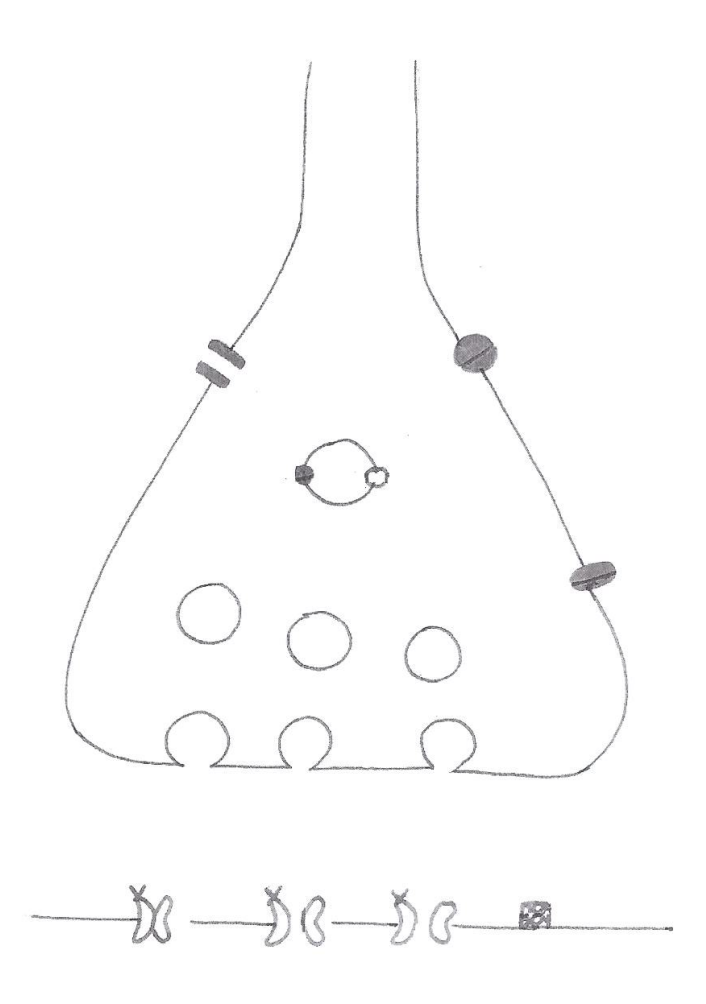
(4) Ca<sup>2+</sup>-bound synaptotagmin catalyzes membrane fusion



Purves, « Neurosciences », De Boeck



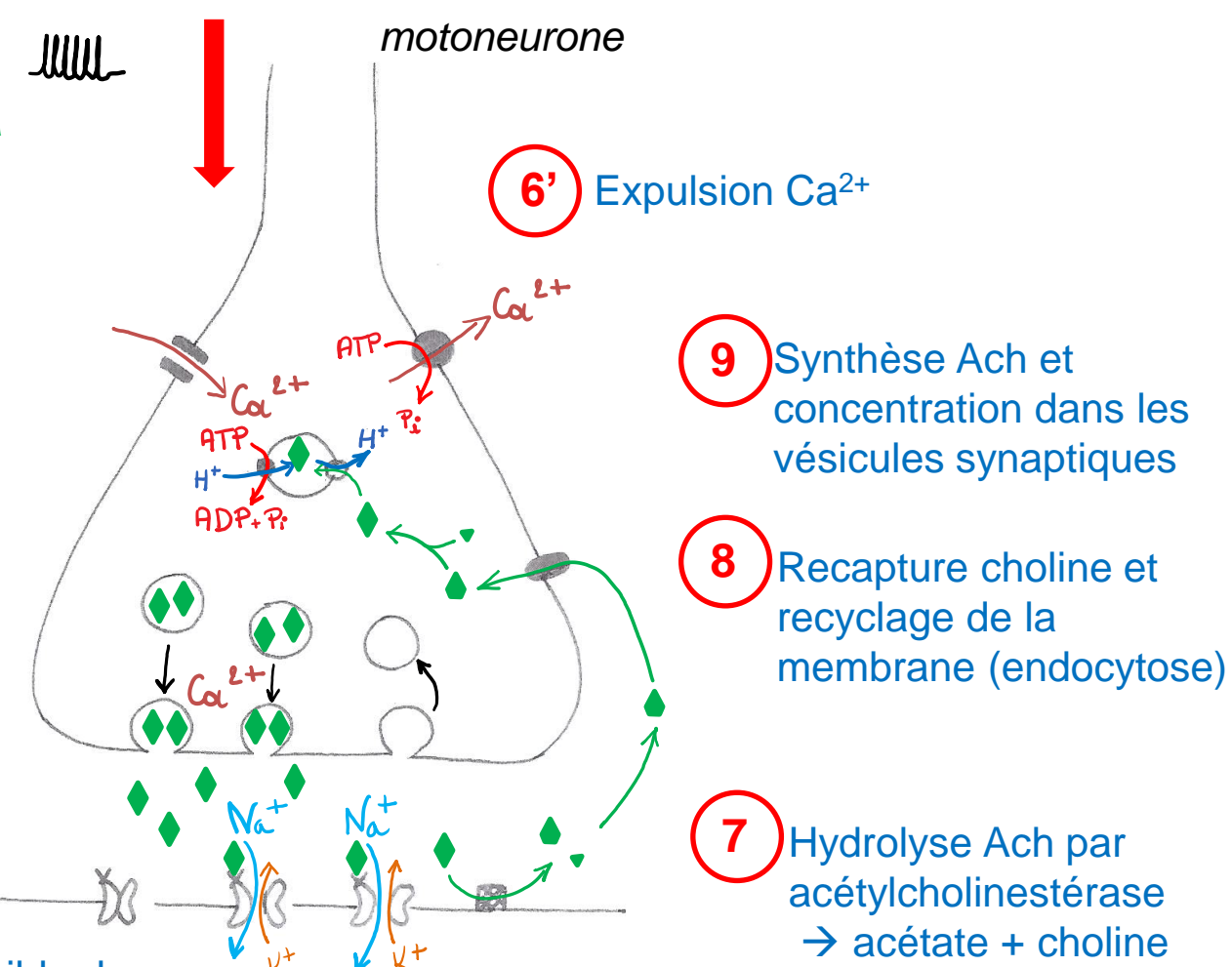
## **Document 17.** Les étapes de la transmission synaptique.



## Document 17. Les étapes de la transmission synaptique.

1 Arrivée d'un train de PA Codage en fréquence de PA

- Ouverture de canaux Ca<sup>2+</sup> voltage-dépendants et entrée de Ca<sup>2+</sup>
- ↑ [Ca²+] cytosolique
   → libération Ach
   par exocytose
   Codage en concentration
- Diffusion Ach dans la fente synaptique (communication paracrine)
- Fixation spécifique et réversible de Ach aux récepteurs nicotiniques de la membrane post-synaptique



- (6) Ouverture des récepteurs canaux
  - → entrée Na+ et dépolarisation localisée
  - → Courants locaux et PPSE
  - → Si PPSE suffisant : Déclenchement PA musculaire

# Mise en évidence expérimentale d'une communication hormonale : exemple chez le coq

Ablation des testicules chez un jeune mâle

Pas de développement de la crête ni des barbillons, pas de chant : c'est un chapon



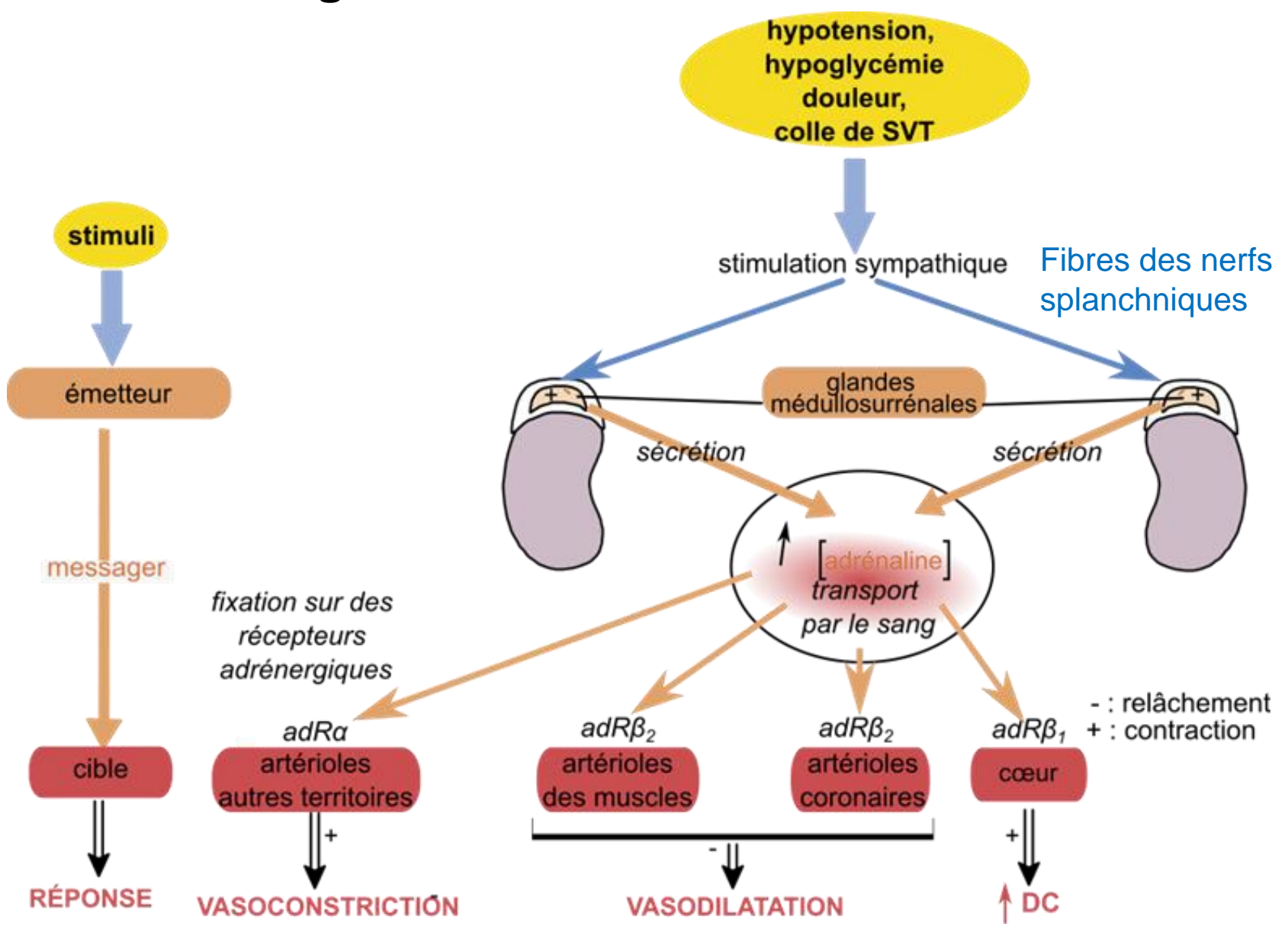
Greffe de testicules chez un chapon

Développement de la crête et des barbillons, chant

Injection d'extraits de testicules Développement de la crête et des barbillons, chant



# **Document 18.** Communication hormonale : exemple des glandes médullosurrénales.



# Document 19. Comparaison des différentes modalités de

<u>Dodament 131</u> Comparatorn aco anterentes medantes ac				
communication intercellulaire.				
	Communication nerveuse	Communication hormonale	Communication paracrine	
Nature des messagers	électrique : potentiel d'action chimique : neuro-transmetteur (Ach, Noradr)	chimique : hormone (adrénaline, peptides, stéroïdes)	chimique : facteur paracrine (protéines, NO)	
Codage du message	en fréquence de PA en concentration de neurotransmetteur libéré dans la fente synaptique	en concentration plasmatique	concentration du messager dans la lymphe interstitielle	
Voie de transfert	transmission unidirectionnelle et régénérative des PA par la mb plasmique des neurones  + diffusion du neurotransmetteur dans la fente synaptique	circulation sanguine (convection) + diffusion dans la lymphe interstitielle	diffusion dans la lymphe interstitielle	
Adressage du message	réseau de neurones + récepteur spécifique du neurotransmetteur	récepteur spécifique de l'hormone	récepteur spécifique du facteur paracrine	
Récepteurs	canal ionique chimiodépendant (ex : récepteur cholinergique	récepteur couplé à une		

récepteur couplé à une protéine G

(ex : récepteur cholinergique

potentiel d'action : 1 à 100 m/s

délai de réponse : quelques

sacondas à qualques minutas

muscarinique, récepteurs

adrénergiques)

des

messagers

chimiques

Vitesse de

transfert et

de décodage

protéine G (ex : adrénaline)

quelques minutes à plusieurs

récepteur intracellulaire

heures (selon mode

(stéroïdes)

(diverses voies de

quelques minutes à plusieurs

heures (selon le mode

transduction)

d'activation de la sécrétion et d'activation de la sécrétion et